



Astronomía de neutrinos

Alberto Carramiñana

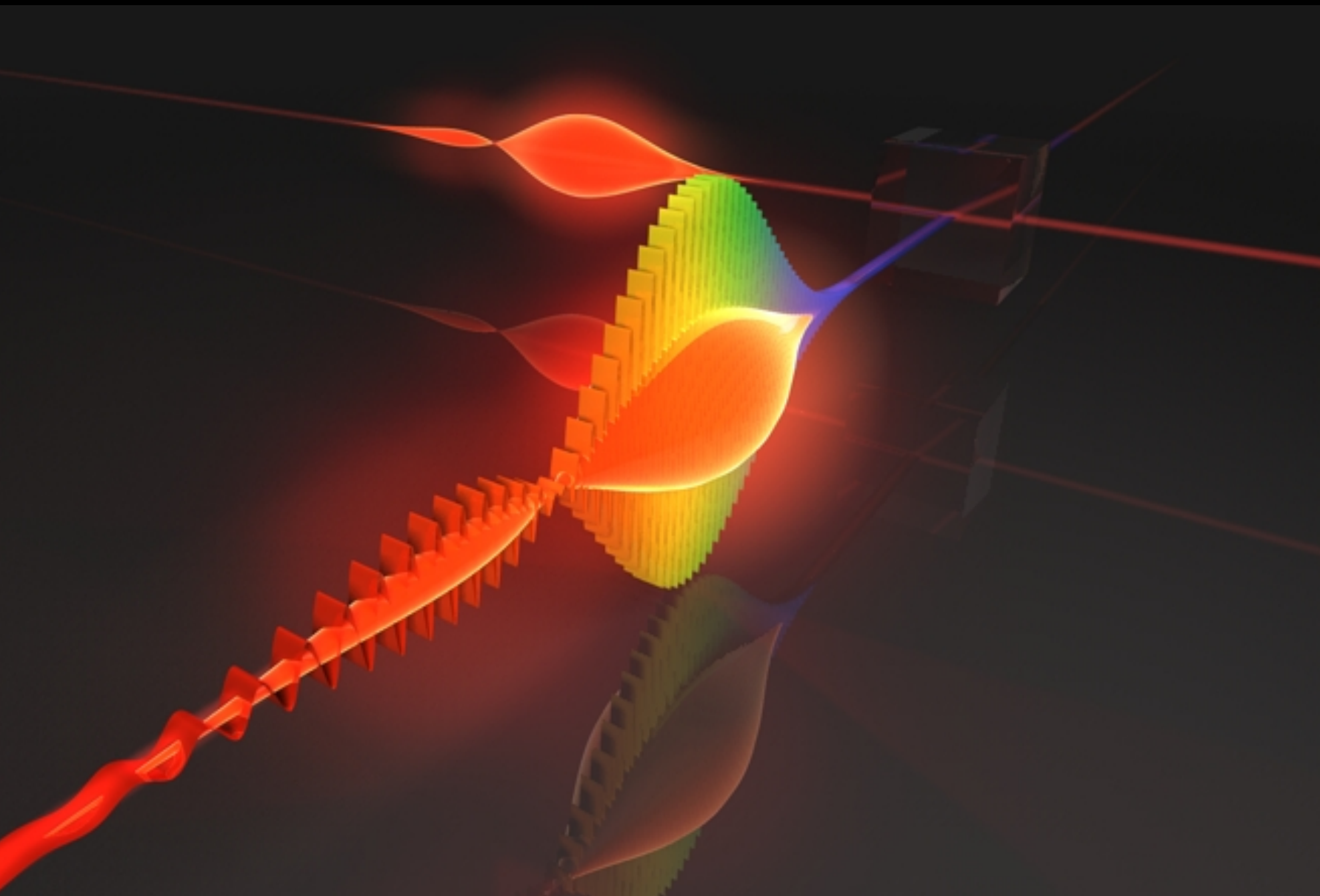
Instituto Nacional de Astrofísica, Óptica y Electrónica
Luis Enrique Erro 1, Tonantzintla, Puebla, México



CONACYT
Consejo Nacional de Ciencia y Tecnología

AAE @ INAOE - Tonantzintla
septiembre de 2022 → abril 2024

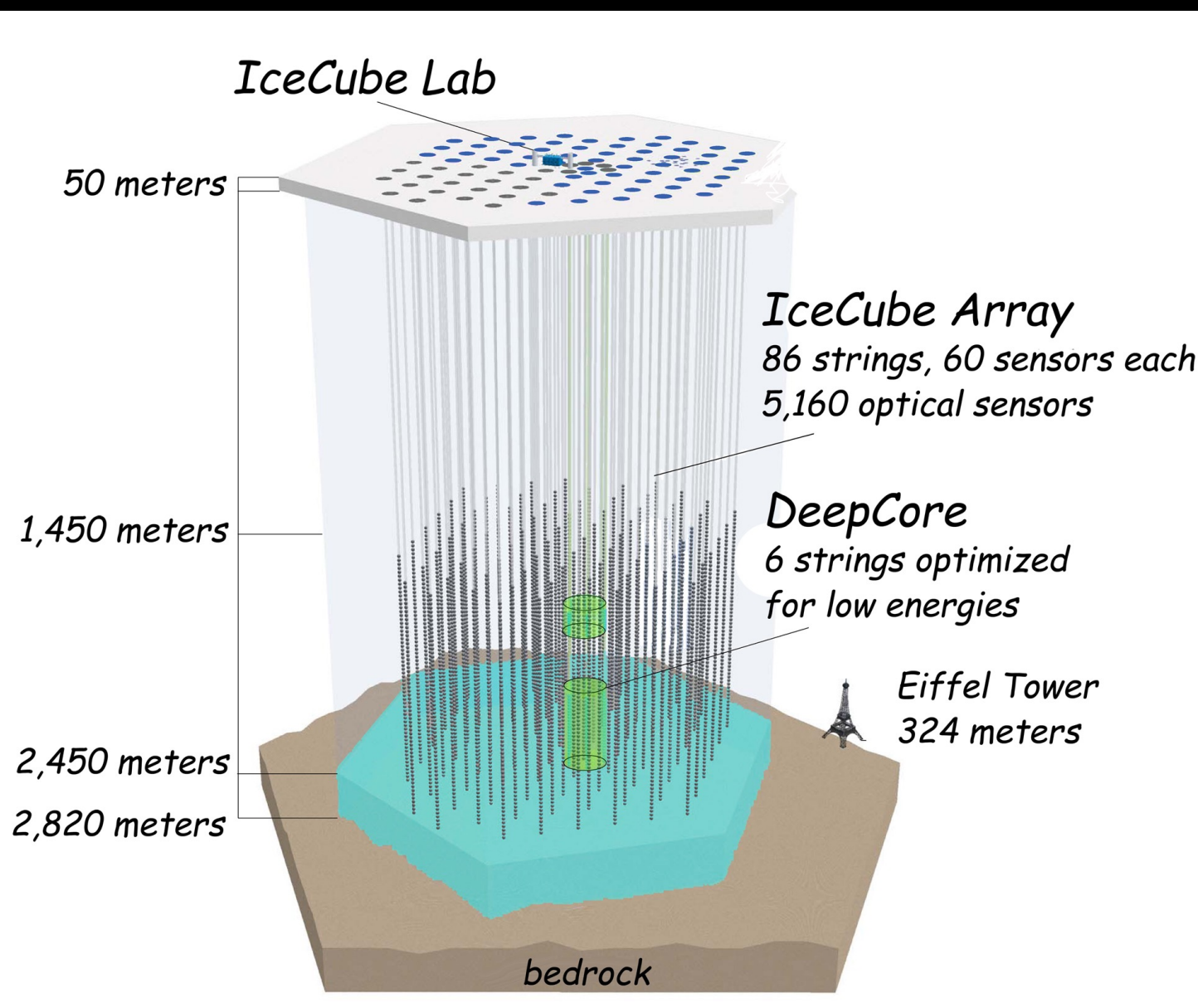
Luz y ondas electromagnéticas



Partículas cósmicas



Neutrinos

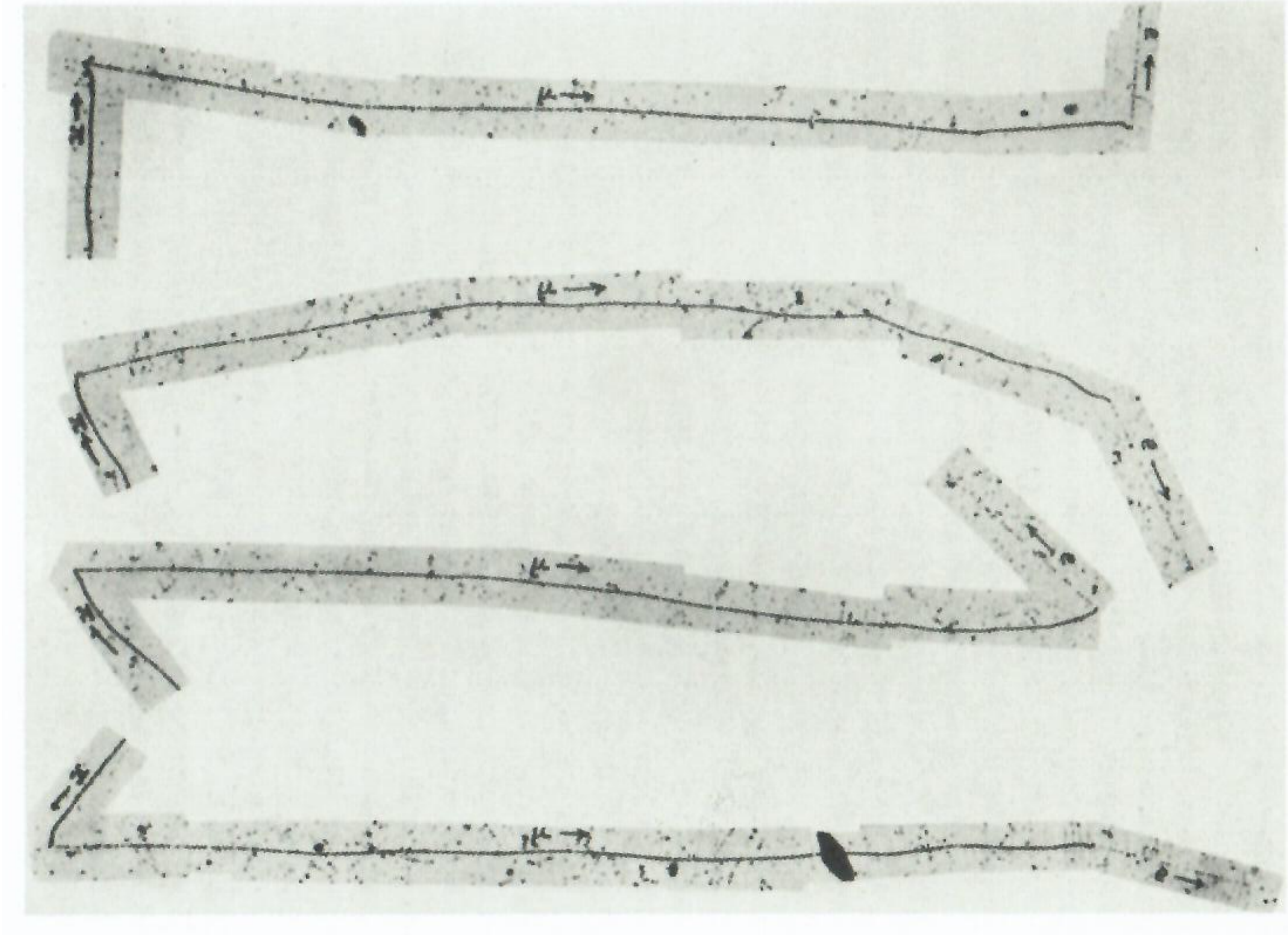


Ondas gravitacionales



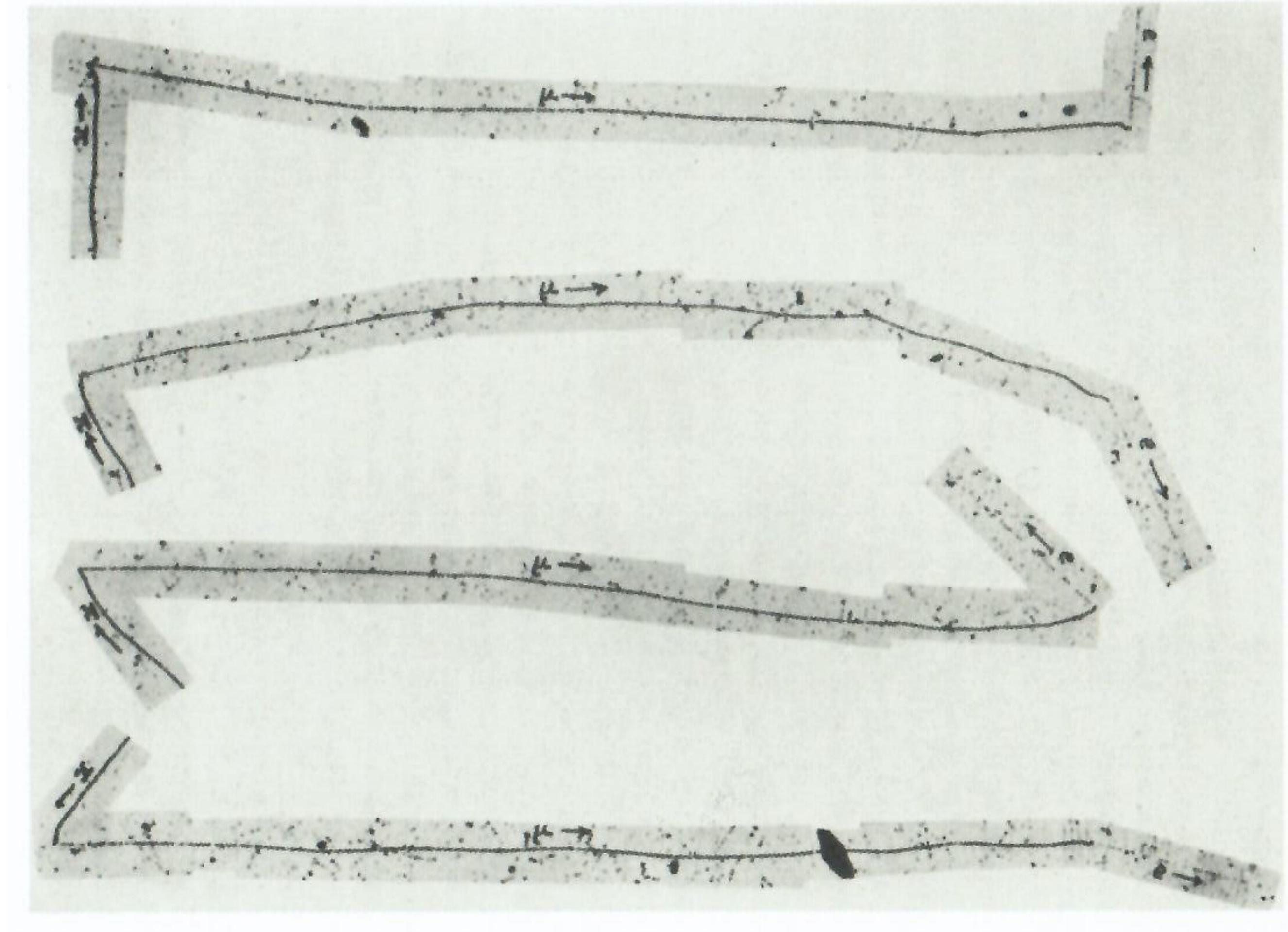
Astronomía de neutrinos

1. El decaimiento β y el neutrino
2. Neutrinos solares y oscilaciones
3. SN 1987A
4. Detectores de gran volumen
5. Astrofísica con IceCube
6. Próxima generación de detectores



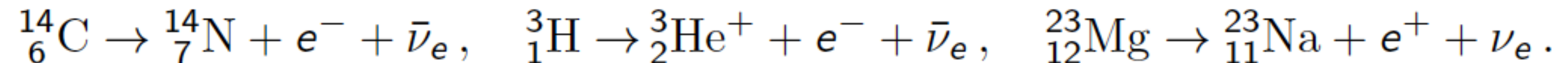
Astronomía de neutrinos

1. El decaimiento β y el neutrino
2. Neutrinos solares y oscilaciones
3. SN 1987A
4. Detectores de gran volumen
5. Astrofísica con IceCube
6. Próxima generación de detectores



El decaimiento β

- ▶ El decaimiento β es una de las tres formas de radioactividad descubiertas a finales del siglo XIX.
- ▶ Consiste en la emisión de un electrón o positrón por un núcleo, conservando la masa atómica A pero modificando $Z \rightarrow Z \pm 1$.
- ▶ Se observa en isótopos inestables. Por ejemplo:



- ▶ El decaimiento β aparece como la emisión de un electrón o positrón, en aparente contradicción con la conservación de energía y momento, dado el espectro continuo para la energía del electrón.

El decaimiento del neutrón

- El decaimiento espontáneo del neutrón, descrito originalmente como $n \rightarrow p^+ + e^-$, requiere por conservación de energía y momento,

$$\begin{pmatrix} m_N \\ 0 \end{pmatrix} = \begin{pmatrix} \gamma_p m_p + \gamma_e m_e \\ \gamma_p \vec{\beta}_p m_p + \gamma_e \vec{\beta}_e m_e \end{pmatrix},$$

lo que implica, para $m_N = 939.566 \text{ MeV}$, $m_p = 938.272 \text{ MeV}$, $m_e = 0.511 \text{ MeV}$,

$$\gamma_e m_e = \frac{m_N^2 - m_p^2 + m_e^2}{2m_N} \simeq 1.29 \text{ MeV}.$$

- El espectro de energías observado es un continuo que *termina* en 1.29 MeV.

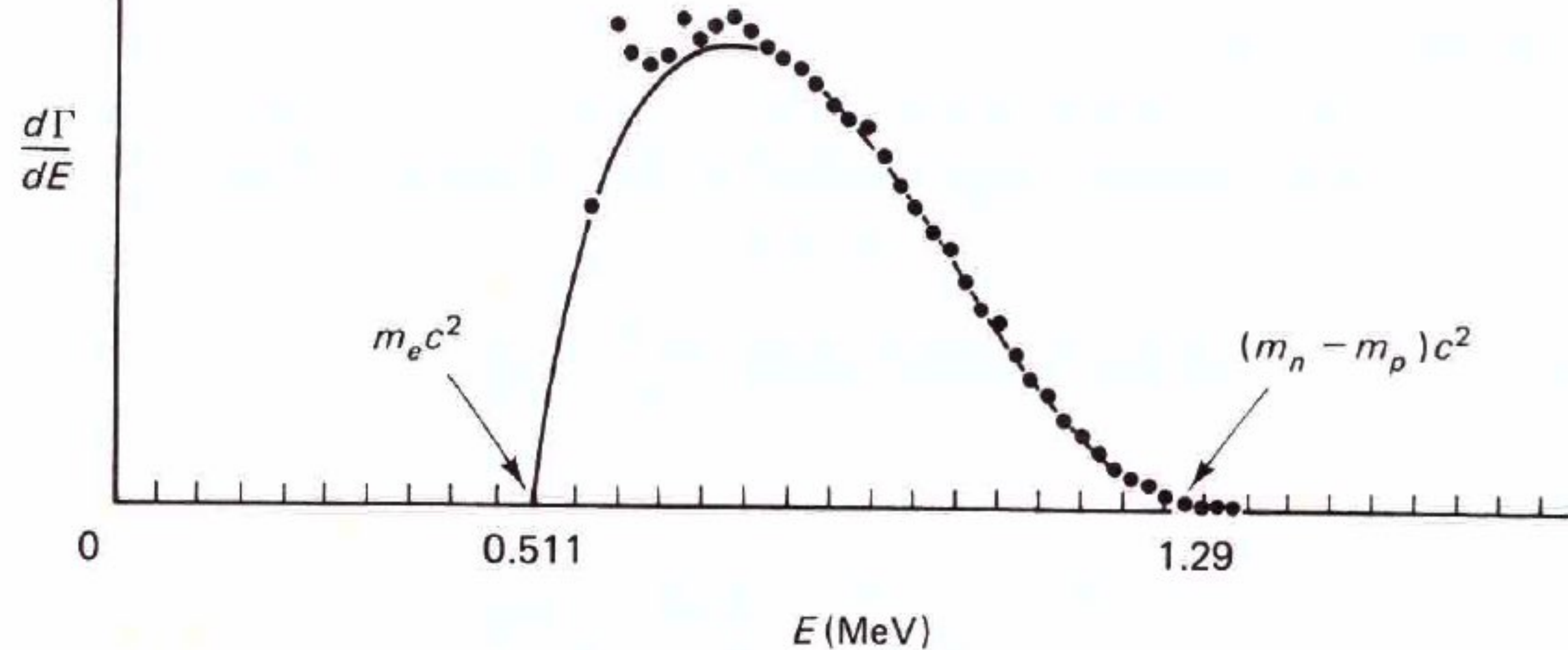


Figure 10.2 Electron energy distribution from neutron beta decay. (Solid line is the theoretical curve; dots are experimental data.) [Source: C. J. Christensen et al., *Phys. Rev. D* **5**, 1628 (1972), Figure 4.]

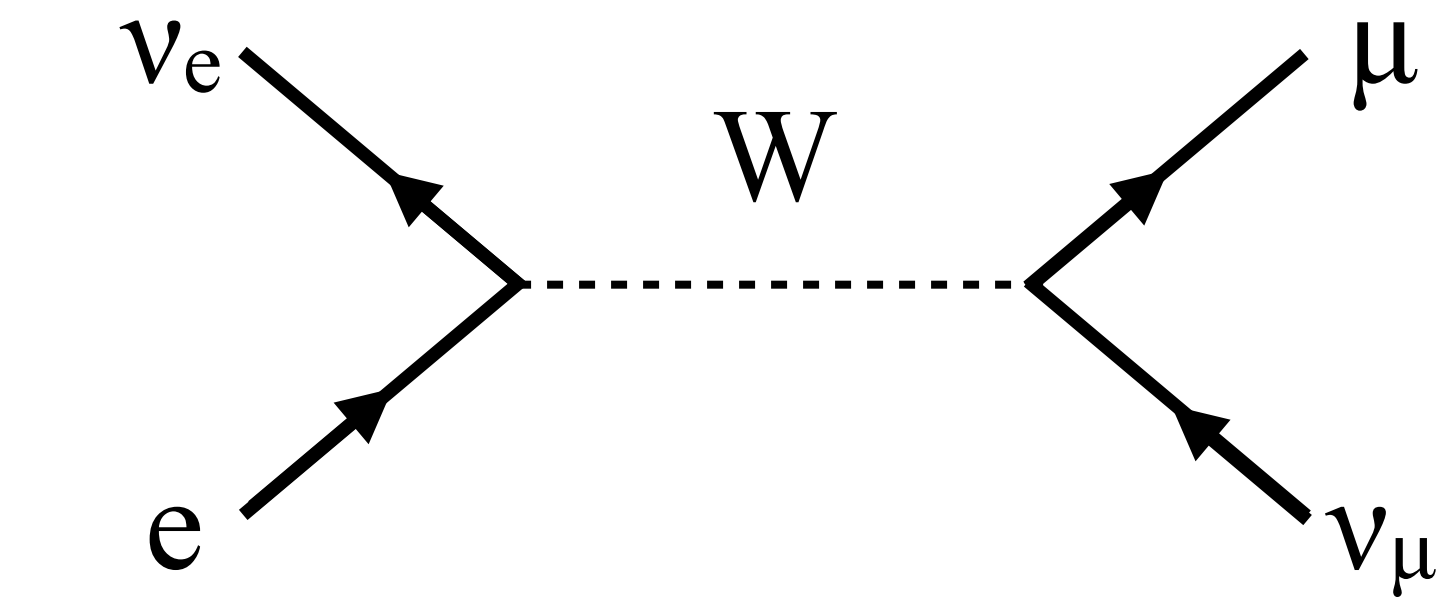
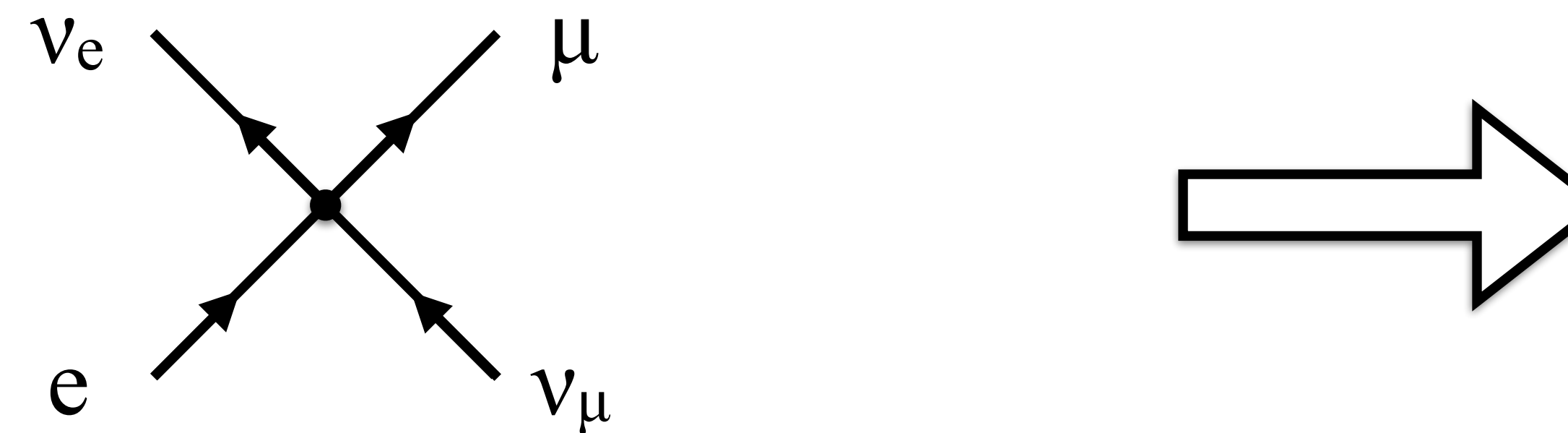
El neutrino

- ▶ Para mantener el principio de conservación de energía, Pauli postula la existencia del neutrino ν , partícula sin carga y sin masa,

$$n \rightarrow p^+ + e^- + \bar{\nu}.$$

- ▶ La primera teoría de la interacción débil fue presentada por Fermi (1934).
- ▶ Majorana (1937) sugiere que el neutrino y el antineutrino podrían ser la misma partícula \Rightarrow si además tiene masa, debe ser posible el decaimiento β doble,

$$(Z, A) \rightarrow (Z + 2, A) + 2e^- + 2\bar{\nu}_e.$$



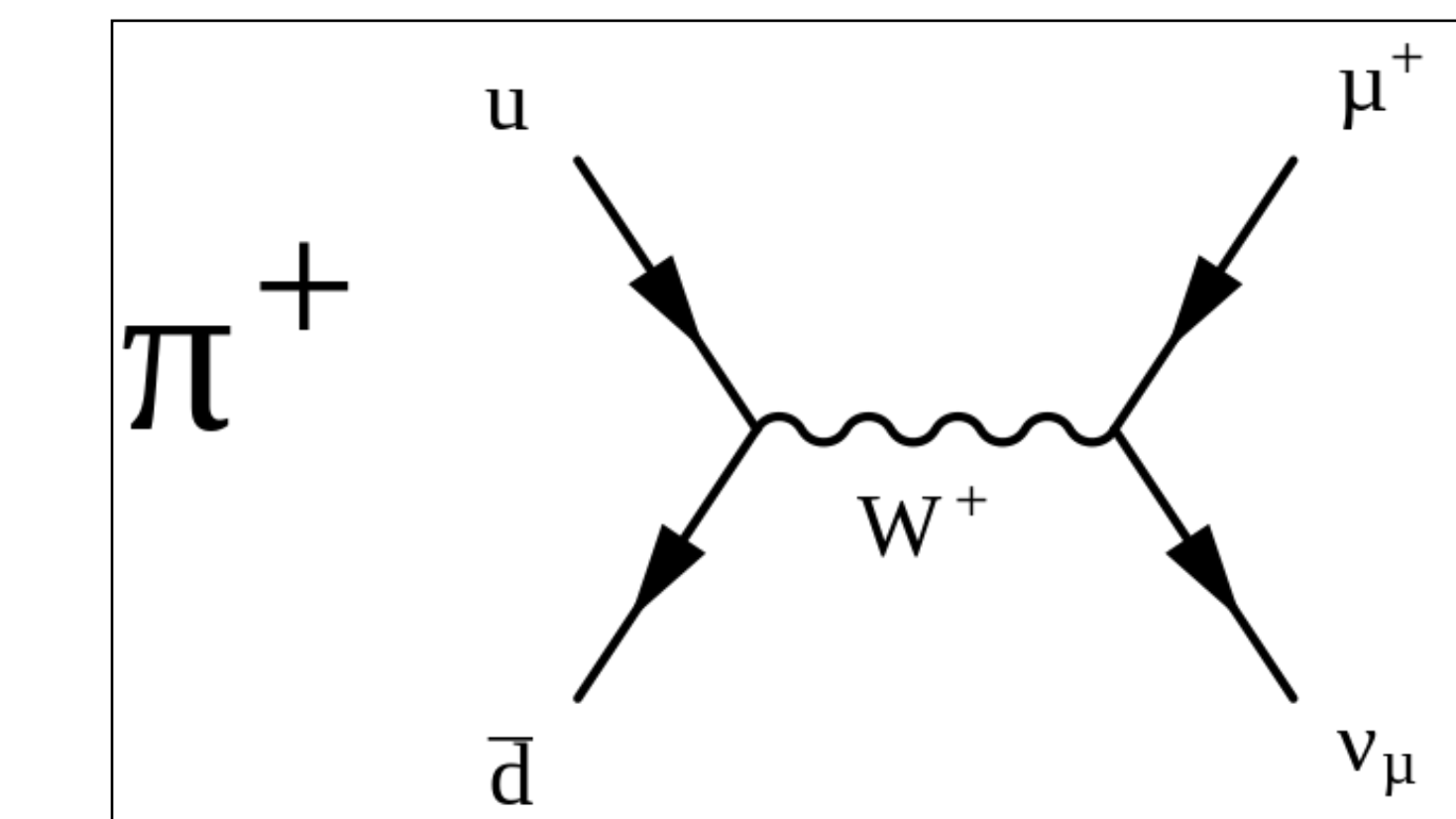
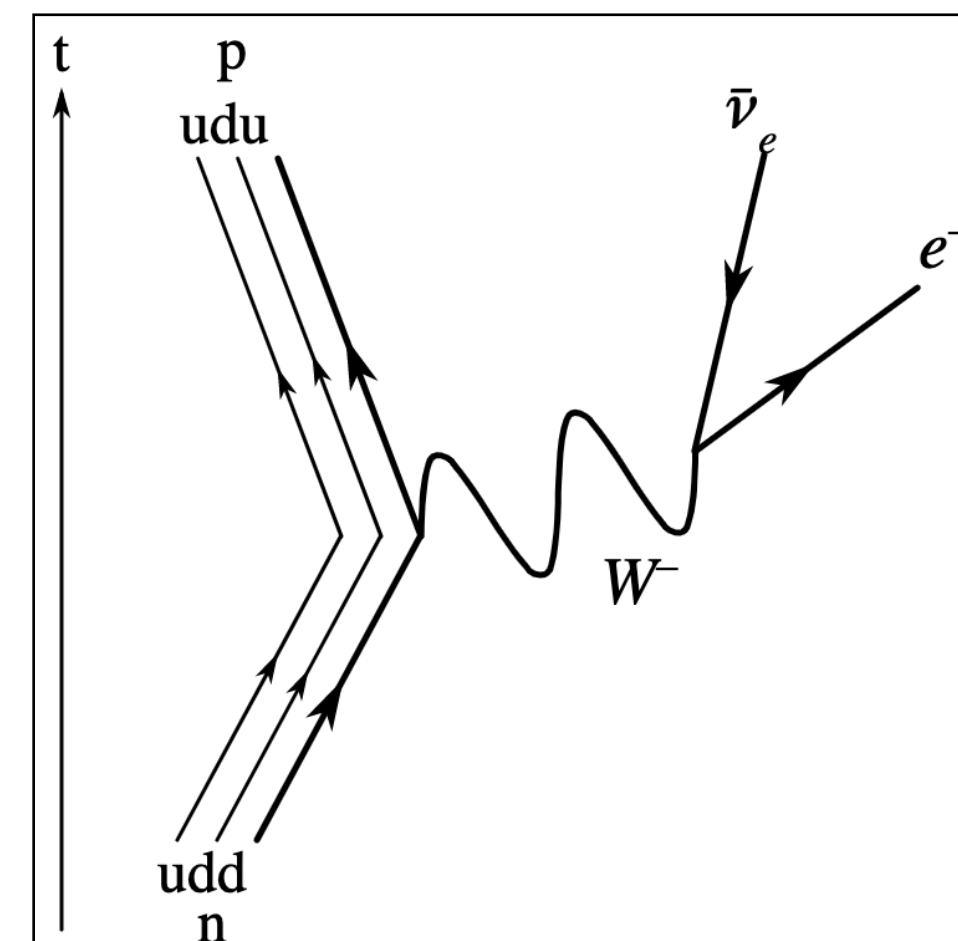
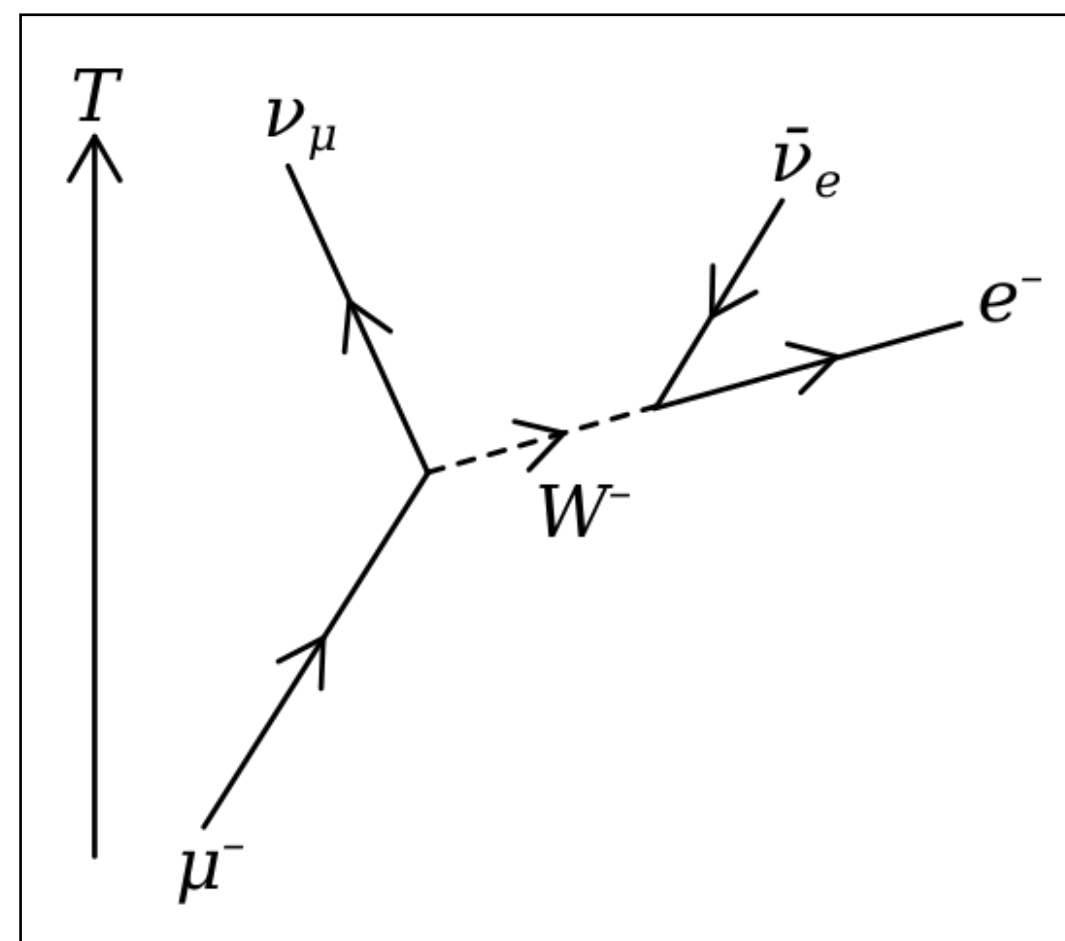
El decaimiento β

- ▶ Se observa tanto en leptones,

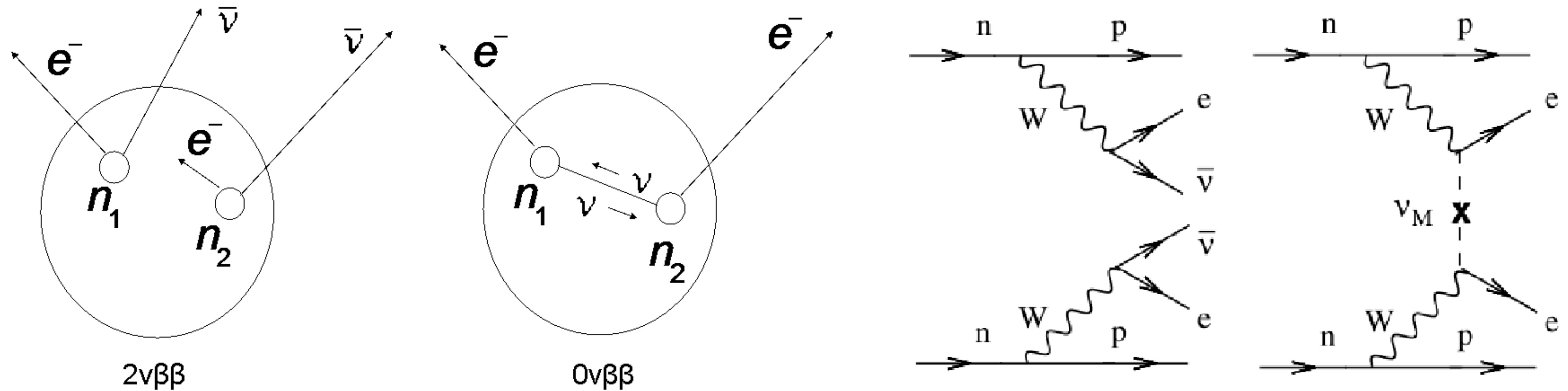
$$\mu^- \rightarrow e^- + \bar{\nu}_e + \nu_\mu,$$

como en hadrones, tanto el decaimiento del neutrón, como,

$$\pi^- \rightarrow \mu^- + \nu_\mu.$$

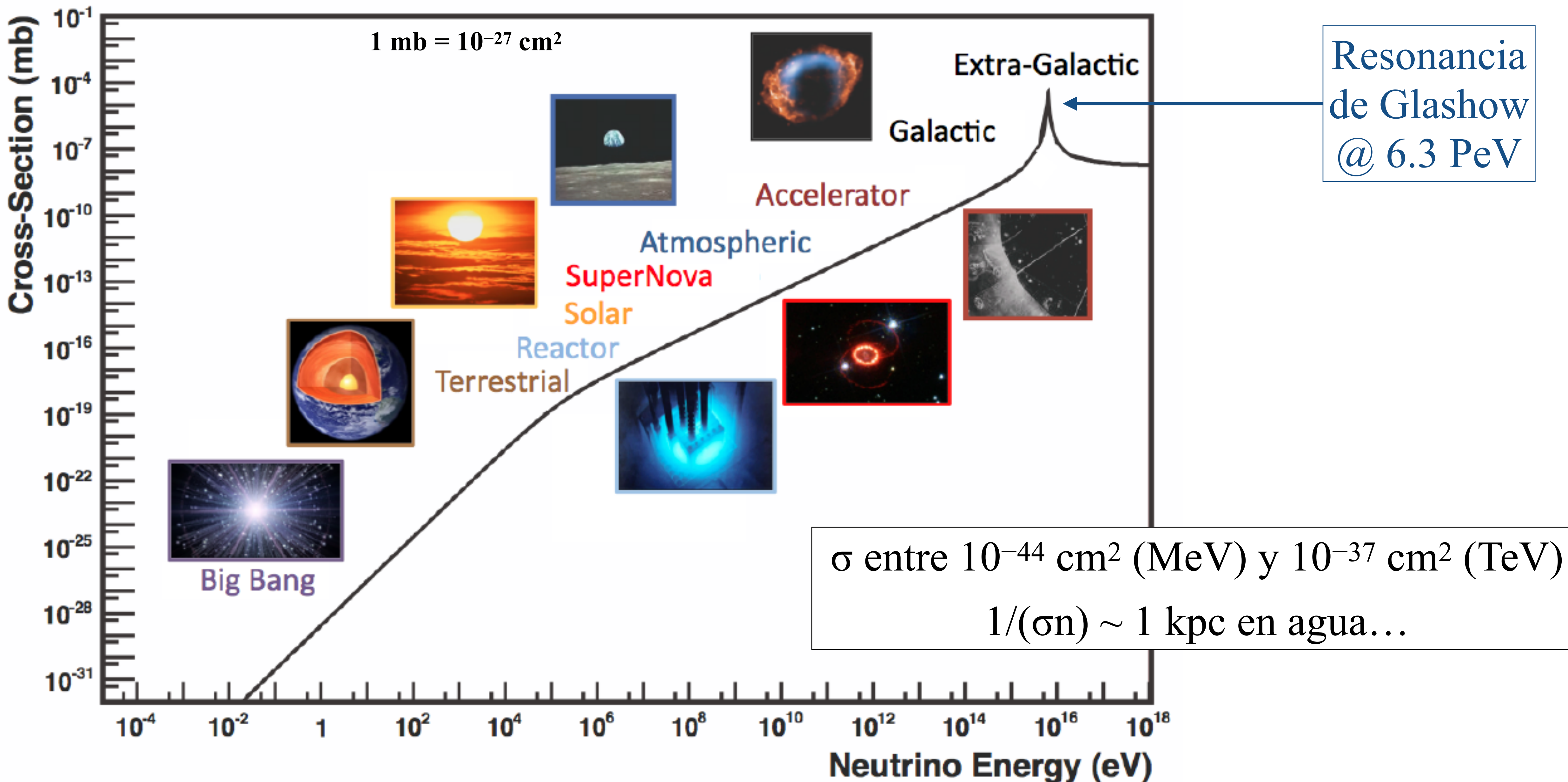


Decaimiento β doble



Detección del neutrino

- Cowan & Reines (1955) detectan por primera vez neutrinos provenientes de reactores nucleares.
- Raymond Davis instala en 1955 el primer prototipo de un detector de neutrinos solares.
 - En 1966-67 inicia la búsqueda de neutrinos solares.
 - Davis et al. (1968, PRL) primeros límites; detección hacia 1971.
- Detección de neutrinos μ con energías de GeV por Schwartz, Lederman & Steinberger (1962).



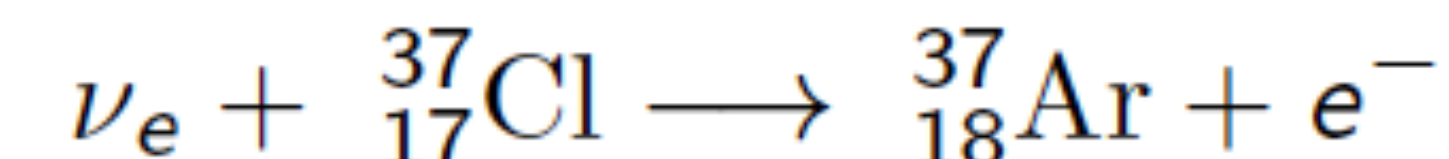
Astronomía de neutrinos

1. El decaimiento β y el neutrino
2. Neutrinos solares y oscilaciones
3. SN 1987A
4. Detectores de gran volumen
5. Astrofísica con IceCube
6. Próxima generación de detectores



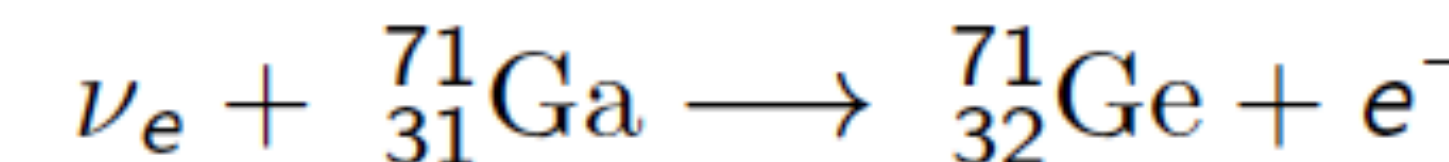
Detección de neutrinos solares

- Raymon Davis Jr. instala un tanque con 100,000 galones de C_2Cl_4 en mina de Homestake, SD (1970-1994). Reacción,



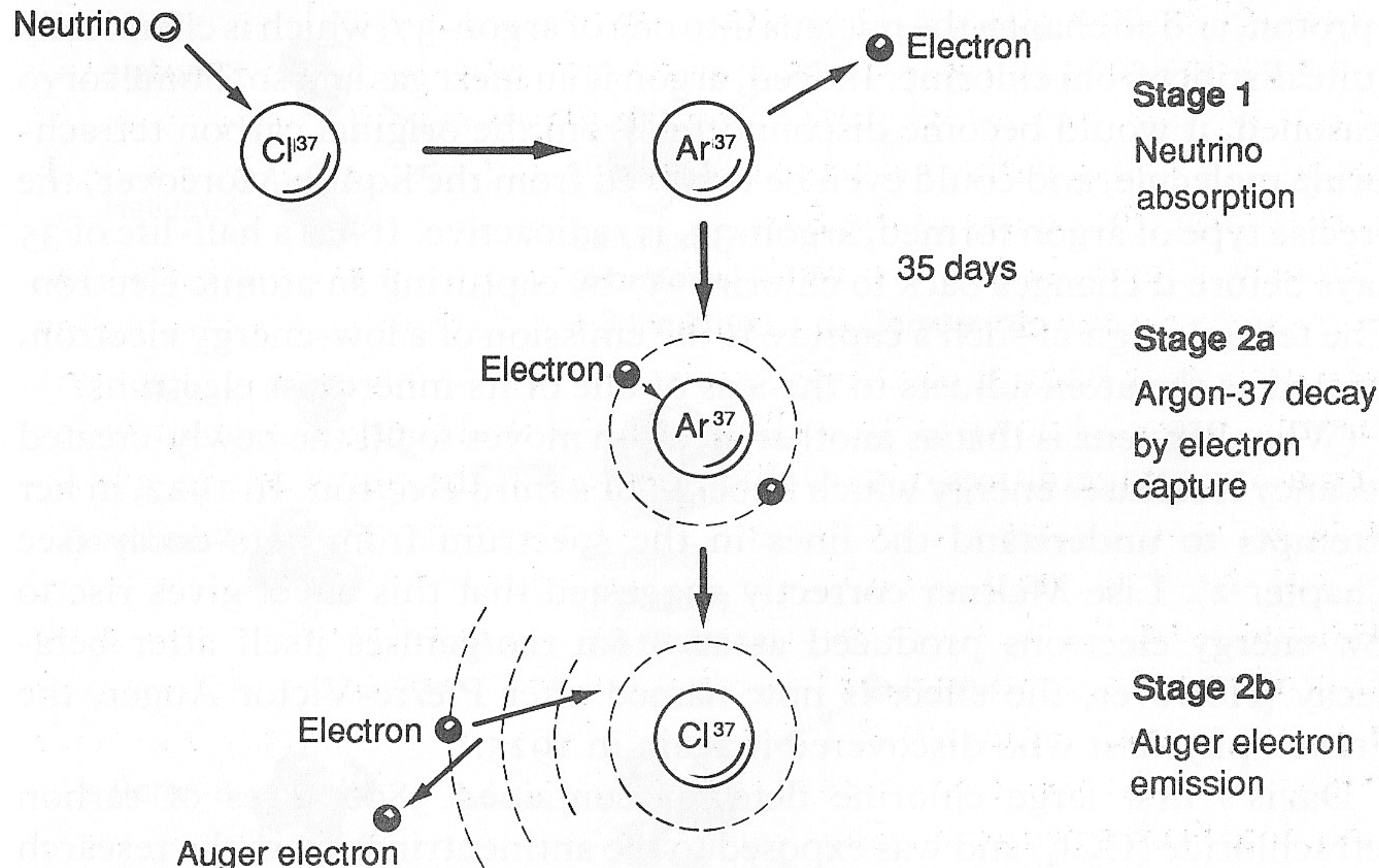
con umbral $E_\nu \geq 0.82$ MeV. Un átomo de argón producido cada dos o tres días. Modelo solar estándar predice 7.9 SNU, con $1 \text{ SNU} = 10^{-36}$ reacciones por átomo por segundo; tasa observada $= 2.23 \pm 0.26$ SNU.

- Gallex (1991-1997) y SAGE (1997-) emplean la reacción,



con umbral $E_\nu \geq 0.23$ MeV.

- Kamiokande y SK emplean emisión Cherenkov de e^- dispersados por neutrinos. Umbral $E_\nu \geq 5$ MeV.



The chlorine experiment

“Spaceship neutrino”, C. Sutton

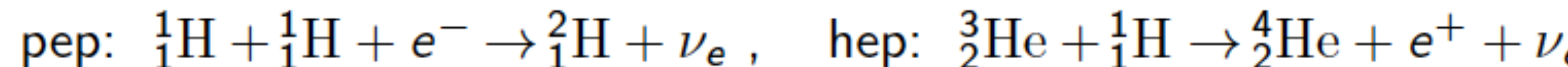
Neutrinos solares

La producción de neutrinos solares depende de las formas de quemado de hidrógeno (Bahcall 1989 y otros papers):

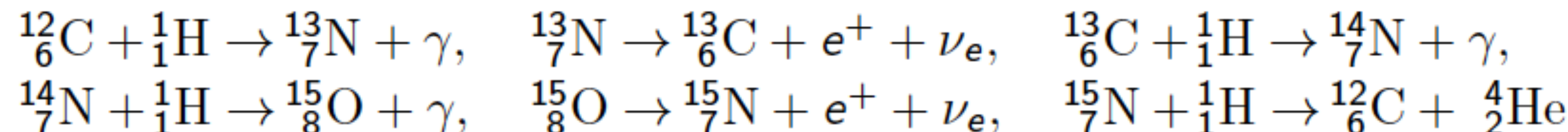
Cadena protón-protón

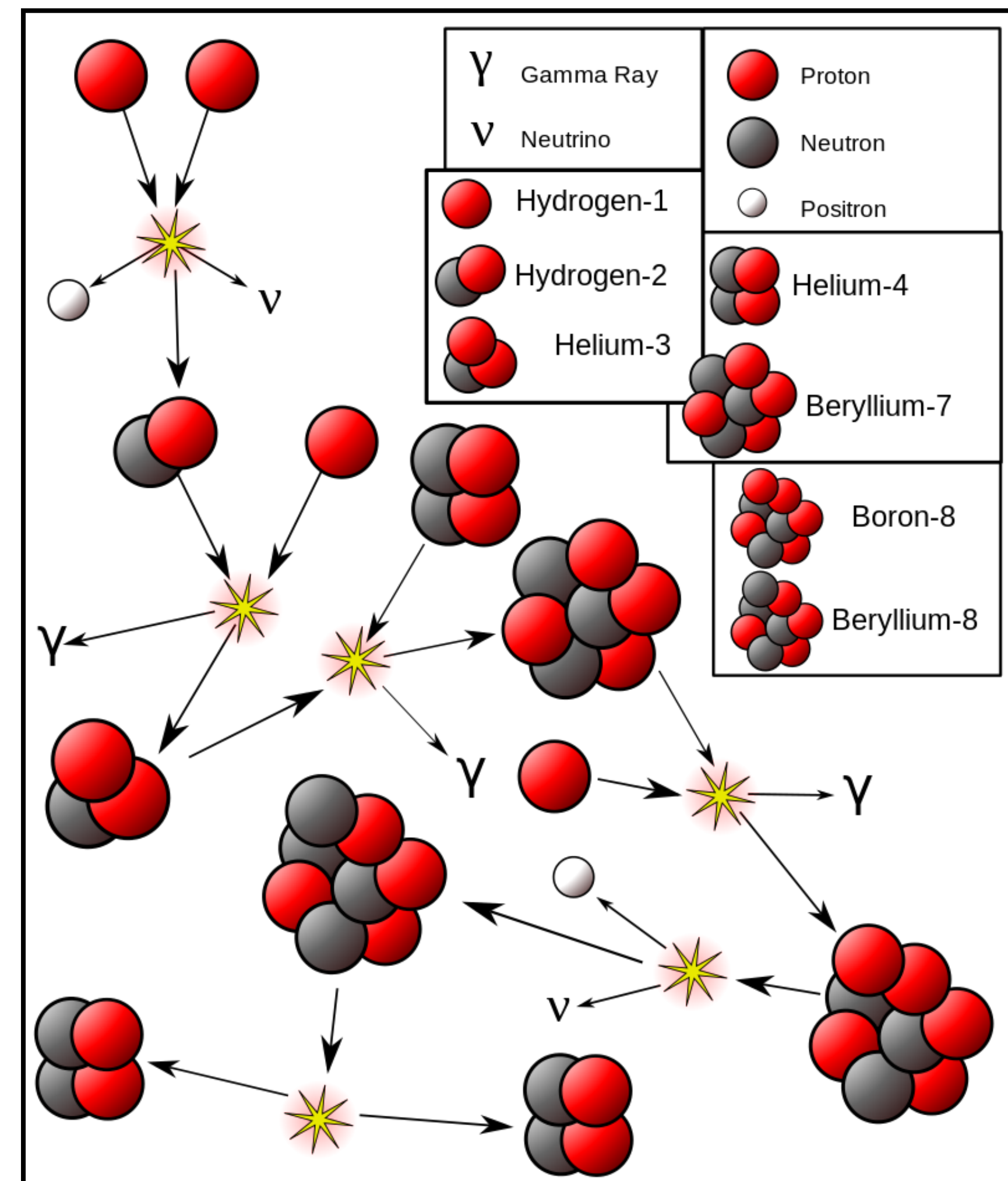
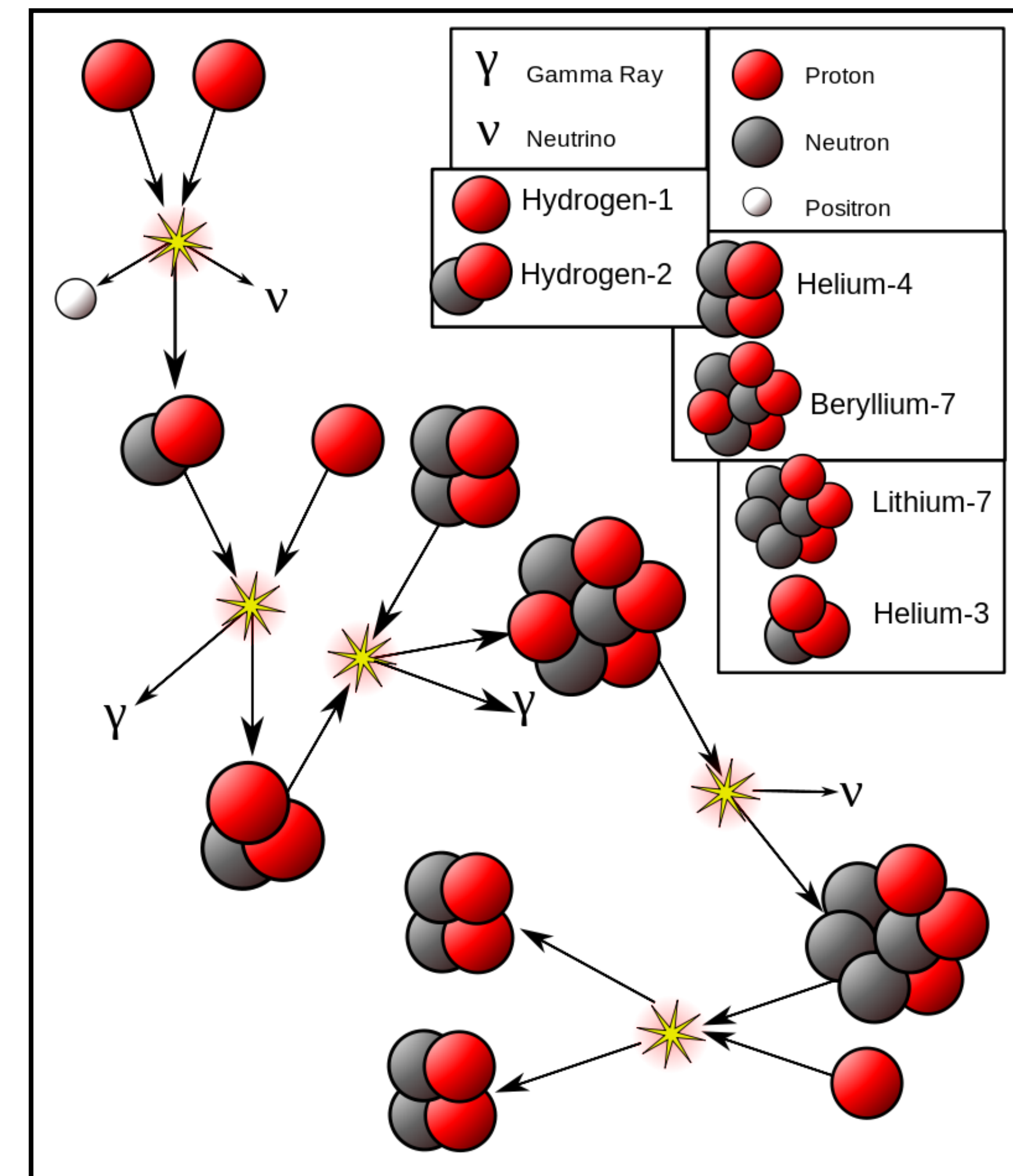
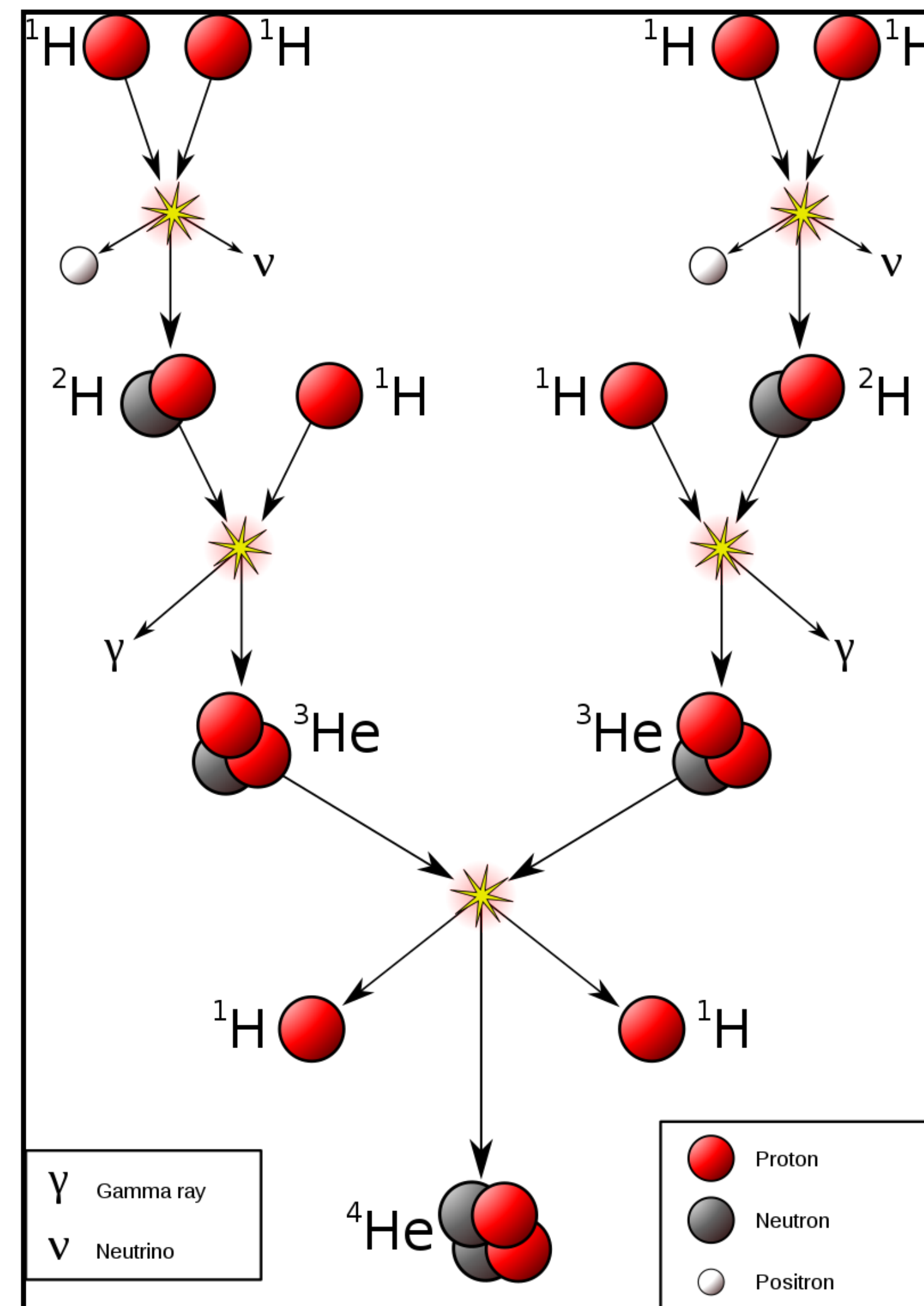
- (I) ${}_1^1\text{H} + {}_1^1\text{H} \rightarrow {}_1^2\text{H} + e^+ + \nu_e$, ${}_1^2\text{H} + {}_1^1\text{H} \rightarrow {}_2^3\text{He} + \gamma$, ${}_2^3\text{He} + {}_2^3\text{He} \rightarrow {}_2^4\text{He} + {}_1^1\text{H} + {}_1^1\text{H}$.
- (II) ${}_2^3\text{He} + {}_2^4\text{He} \rightarrow {}_4^7\text{Be} + \gamma$, ${}_4^7\text{Be} + e^- \rightarrow {}_3^7\text{Li} + \nu_e$, ${}_3^7\text{Li} + {}_1^1\text{H} \rightarrow {}_2^4\text{He} + {}_2^4\text{He}$.
- (III) ${}_4^7\text{Be} + {}_1^1\text{H} \rightarrow {}_5^8\text{B} + \gamma$, ${}_5^8\text{B} \rightarrow {}_4^8\text{Be} + e^+ + \nu_e$, ${}_4^8\text{Be} \rightarrow {}_2^4\text{He} + {}_2^4\text{He}$.

Las reacciones,



El ciclo CNO





By Sarang - Own work, Public Domain, <https://commons.wikimedia.org/w/index.php?curid=51118538>

$\{^1\text{H}, ^2\text{H}, ^3\text{He}, ^4\text{He}, ^7\text{Li}, ^7\text{Be}, ^8\text{Be}, ^8\text{B}\}$

Ciclo del carbono

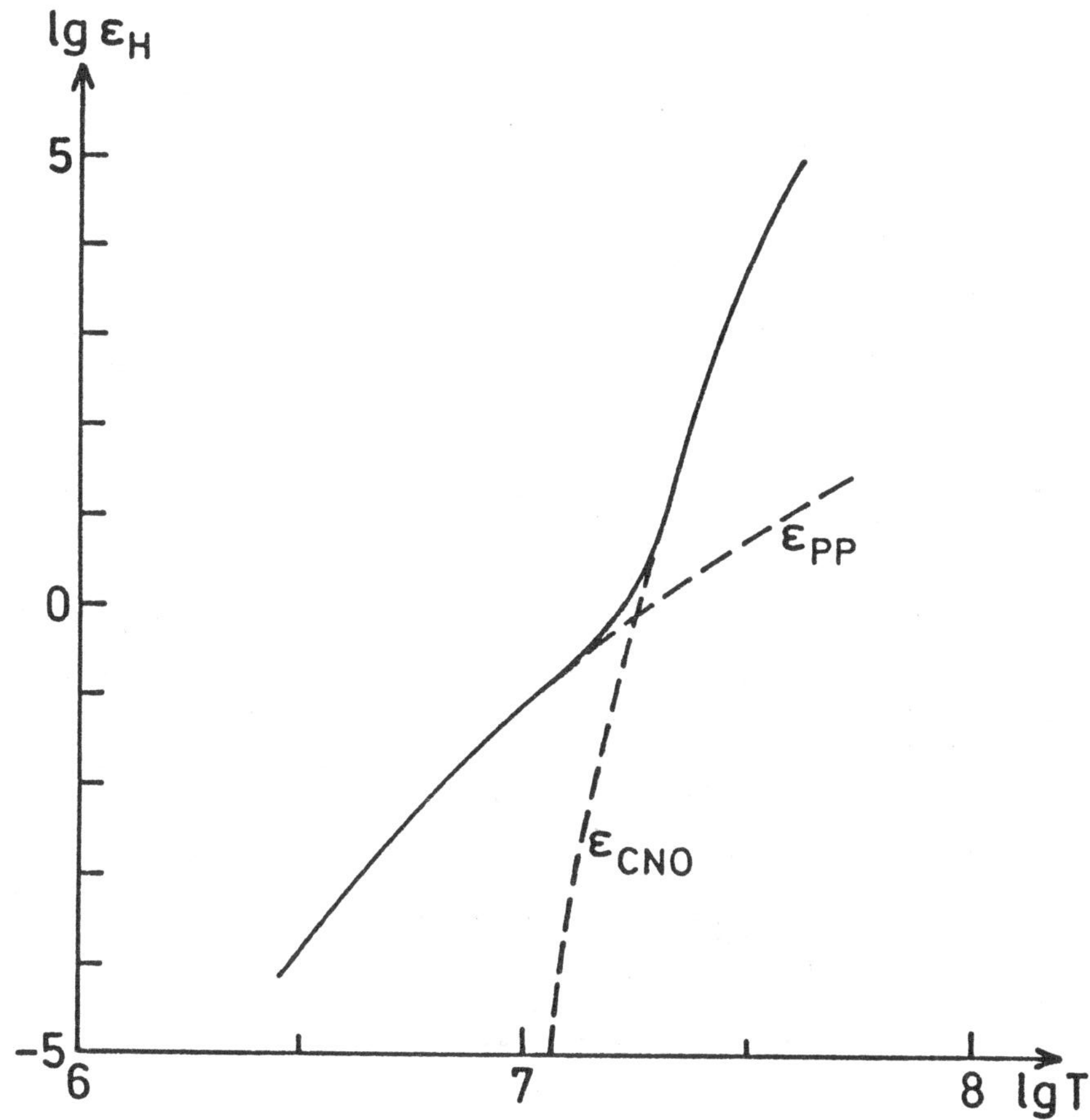
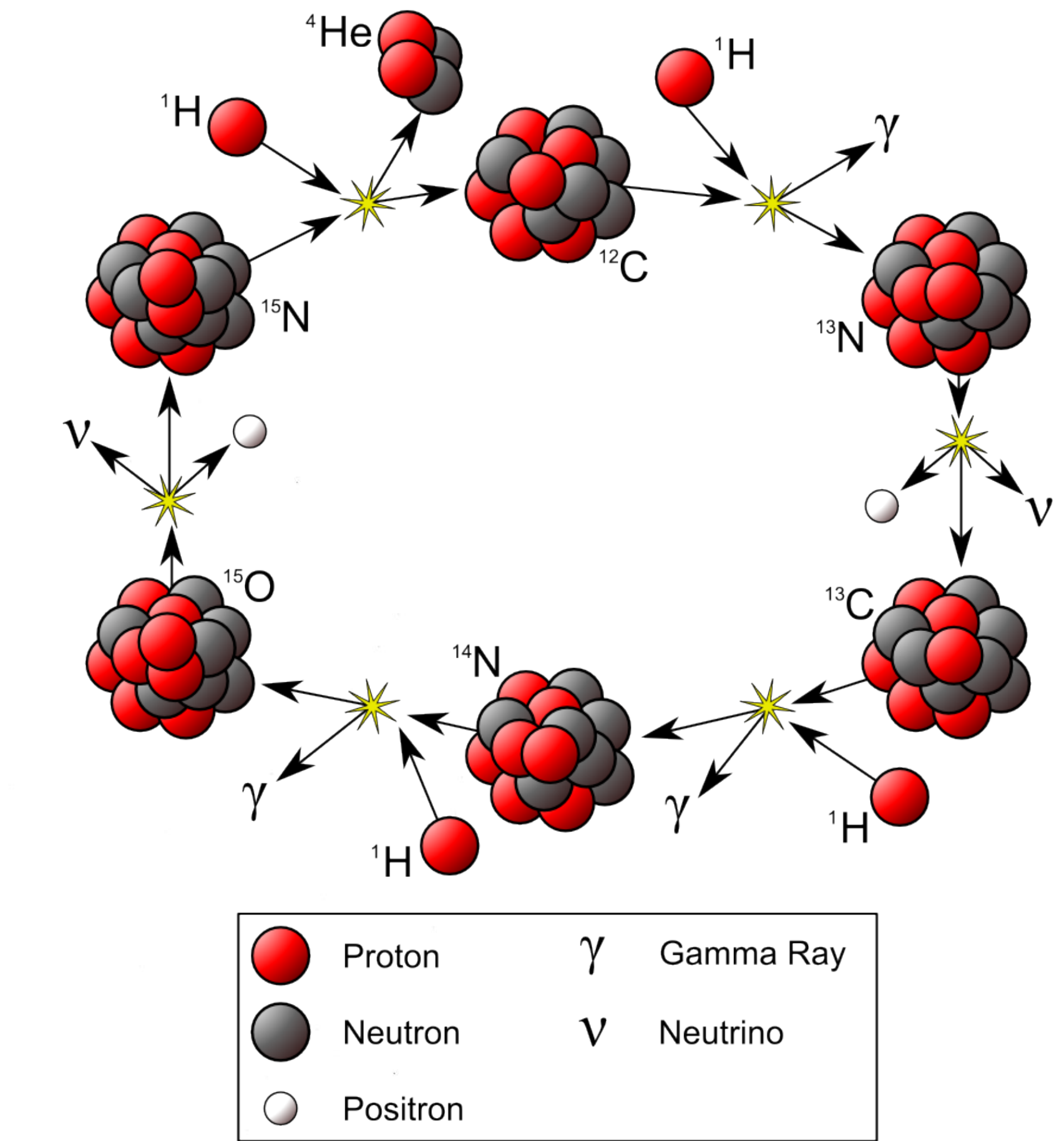


Fig. 18.8. Total energy generation rate ε_H (in $\text{erg g}^{-1} \text{s}^{-1}$) for hydrogen burning (*solid line*) over the temperature T (in K), for $\rho = 1 \text{ g cm}^{-3}$, $X_1 = 1$, $X_{\text{CNO}} = 0.01$. The contributions of the pp chain and the CNO cycle are dashed



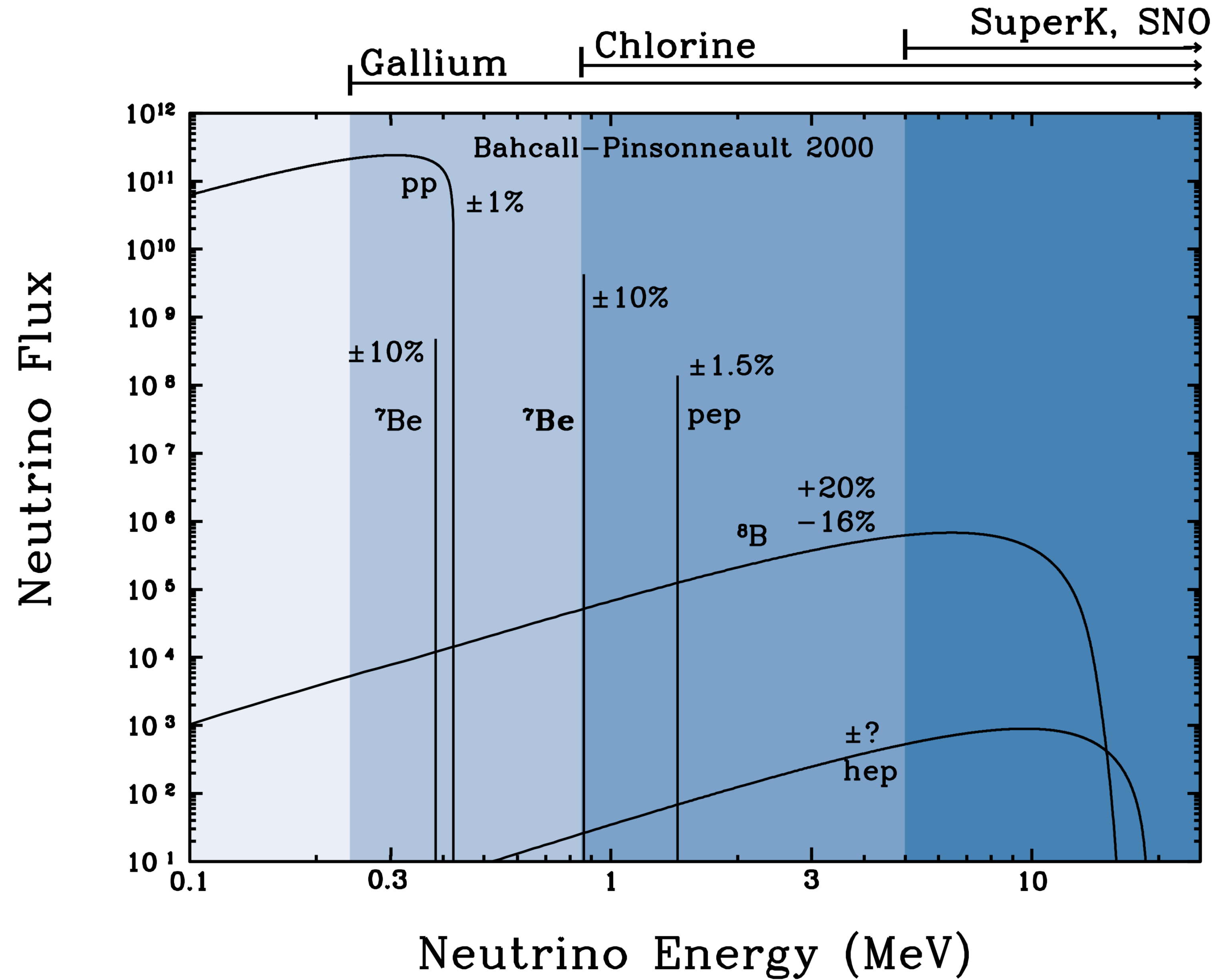


TABLE 8
SOLAR NEUTRINO RATES

Experiment	BP2000	Measured	Measured/BP2000
Chlorine	$7.6^{+1.3}_{-1.1}$	2.56 ± 0.23	0.34 ± 0.06
GALLEX+GNO	128^{+9}_{-7}	$74.1^{+6.7}_{-7.8}$	0.58 ± 0.07
SAGE.....	128^{+9}_{-7}	$75.4^{+7.8}_{-7.4}$	0.59 ± 0.07
^8B -Kamiokande	$5.05[1.00^{+0.20}_{-0.16}]$	$2.80[1.00 \pm 0.14]$	0.55 ± 0.13
^8B -Super-Kamiokande	$5.05[1.00^{+0.20}_{-0.16}]$	$2.40[1.00^{+0.04}_{-0.03}]$	0.48 ± 0.09
<i>hep</i> -Super-Kamiokande.....	9.3	$11.3(1 \pm 0.8)$	~ 1

NOTE.—Theory vs. experiment. The units are SNU (10^{-36} interactions atom $^{-1}$ s $^{-1}$) for the radiochemical experiments: chlorine, GALLEX+GNO, and SAGE. The units for the ^8B and *hep* fluxes are, respectively, 10^6 and 10^3 cm $^{-2}$ s $^{-1}$. The errors quoted for measured/BP2000 are the quadratically combined uncertainties for both BP2000 and the measured rates. For simplicity in presentation, asymmetric errors were averaged. References for the BP2000 values are given in the text and in Lande 2001, Bellotti et al. 2001, Gando et al. 2001, and Suzuki et al. 2001 for the chlorine, GALLEX+GNO, SAGE, Kamiokande, and Super-Kamiokande results.

- ¿el experimento está mal?
- ¿el modelo estándar del Sol está mal?
- ¿la física de neutrinos está mal?

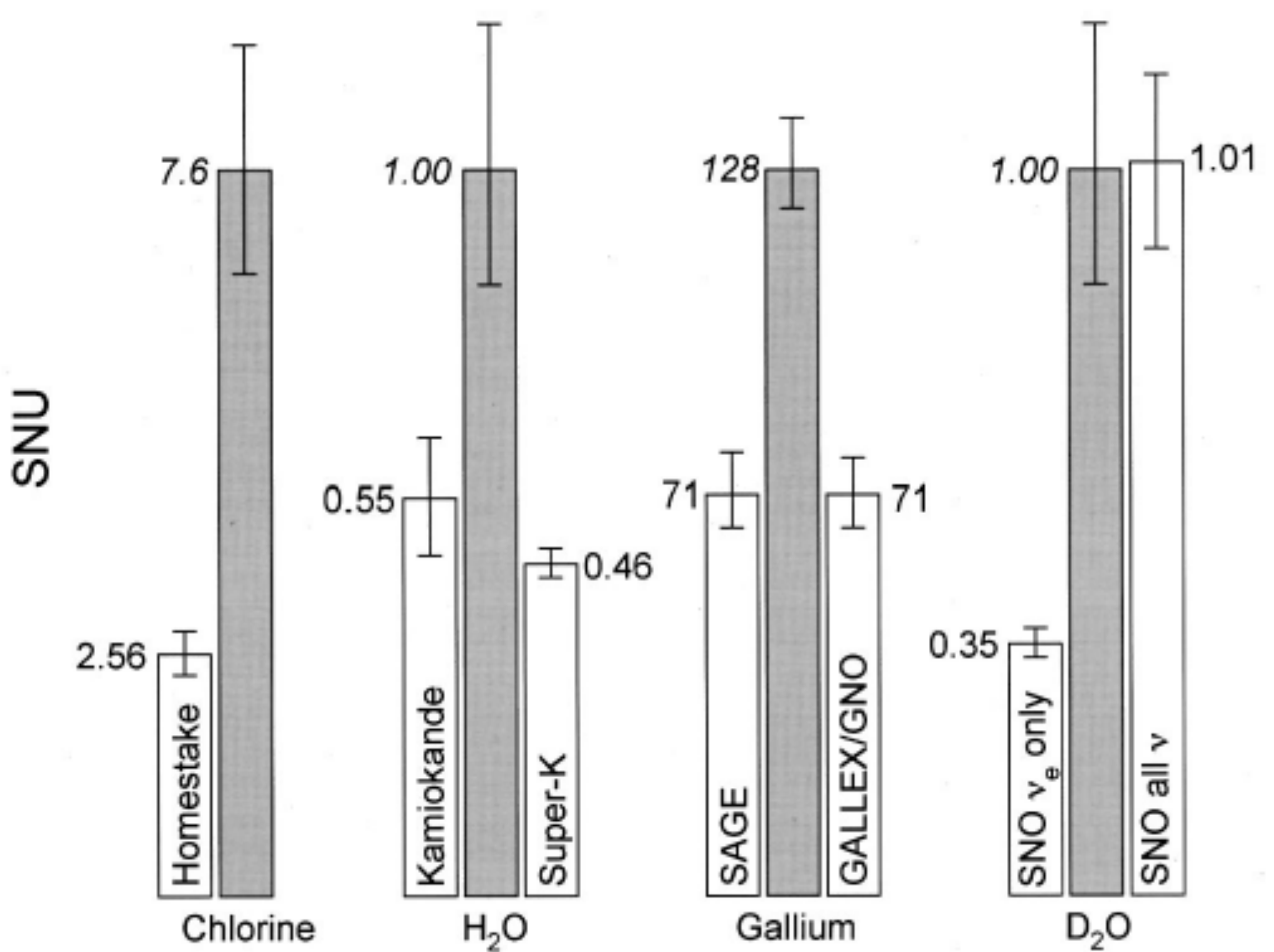


FIG. 16. A comparison of measured solar neutrino flux from the chlorine experiment, two gallium experiments (SAGE and GALLEX/GNO), two water Cerenkov experiments (Kamiokande and Super-Kamiokande) and the SNO D₂O experiment with theoretical predictions of Bahcall *et al.* (2001). The

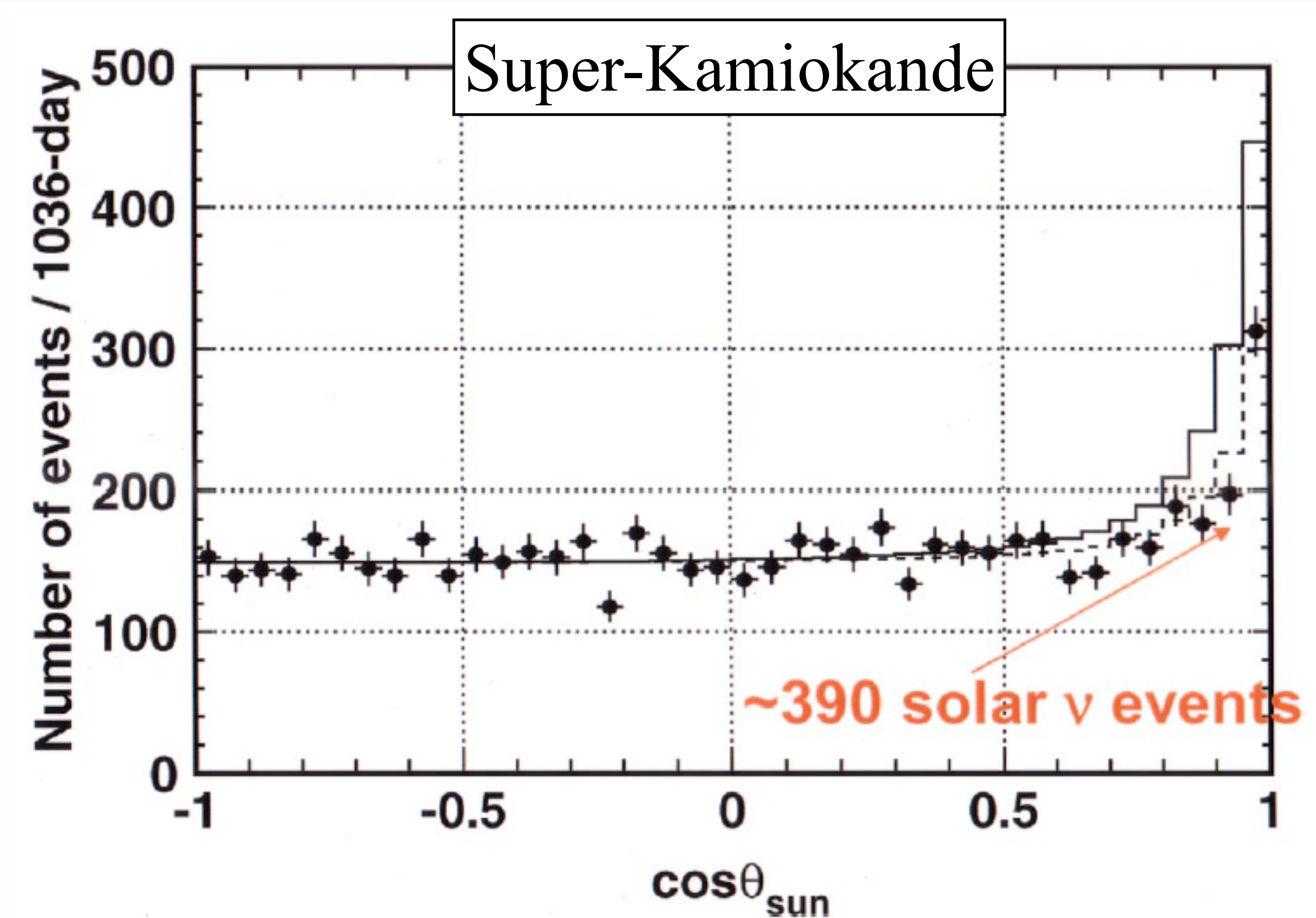


FIG. 7. (Color in online edition) The directional observation of solar neutrinos.

Oscilaciones de neutrinos

- ▶ Los neutrinos que se observan ("sabores") son superposiciones de estados de masa,

$$\begin{pmatrix} \nu_\alpha \\ \nu_\beta \end{pmatrix} = \begin{pmatrix} \cos \theta & \sin \theta \\ -\sin \theta & \cos \theta \end{pmatrix} \begin{pmatrix} \nu_1 \\ \nu_2 \end{pmatrix},$$

con θ el ángulo de mezclado entre los estados 1 y 2.

- ▶ El desarrollo resulta en

$$\text{Prob}(\nu_\alpha \rightarrow \nu_\beta) = \sin^2(2\theta) \sin^2(1.27 L_{\text{km}} \Delta m_{\text{eV}}^2 / E_{\text{GeV}}),$$

con $\Delta m^2 = |m_\alpha^2 - m_\beta^2|$ en el vacío.

- ▶ La presencia de materia altera L .

La masa del neutrino

- ▶ Acotada experimentalmente por debajo de 1 eV.

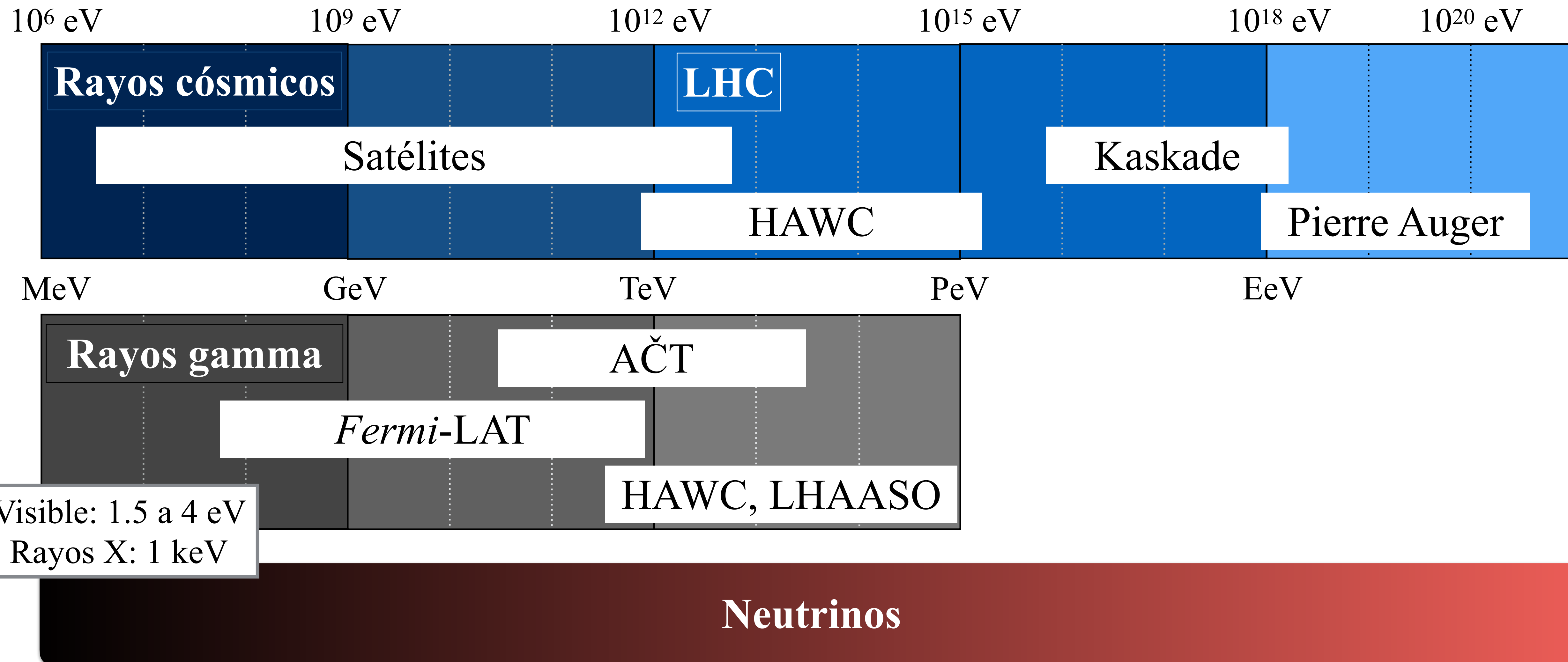
Experimento	Cota
Mediciones cosmológicas: → Futuros exp	$m_\nu = \sum_i m_{\nu_i} < 120 \text{ meV}.$ $\sigma(m_\nu) = 17 \text{ meV}.$
Neutrino-less double β decay: → Futuros exp	$m_{\beta\beta} = 120 - 250 \text{ meV}.$ $m_{0\nu\beta\beta} = 25 \text{ meV}.$
Decaimiento β directo:	$m_{\nu_e} = 200 \text{ meV}.$

Mertens (arxiv 1605.01579).

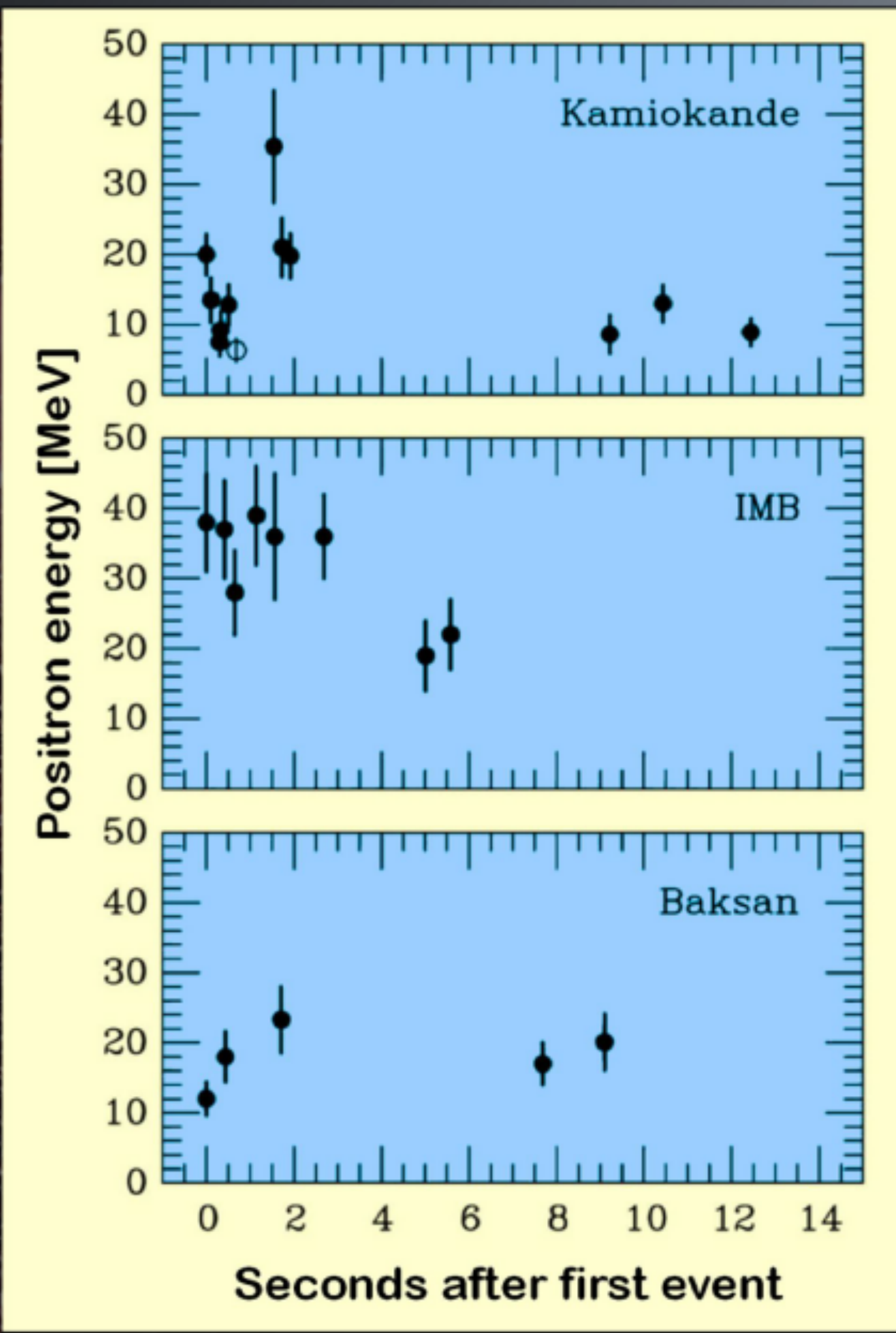
Astronomía de neutrinos

1. El decaimiento β y el neutrino
2. Neutrinos solares y oscilaciones
3. SN 1987A
4. Detectores de gran volumen
5. Astrofísica con IceCube
6. Próxima generación de detectores

Rangos espectrales



the birth of neutrino astronomy: supernova 1987A

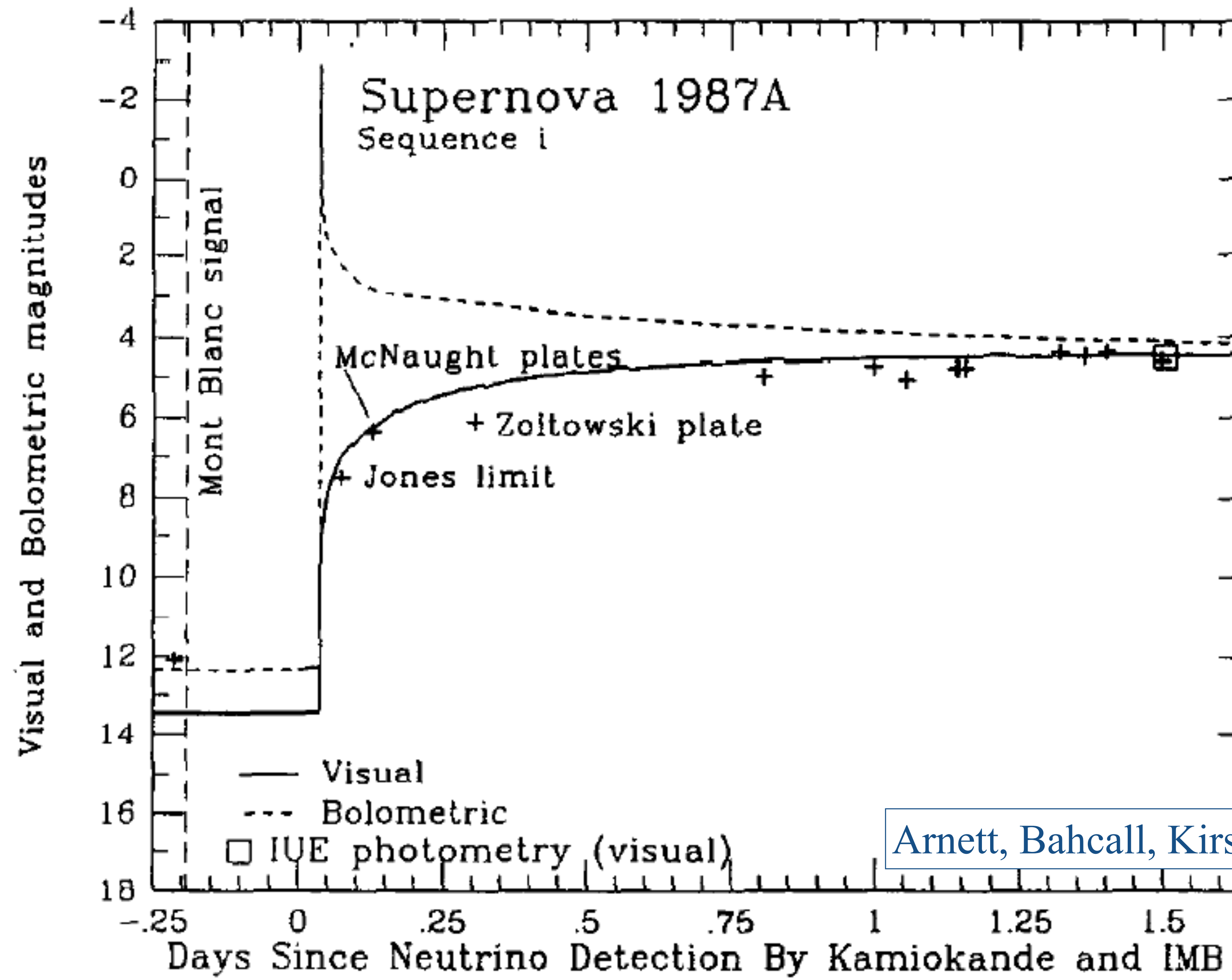


Halzen @ ICRC 2019

3. SN 1987A

- El 23 de febrero de 1987 explotó en la LMC la supernova más brillante observada en 383 años (+ otros 35...). Reportada visualmente el 23.44 Feb.
- Líneas de Balmer en absorción con velocidades de 30,000 km/s (0.1c): SN tipo II, sub-luminosa.
- Identificación previa de la progenitora de la supernova (siendo el segundo caso): Sk $-69^{\circ}202$, tipo B3I, estrella azul de $20 M_{\odot}$.
- La detección de neutrinos aportó la primera evidencia observational de la formación de una estrella de neutrones por colapso estelar.

Arnett, Bahcall, Kirshner, Woosley - ARAA 27, 629 (1989).



SN 1987A

Table 1 Burning stages in the evolution of a $20-M_{\odot}$ star

Fuel	ρ_c (g cm $^{-3}$)	T_c (10 9 K)	τ (yr)	L_{phot} (erg s $^{-1}$)	L_v (erg s $^{-1}$)
Hydrogen	5.6(0)	0.040	1.0(7)	2.7(38)	—
Helium	9.4(2)	0.19	9.5(5)	5.3(38)	< 1.0(36)
Carbon	2.7(5)	0.81	3.0(2)	4.3(38)	7.4(39)
Neon	4.0(6)	1.7	3.8(−1)	4.4(38)	1.2(43)
Oxygen	6.0(6)	2.1	5.0(−1)	4.4(38)	7.4(43)
Silicon	4.9(7)	3.7	2 days	4.4(38)	3.1(45)

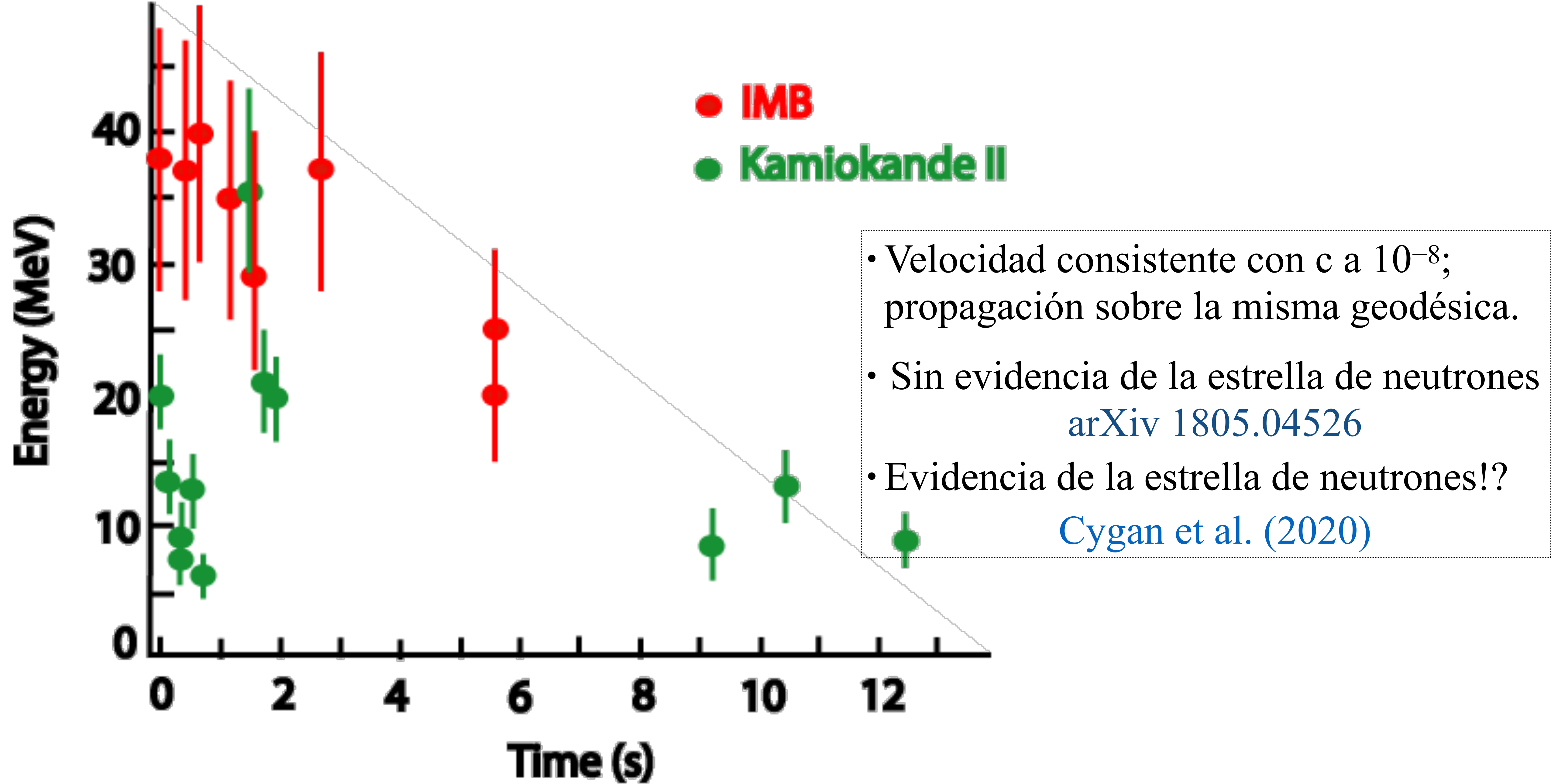
Núcleo estelar de He de 5 a 7 M_{\odot} .

Arnett, Bahcall, Kirshner, Woosley - ARAA 27, 629 (1989).

Explosión de SN 1987A

- Primera evidencia observacional de la formación de una estrella de neutrones por colapso estelar.
- $E_v \simeq 2.7 \times 10^{53} \text{ erg} \simeq 0.15 M_\odot c^2$
1% rebote (20 ms) y 99% enfriado térmico con temperatura $T \simeq 4.2(+1.2, -0.8) \text{ MeV}$;
enfriamiento exponencial con $\tau \simeq 4.5 (+1.7, -2.0) \text{ s}$.
- Al mes la curva de luz mostró comportamiento característico de ^{56}Co .
Evidencia posterior de ^{44}Ti .
- Límite a la masa del e-neutrino de alrededor de $\sim 11 \text{ eV}$.

Arnett, Bahcall, Kirshner, Woosley - ARAA 27, 629 (1989).



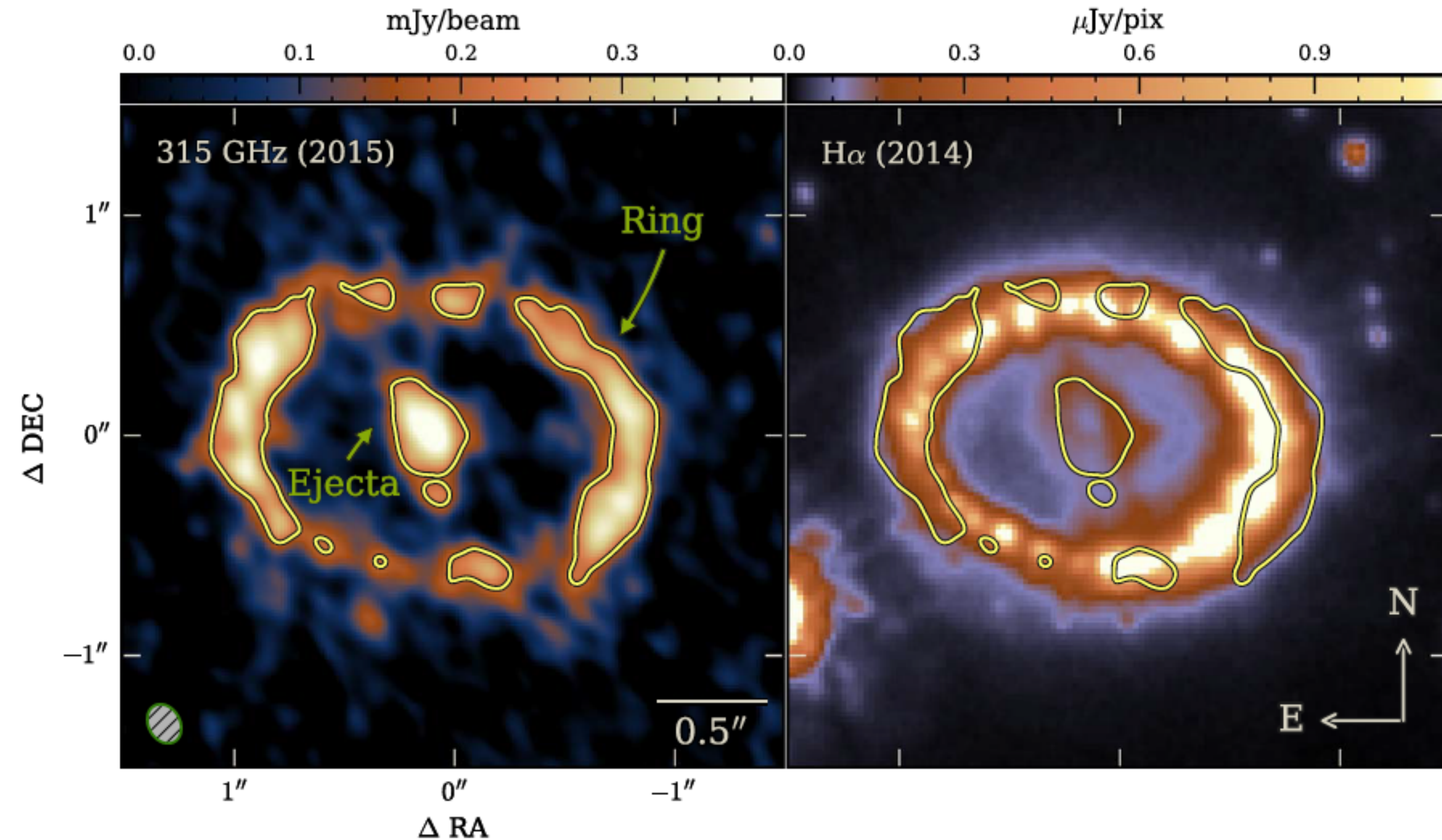


Figure 2. ALMA 315 GHz (with beam) and 2014 *HST* F625W band image (Fransson et al. 2015), which includes H α . The yellow contours display 315 GHz emission at 0.2 mJy beam $^{-1}$. The 315 GHz continuum in the inner ejecta originates from thermal dust emission, while in the ring it is due to synchrotron emission. The 18 mas uncertainty on the relative alignment due to Band 7 astrometric error (12 mas) and *HST* image registration based on fitting the ring (6 mas) is of order 1 pixel in these images.

Astronomía de neutrinos

1. El decaimiento β y el neutrino

1500 M

2. Neutrinos solares y oscilaciones

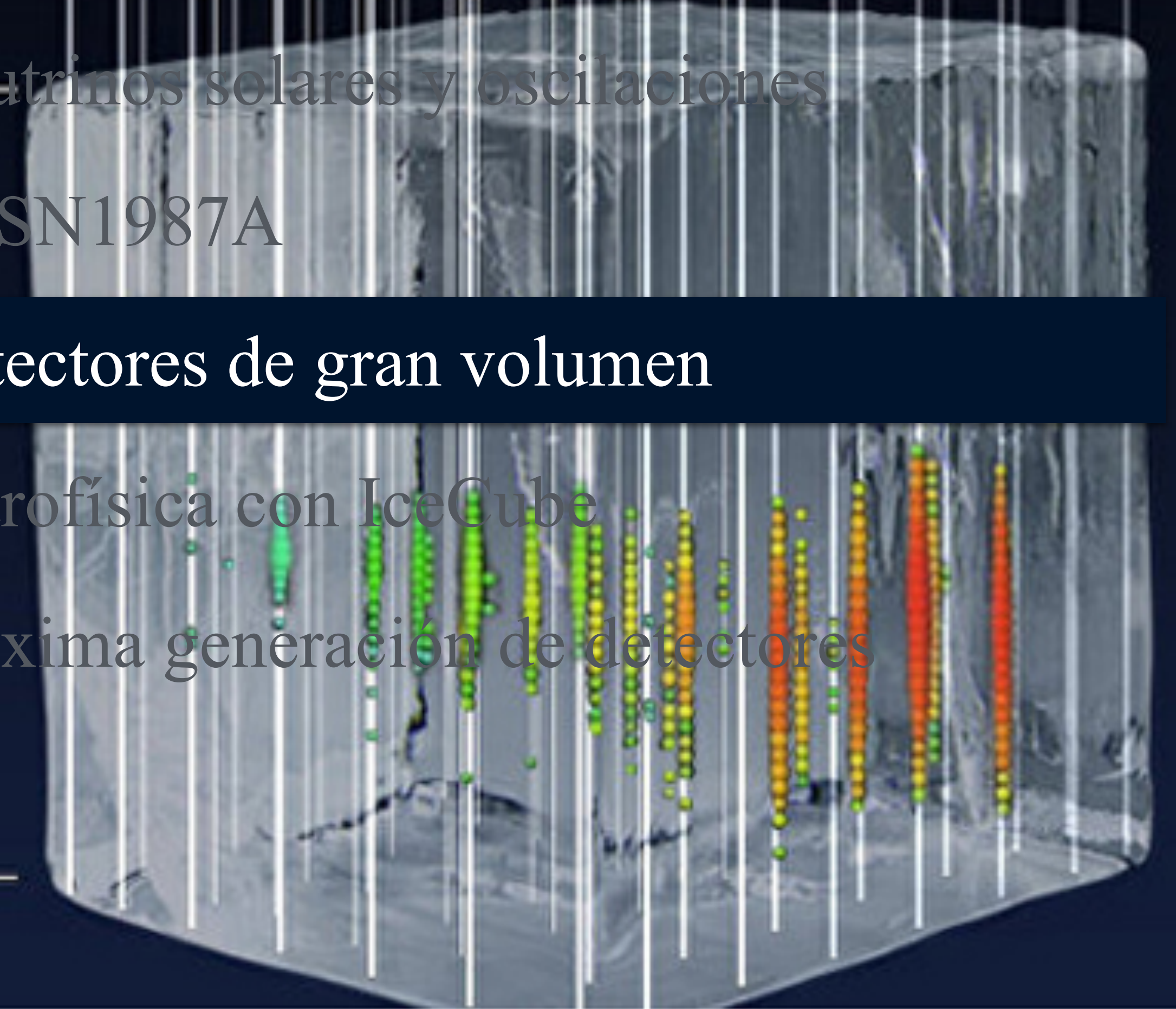
3. La SN1987A

4. Detectores de gran volumen

5. Astrofísica con IceCube

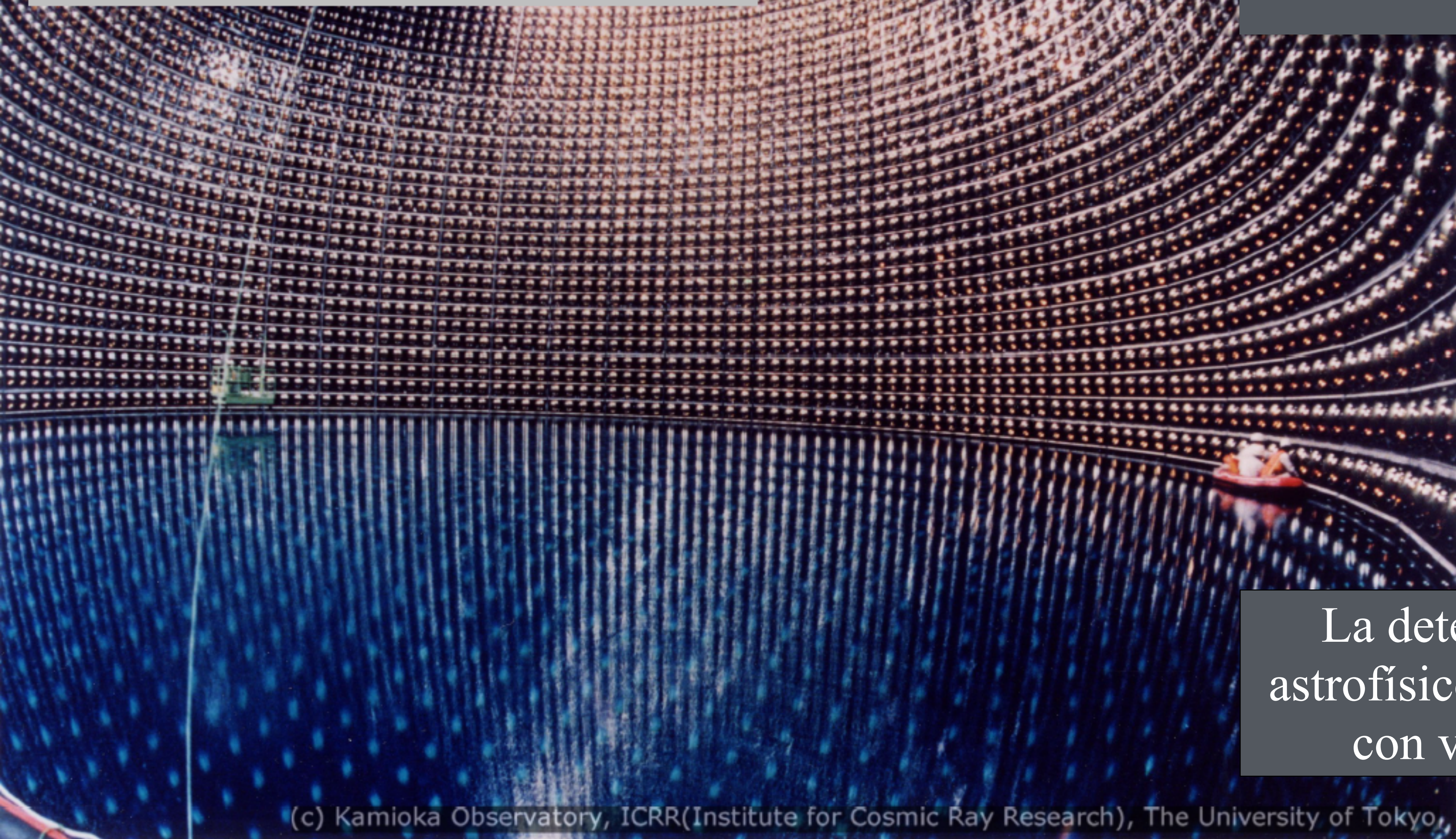
2500 M

6. Próxima generación de detectores



Burj Khalifa, Dubai

10,000 times too small to
do neutrino astronomy...



Super-Kamiokande
41.4 m altura × 39.3 m diámetro

La detección de neutrinos
astrofísicos requiere detectores
con volúmenes de km³

(c) Kamioka Observatory, ICRR(Institute for Cosmic Ray Research), The University of Tokyo

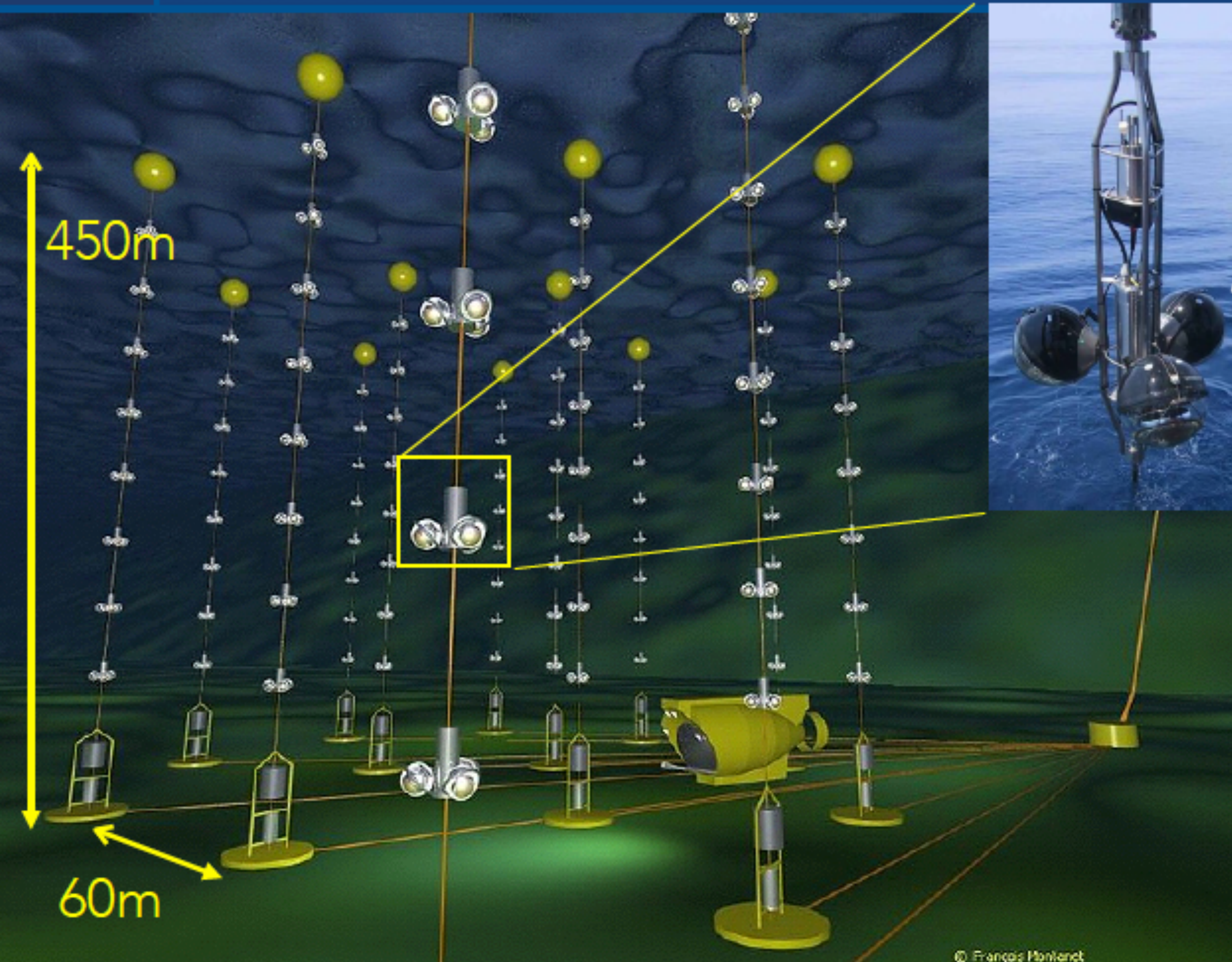
Lake Baikal experiment observes atmospheric neutrinos



THE ANTARES DETECTOR

Coniglione @ ICRC 2019

4



Optical sensor
1 PMT of 10 inches

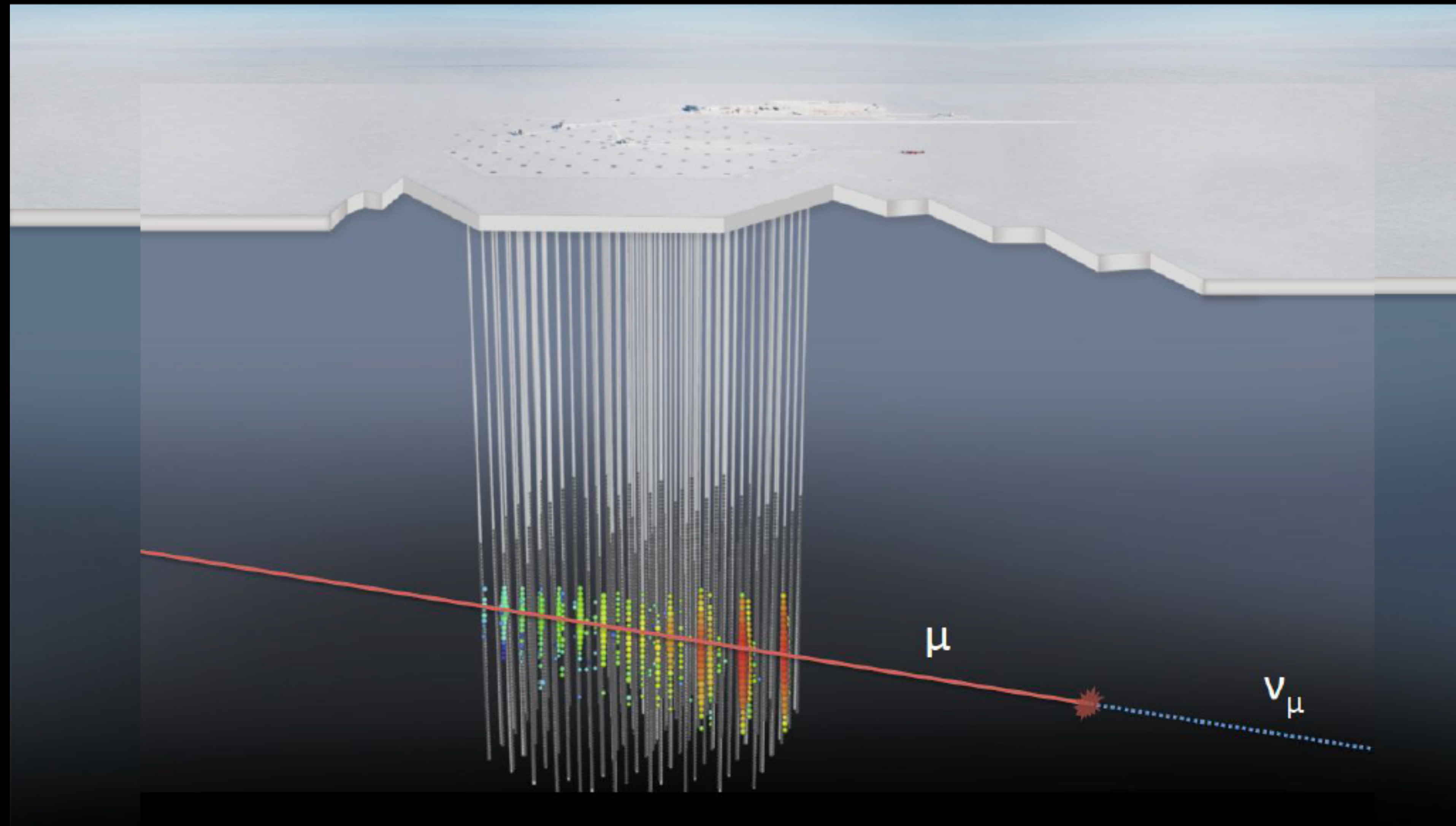
Depth 2475m



- 12 lines of 75 PMTs
- 1 line for Earth and Marine sciences
- 25 storeys / line
- 3 PMTs / storey
- 885 PMTs
- **Volume 0.01 km³**

Detector completed in 2008
Taking data since 11 years
with a duty cycle of ~95%

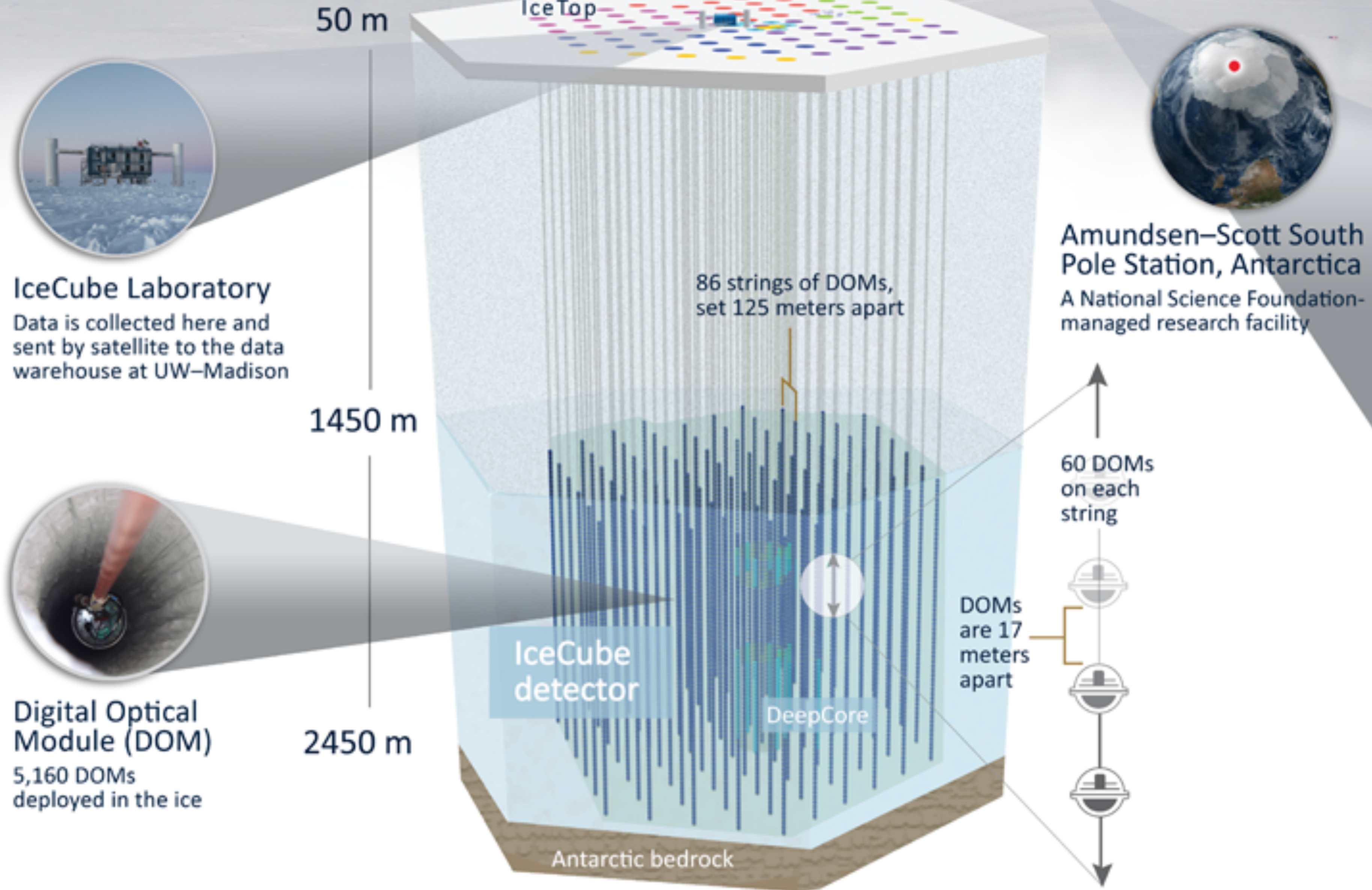
instrument 1 cubic kilometer of natural ice below 1.45 km

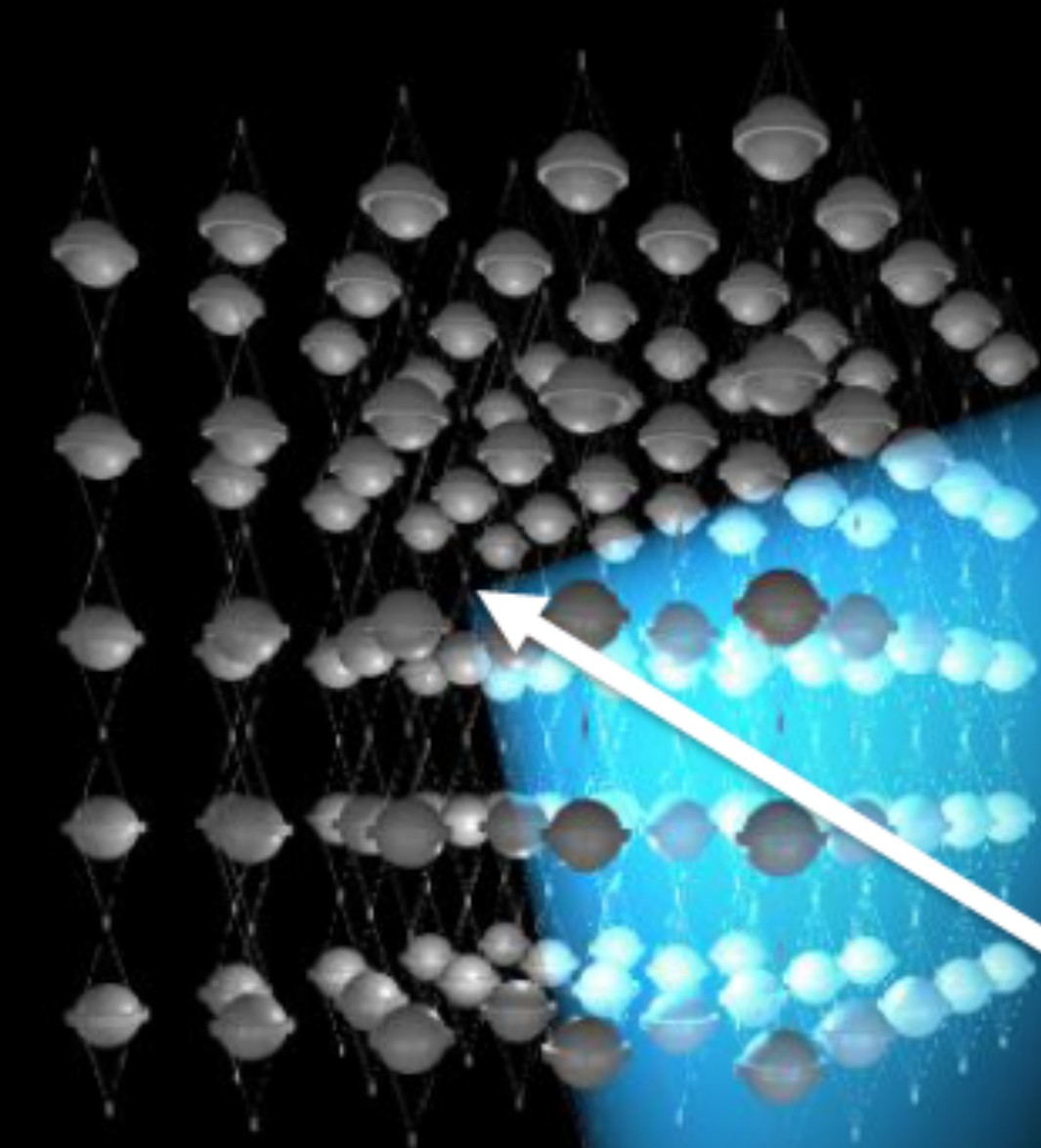
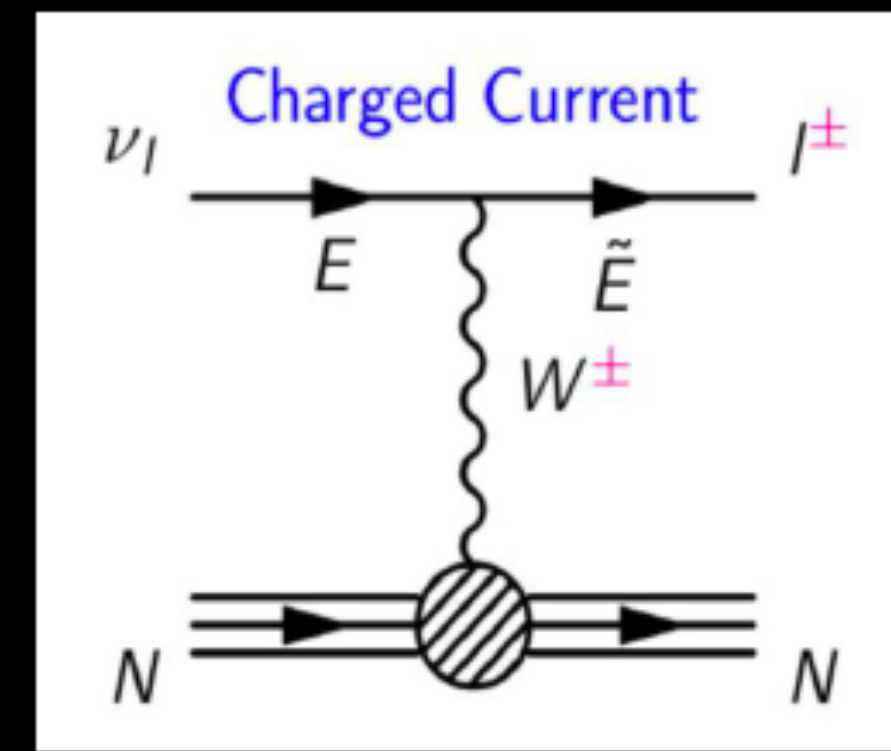




ICECUBE

South Pole Neutrino Observatory

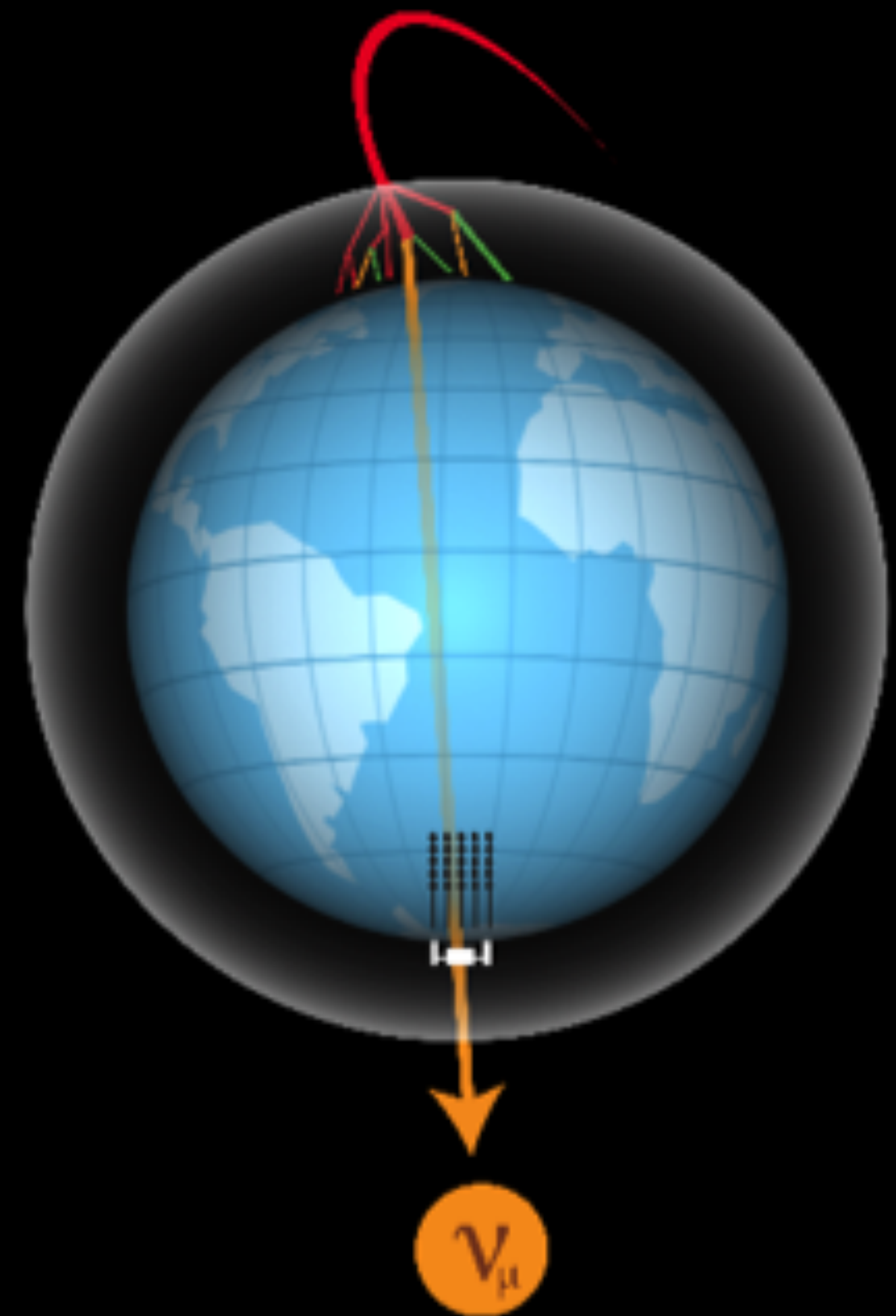




a muon neutrino produces a muon
with a range of kilometers

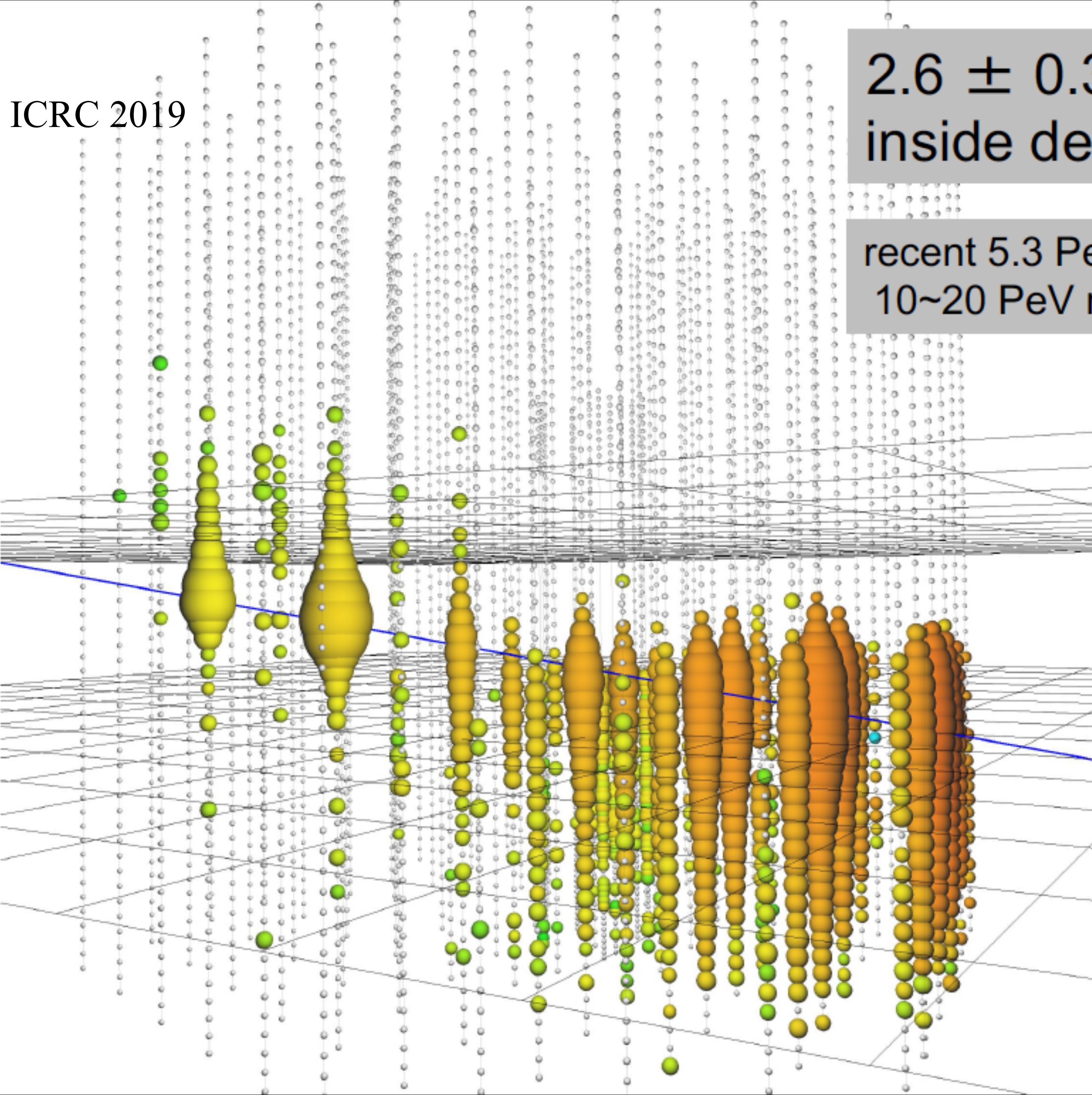
- lattice of photomultipliers

neutrino

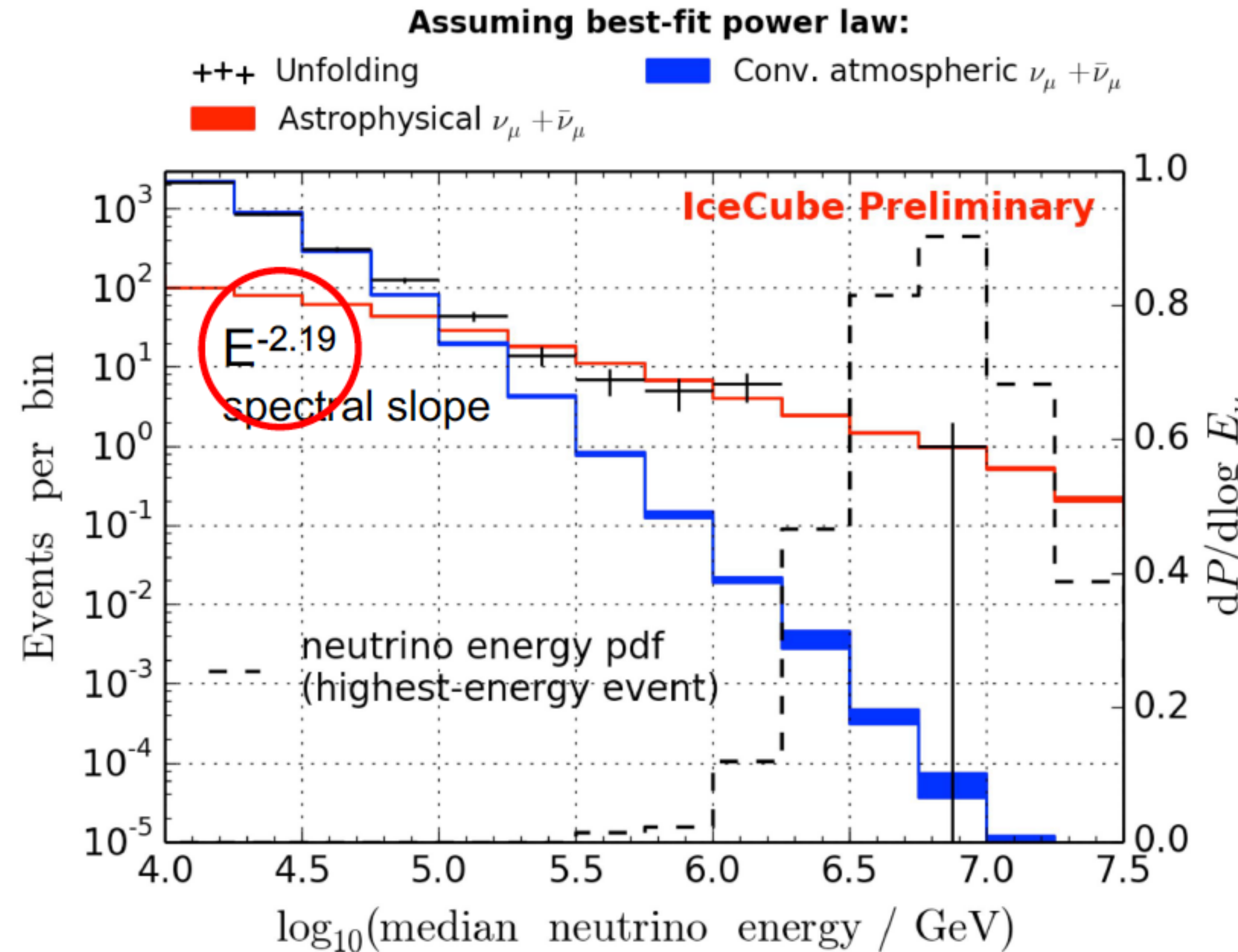


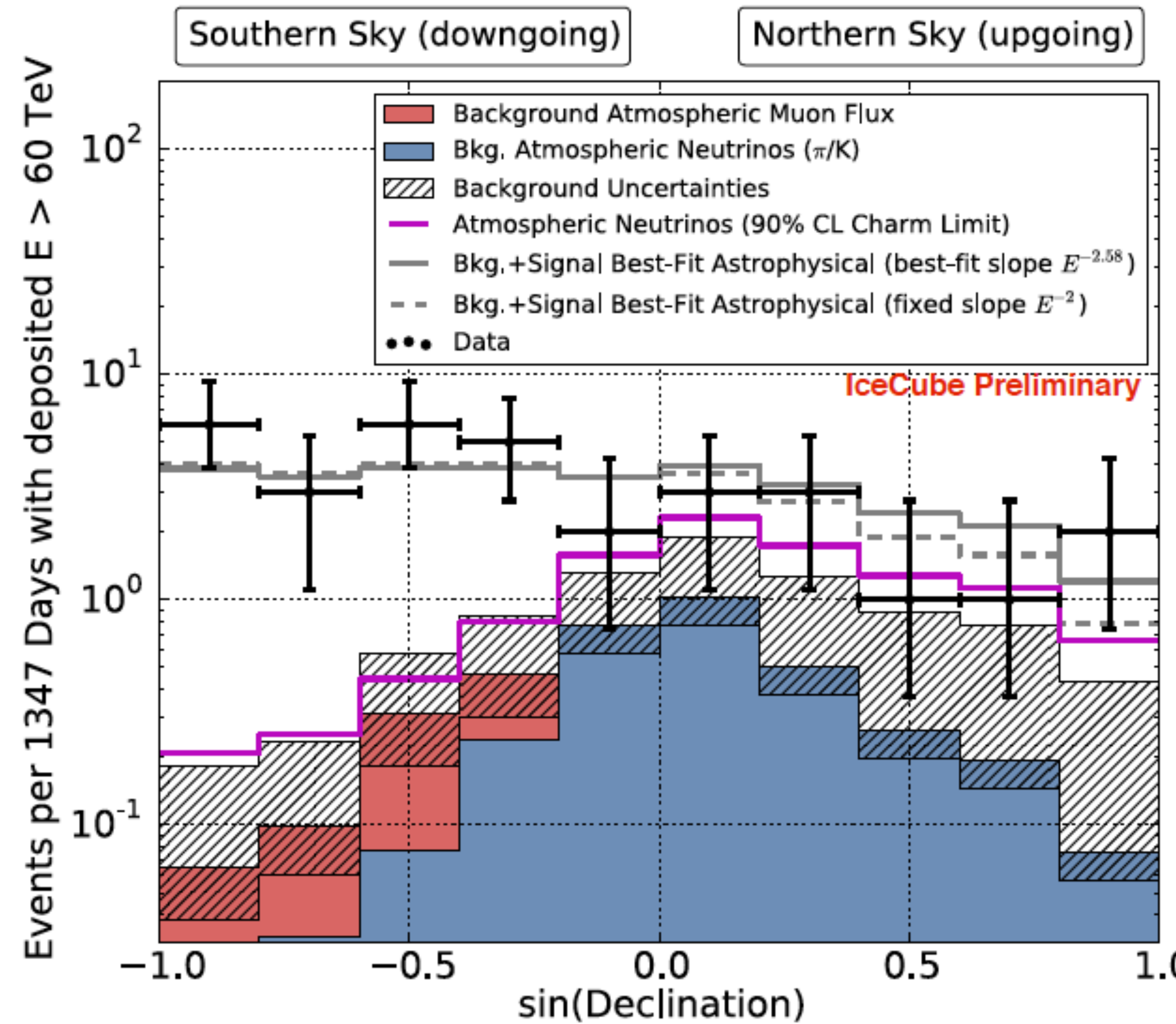
$2.6 \pm 0.3 \text{ PeV}$
inside detector

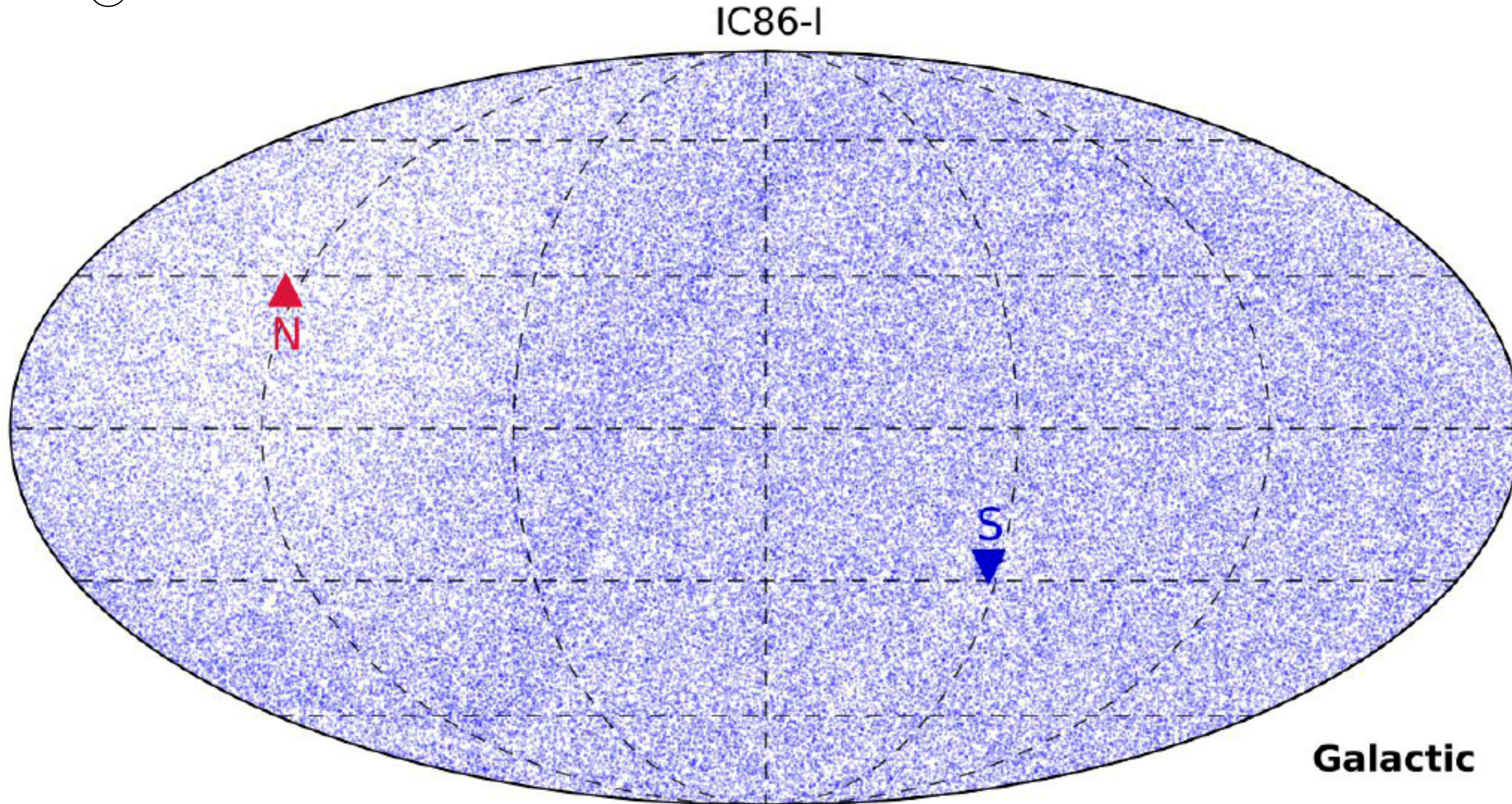
recent 5.3 PeV event
10~20 PeV neutrino



~ 550 cosmic neutrinos in a background of ~340,000 atmospheric atmospheric background: less than one event/deg²/year





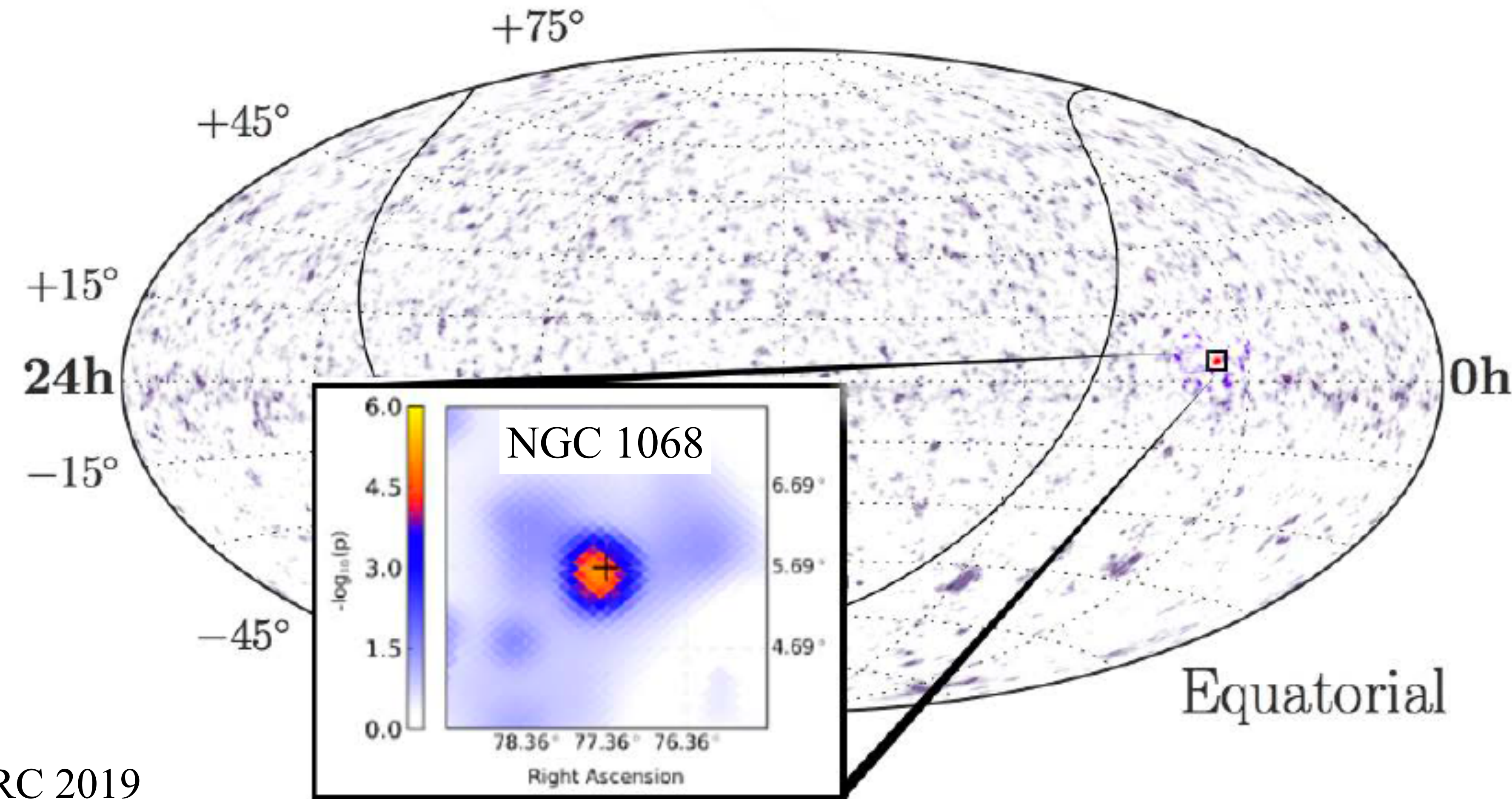


138322 neutrino candidates in one year

120 cosmic neutrinos

~12 separated from atmospheric background with $E > 60$ TeV
structure in the map results from neutrino absorption by the Earth

10 years of IceCube data: evidence for non-uniform skymap, mostly resulting from 4 source candidates



Halzen @ ICRC 2019

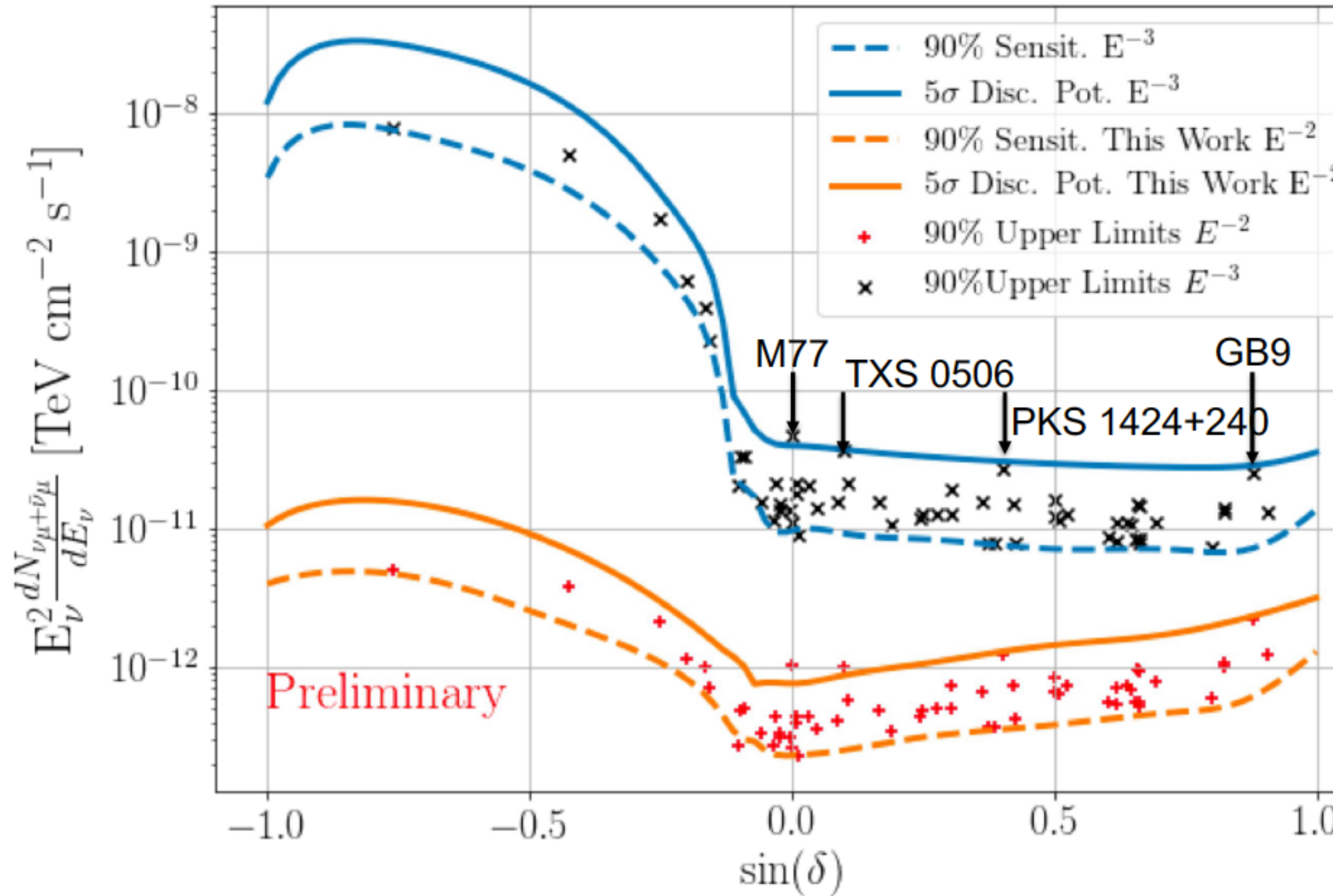


CONACYT
Consejo Nacional de Ciencia y Tecnología

AAE @ INAOE - 2022



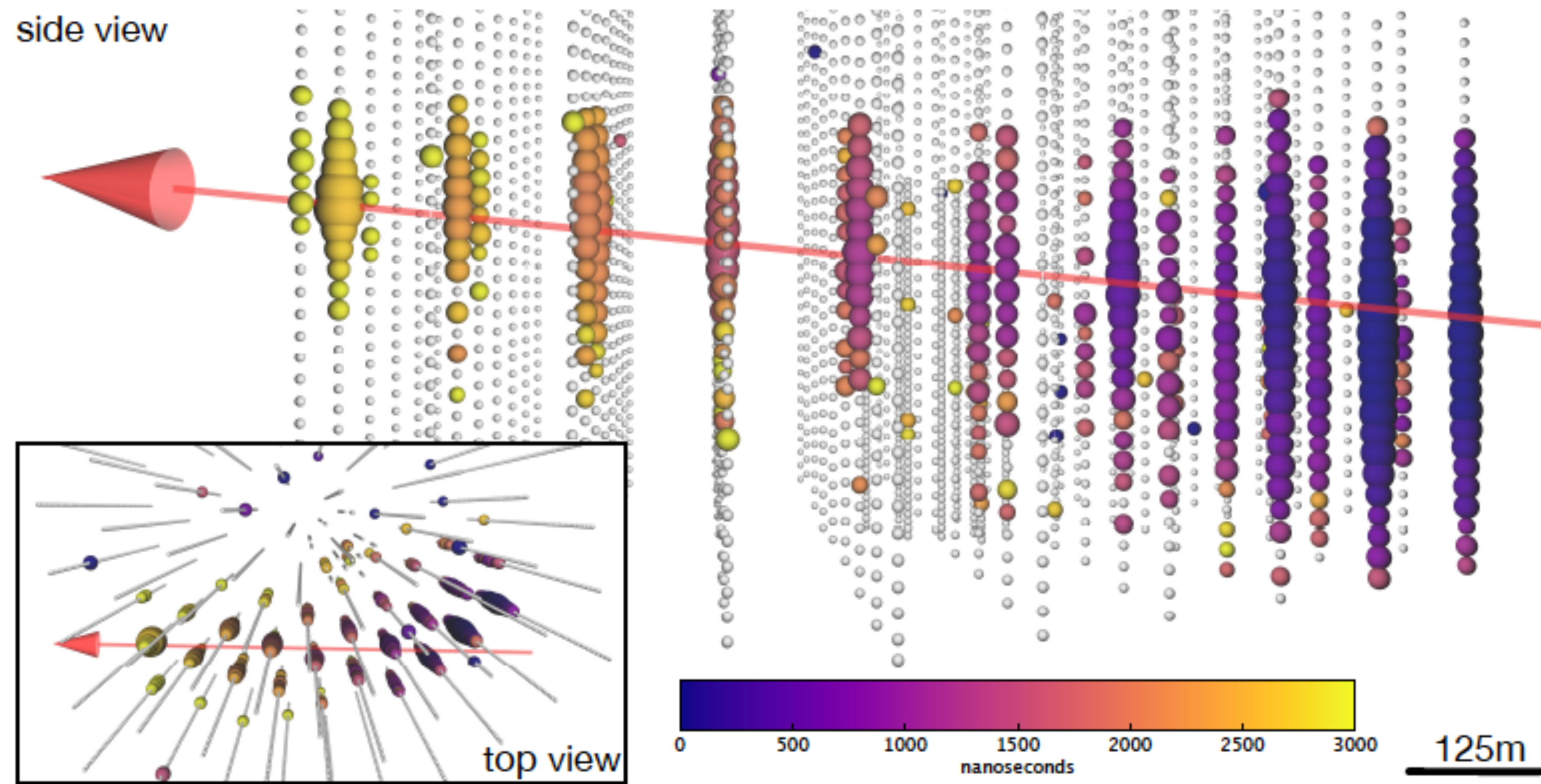
limits and fluctuations(?)



this is the case for larger detectors with better angular resolution!

IceCube-170922A

Evento del 22 septiembre 2017 reconstruido por IceCube con $E_\nu = 290 \text{ TeV}$
 $(E_\nu > 183 \text{ TeV}, \text{Prob } 90\%)$.



Aartsen et al. (2018)
Science & 1807.08816

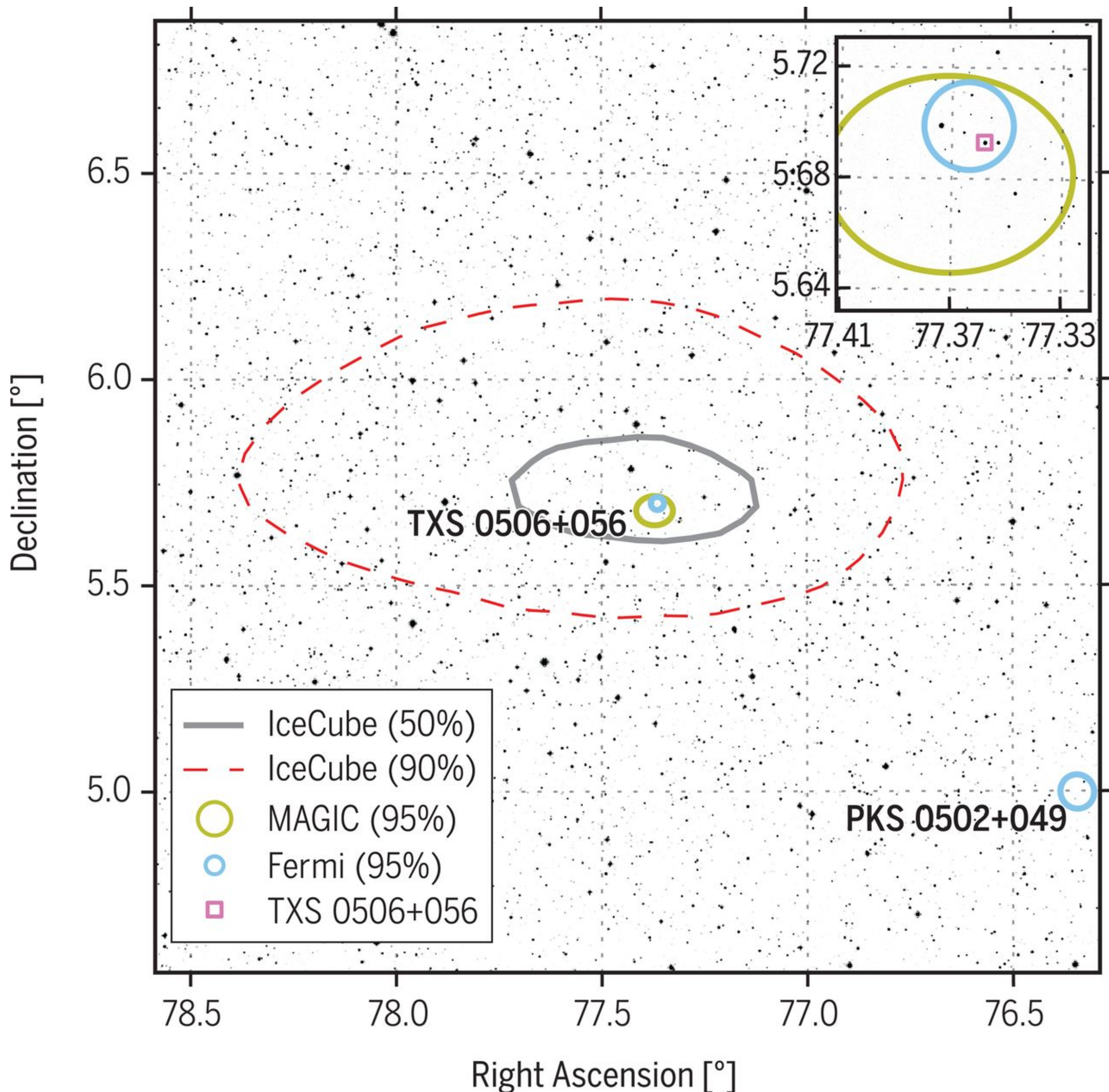
Figure 1: Event display for neutrino event **IceCube-170922A**. The time at which a DOM

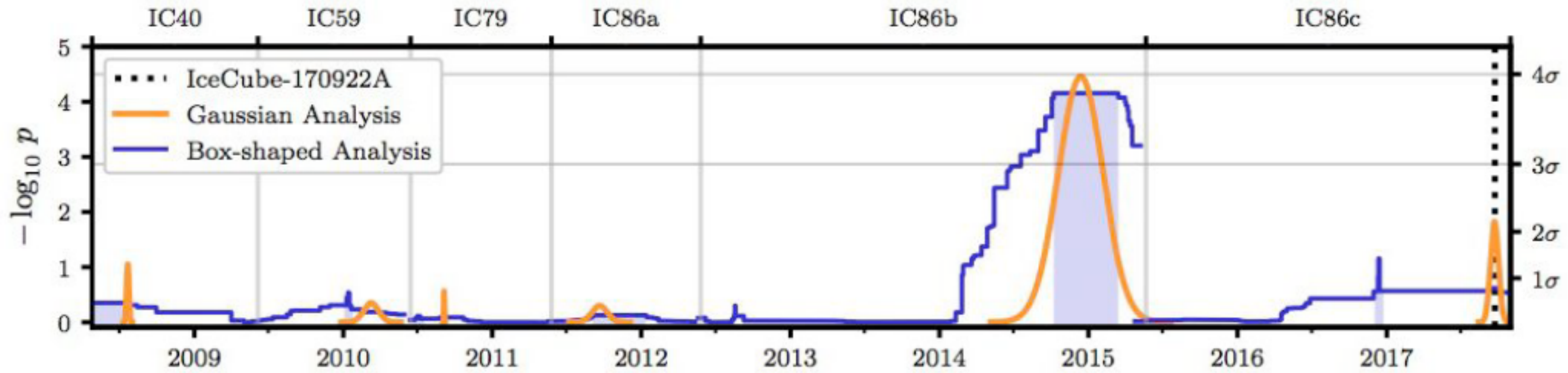
Follow-up detections of IC170922 based on public telegrams



Texas 0506+056

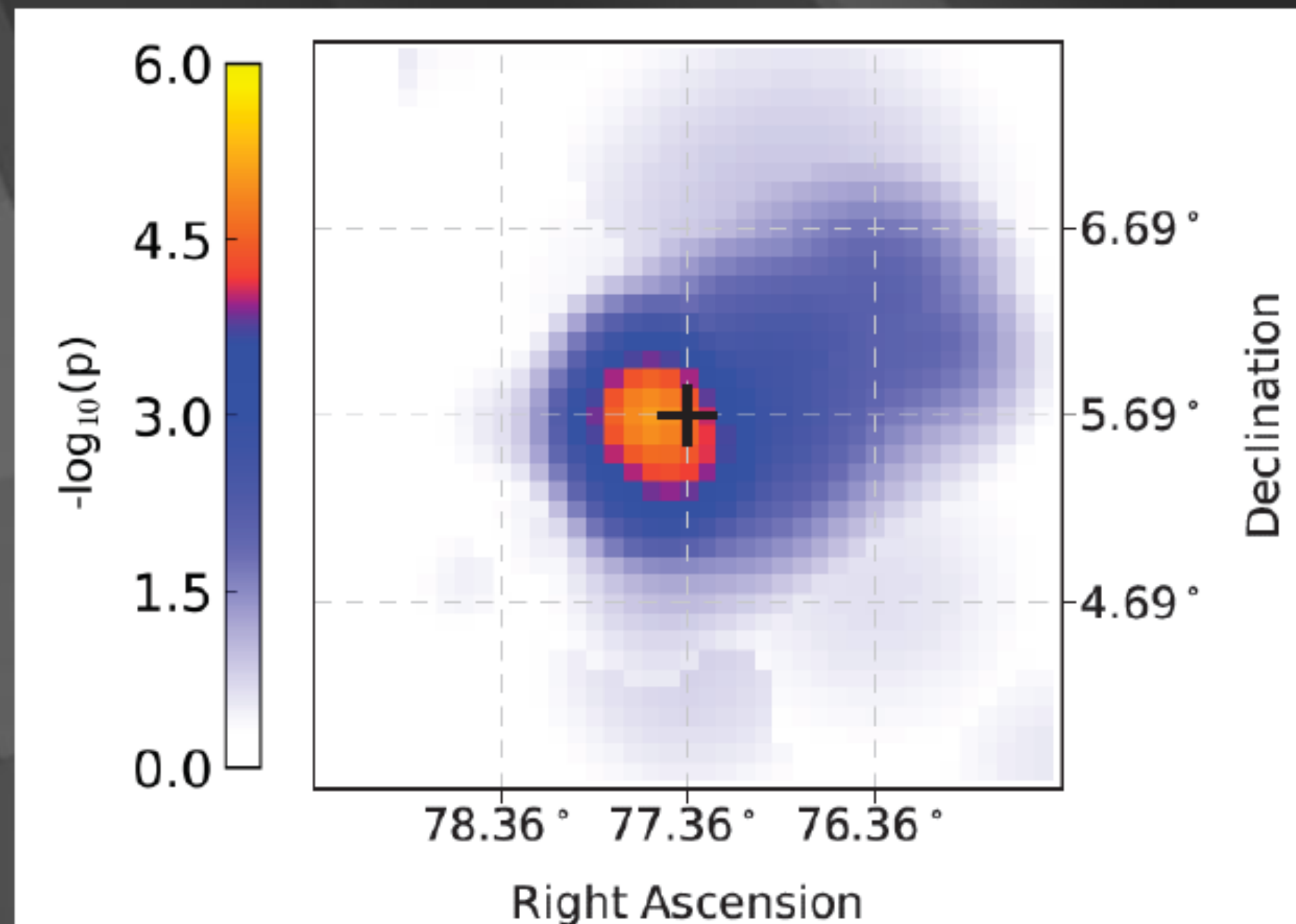
- IC-170922A coincide con 3FGL J0509.4+0541 (1FGL; EGR; 3FHL J0509.4+0542) asociado al BL Lac TXS 0506+056.
- TXS 0506+056 activo en Fermi; MAGIC lo detecta en VHE.
- GTC $\rightarrow z = 0.3365$.





search in archival
IceCube data:

- 150 day flare in December 2014 of 19 events (bkg <6)
- $2 \cdot 10^{-5}$ bkg.probability
- spectrum $E^{-2.1}$



Halzen @ ICRC 2019

Understanding neutrinos from TXS 0506+056

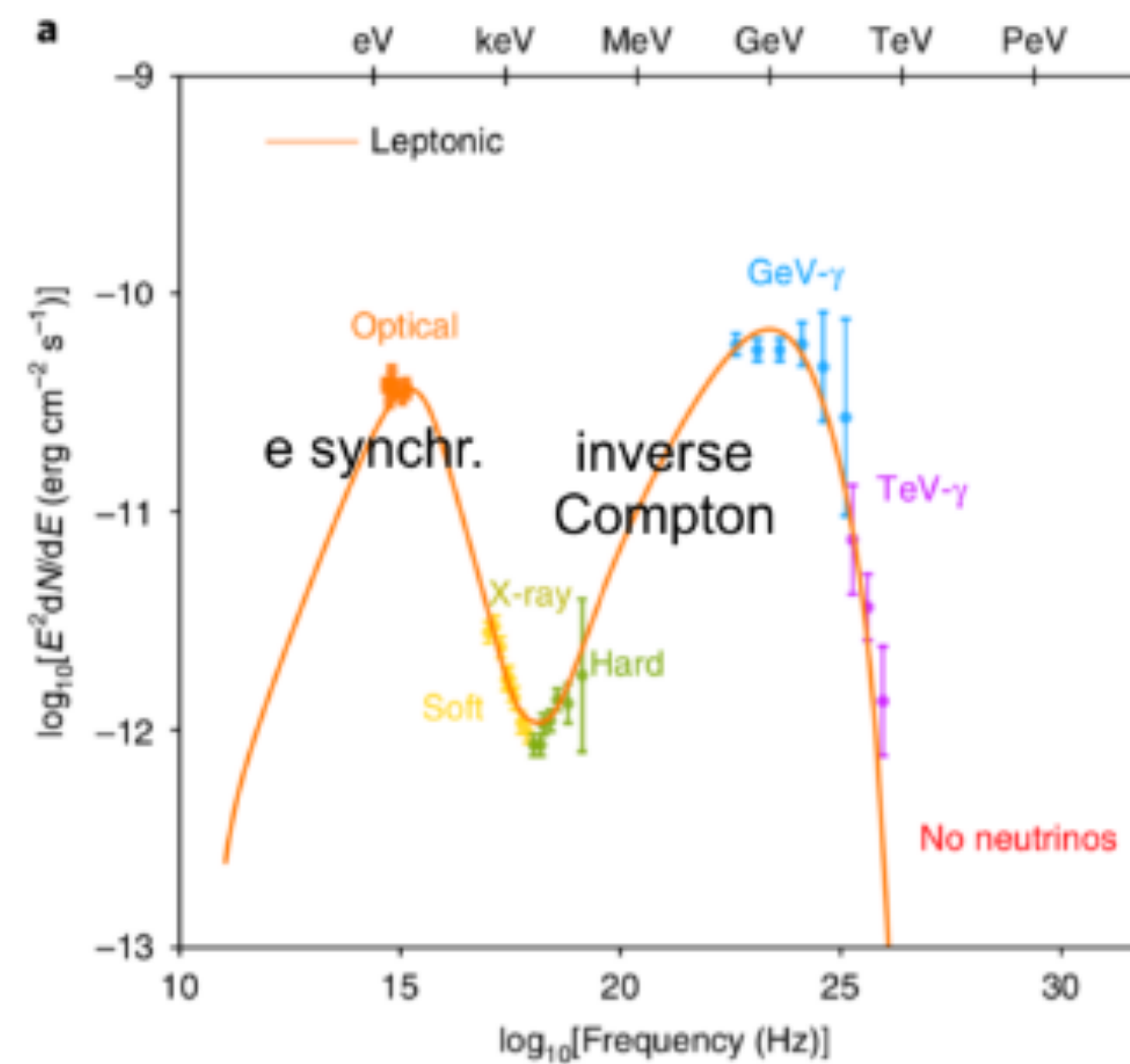
PoS(ICRC2019)1032 (Walter Winter)

One zone model results (2017 flare)

One spherical radiation zone
Fewest assumptions

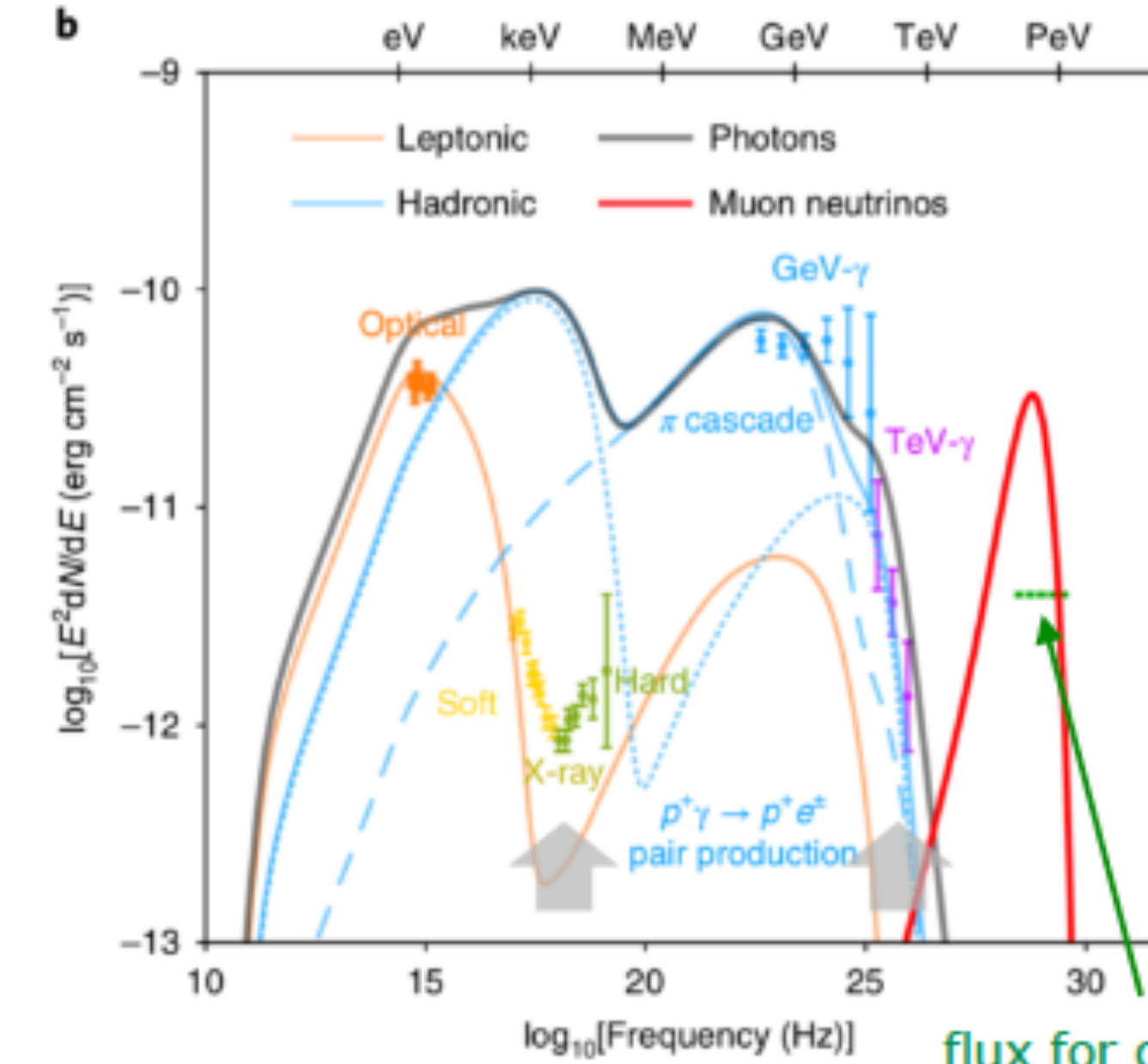
R'

Leptonic models



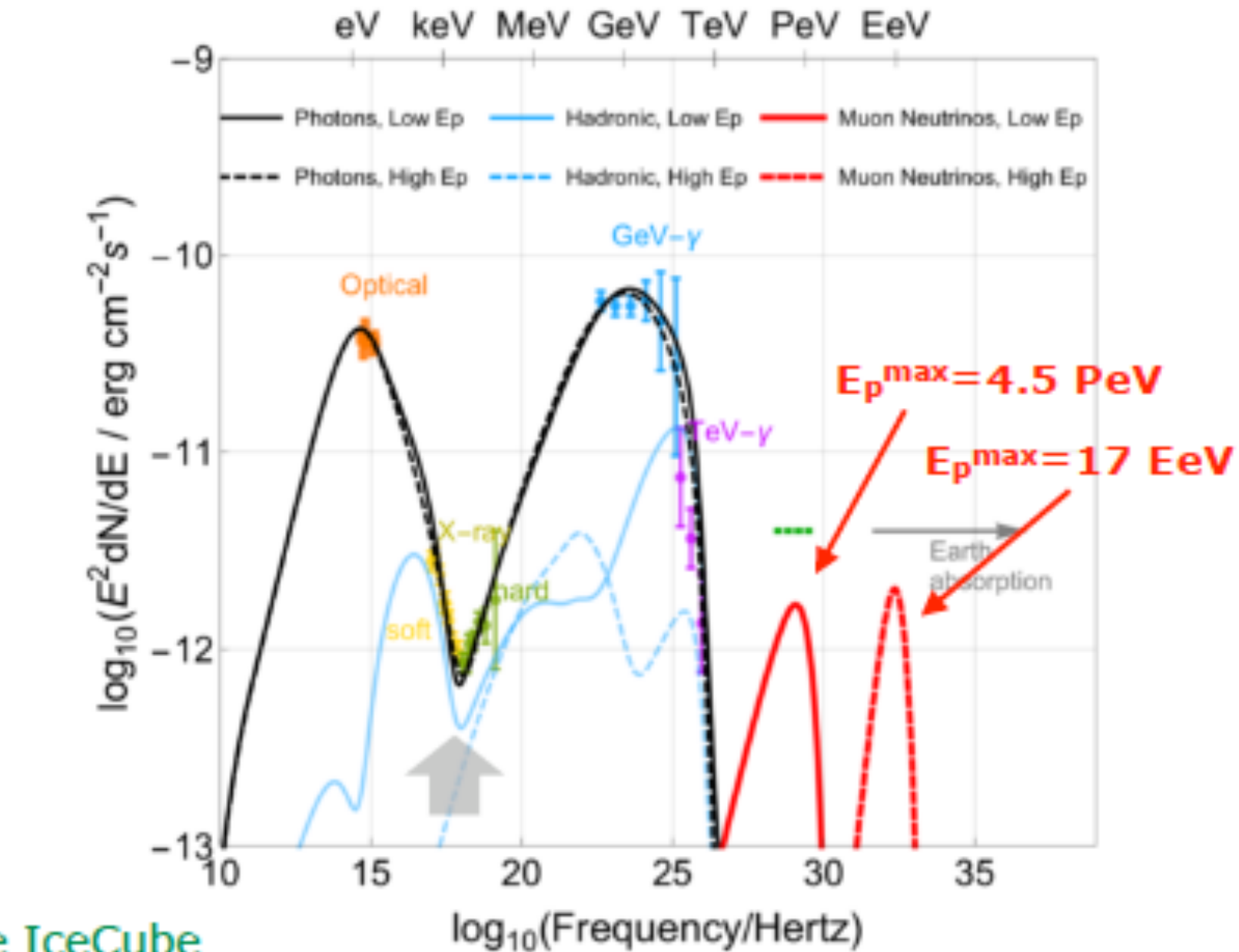
- No neutrinos

Hadronic (π cascade) models



- Violate X-ray data
X-ray (and TeV γ-ray) data indicative for hadronic origin

Hybrid or p synchrotron models



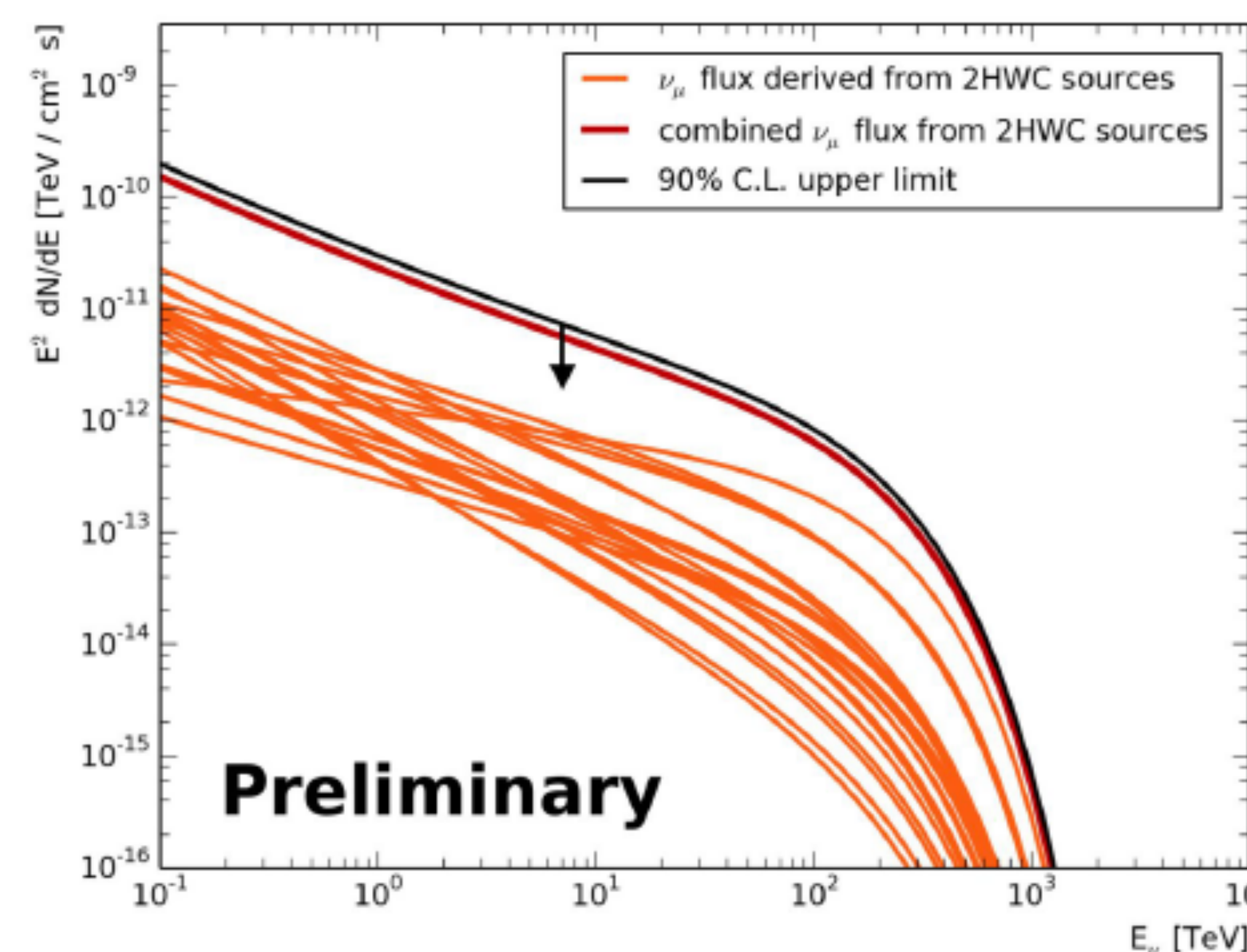
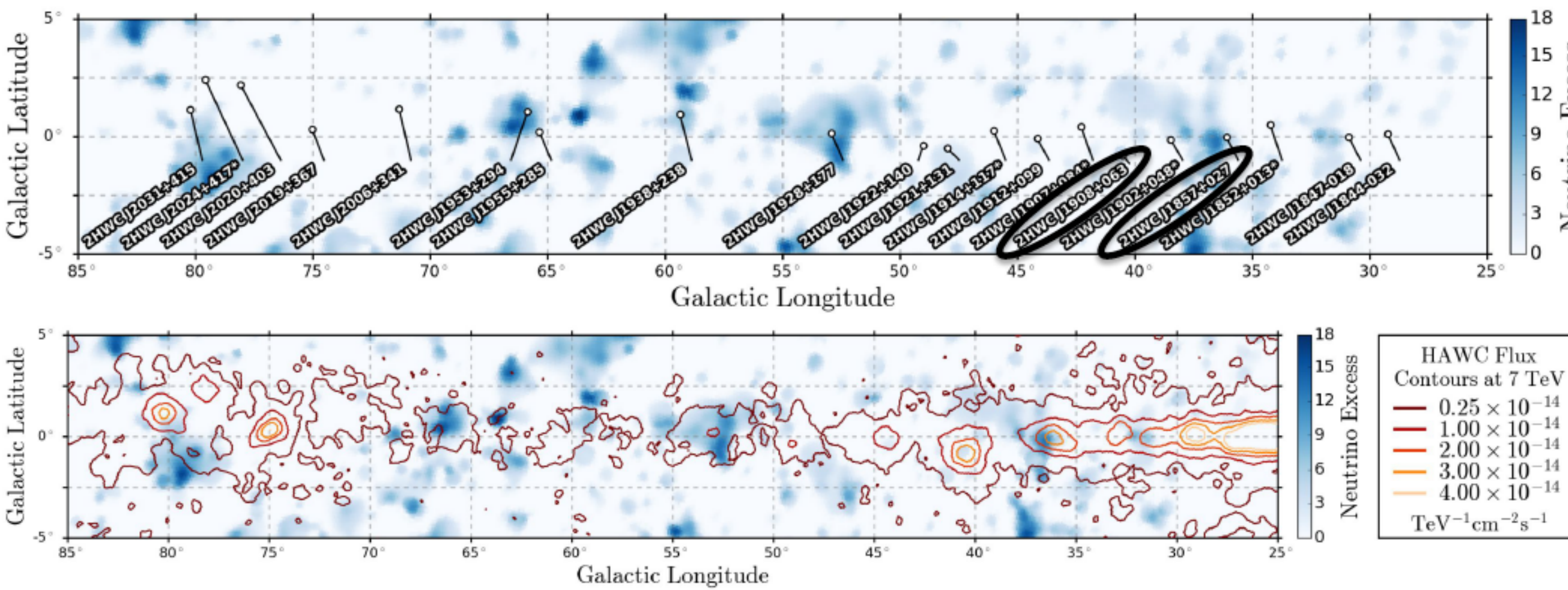
- Violate energetics (L_{edd}) by a factor of a few hundred or significantly exceed ν energy

En la Galaxia

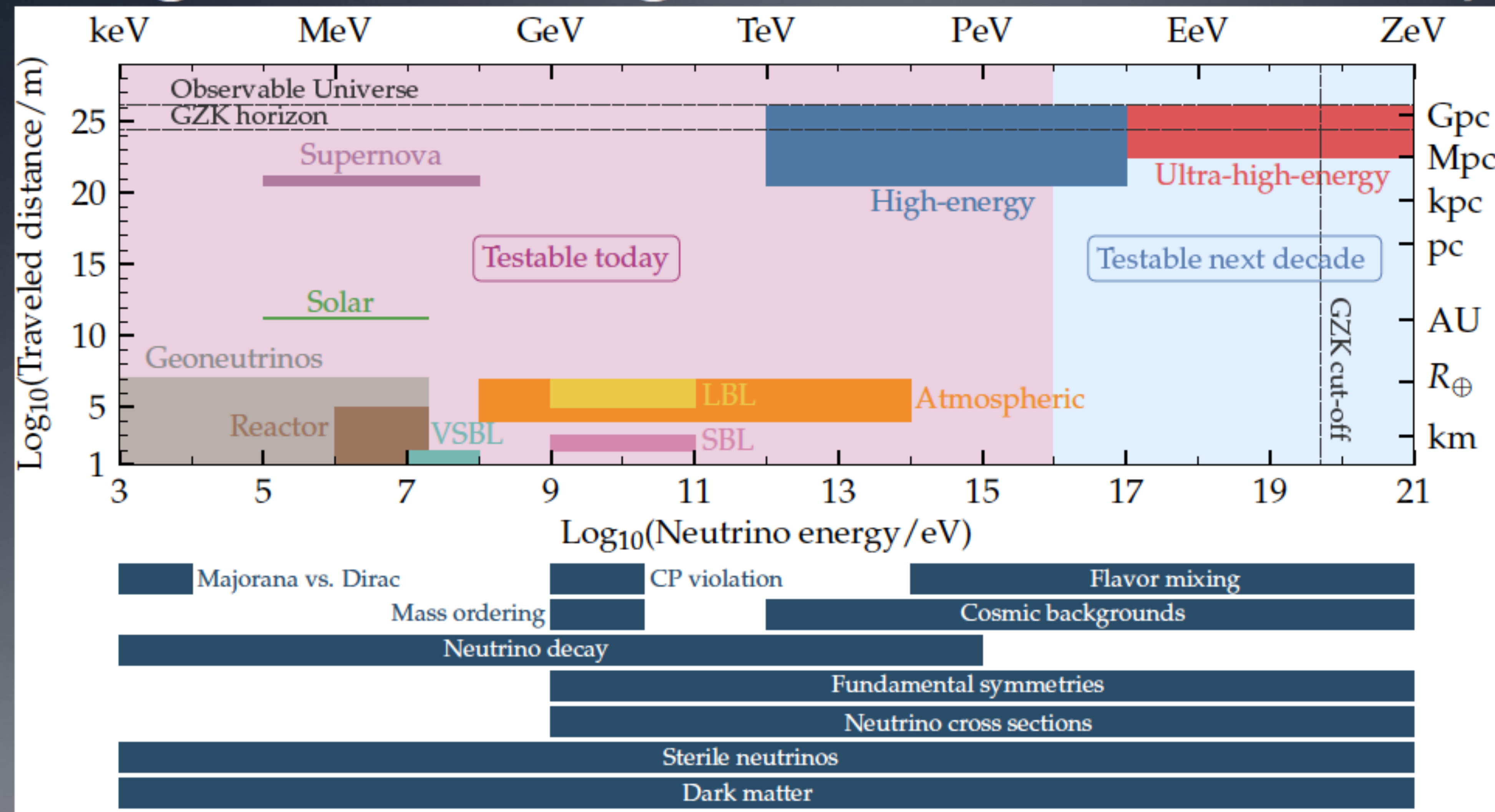
Halzen @ ICRC 2019

HAWC photons and
IceCube neutrinos

neutrino flux at the level
predicted, but not
significant yet



Probing a Wide Range of Fundamental Physics



Vieregg @ ICRC 2019

M. Bustamante, from arXiv:1903.04333, Astro2020 Science Whitepaper

4

Measurement of the multi-TeV neutrino interaction cross-section with IceCube using Earth absorption

The IceCube Collaboration*

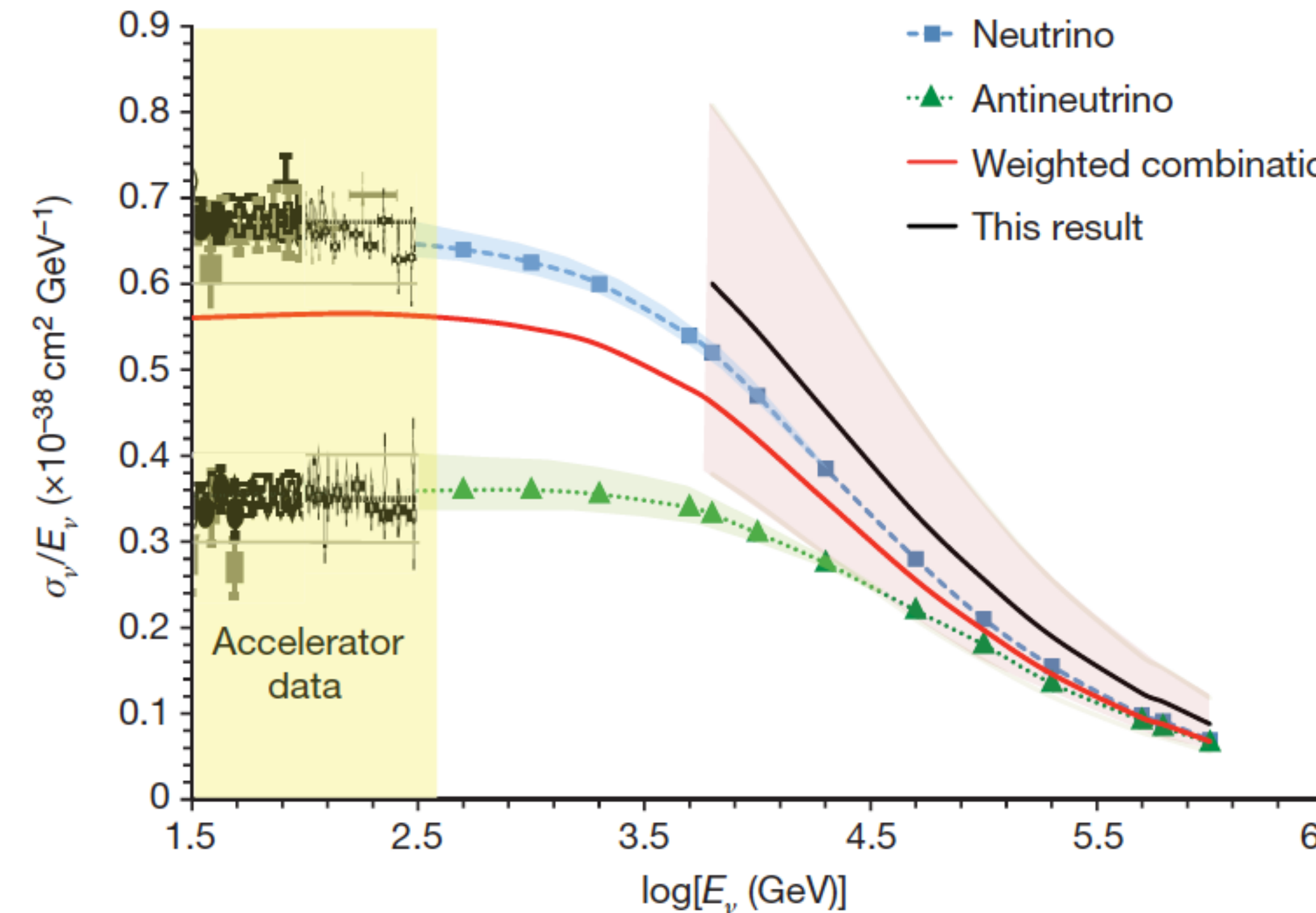
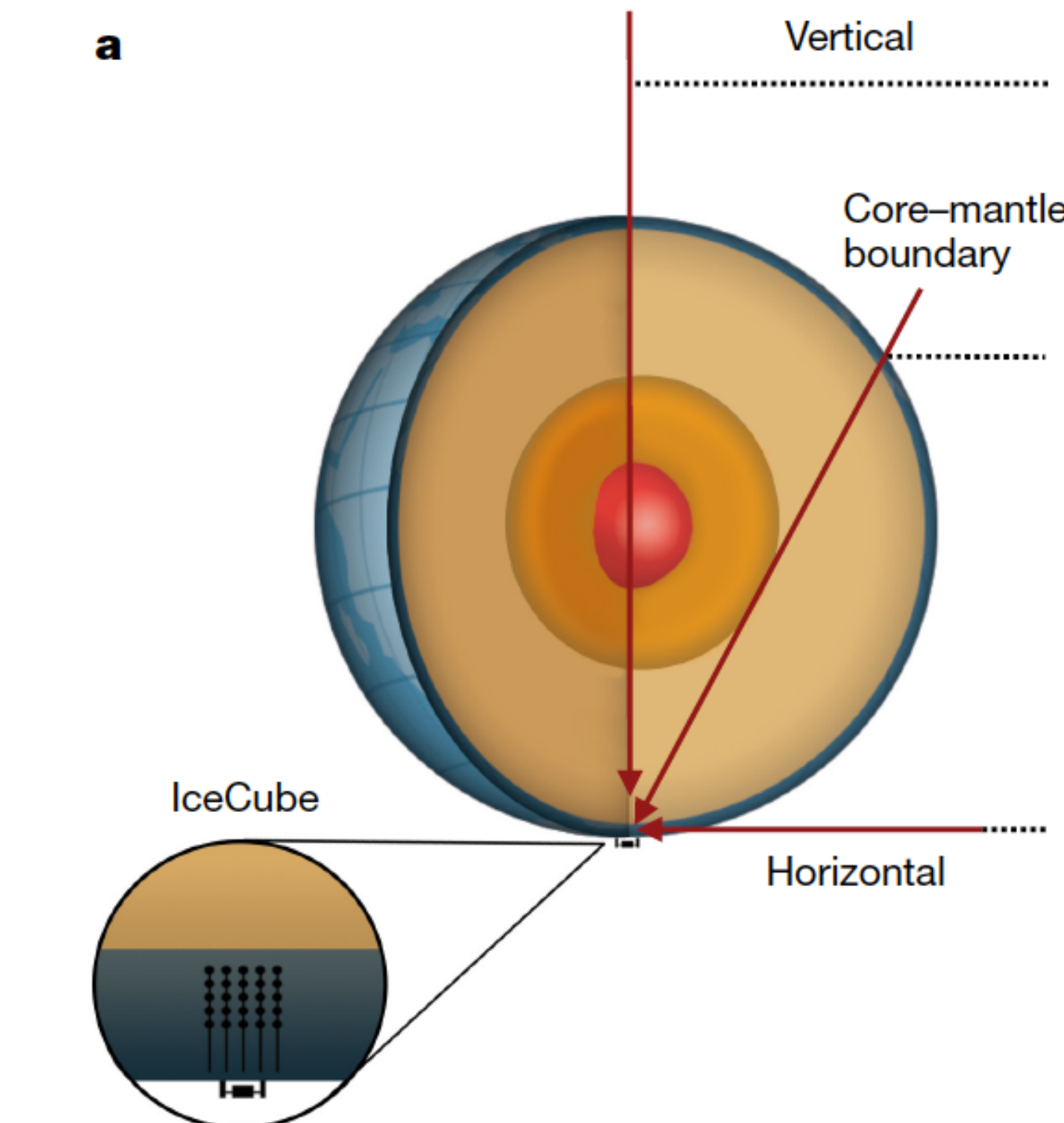


Figure 1 | Neutrino cross-section measurements. Measured neutrino charged-current interaction cross-sections σ_ν , divided by the neutrino energy E_ν , from accelerator experiments are shown, along with error bars



Nature, 22 de noviembre 2017

Resonancia de Glashow

$$\bar{\nu}_e + e^- \rightarrow W^- \rightarrow X$$

Proceso resonante a $E_\nu = 6.3 \text{ PeV}$

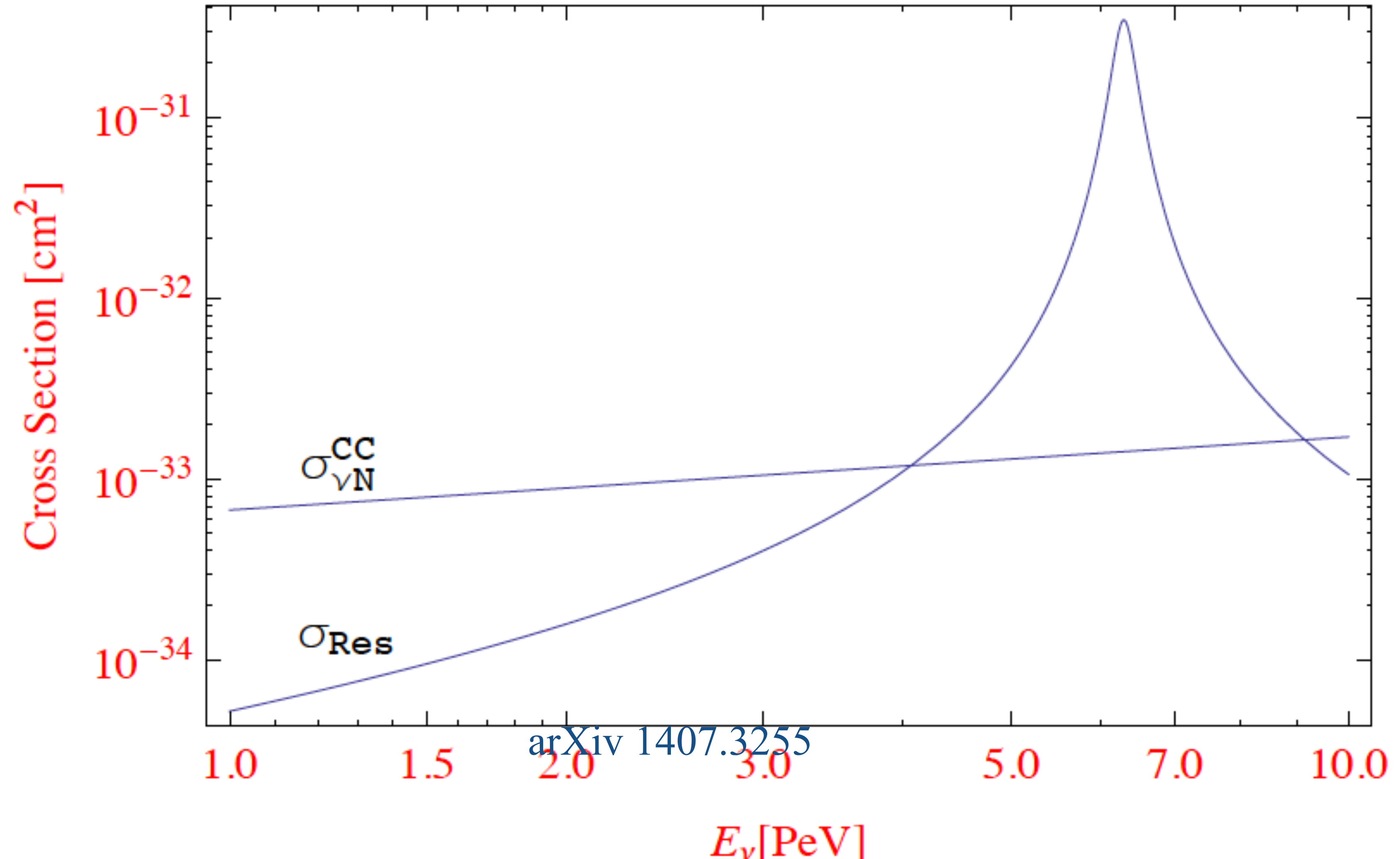
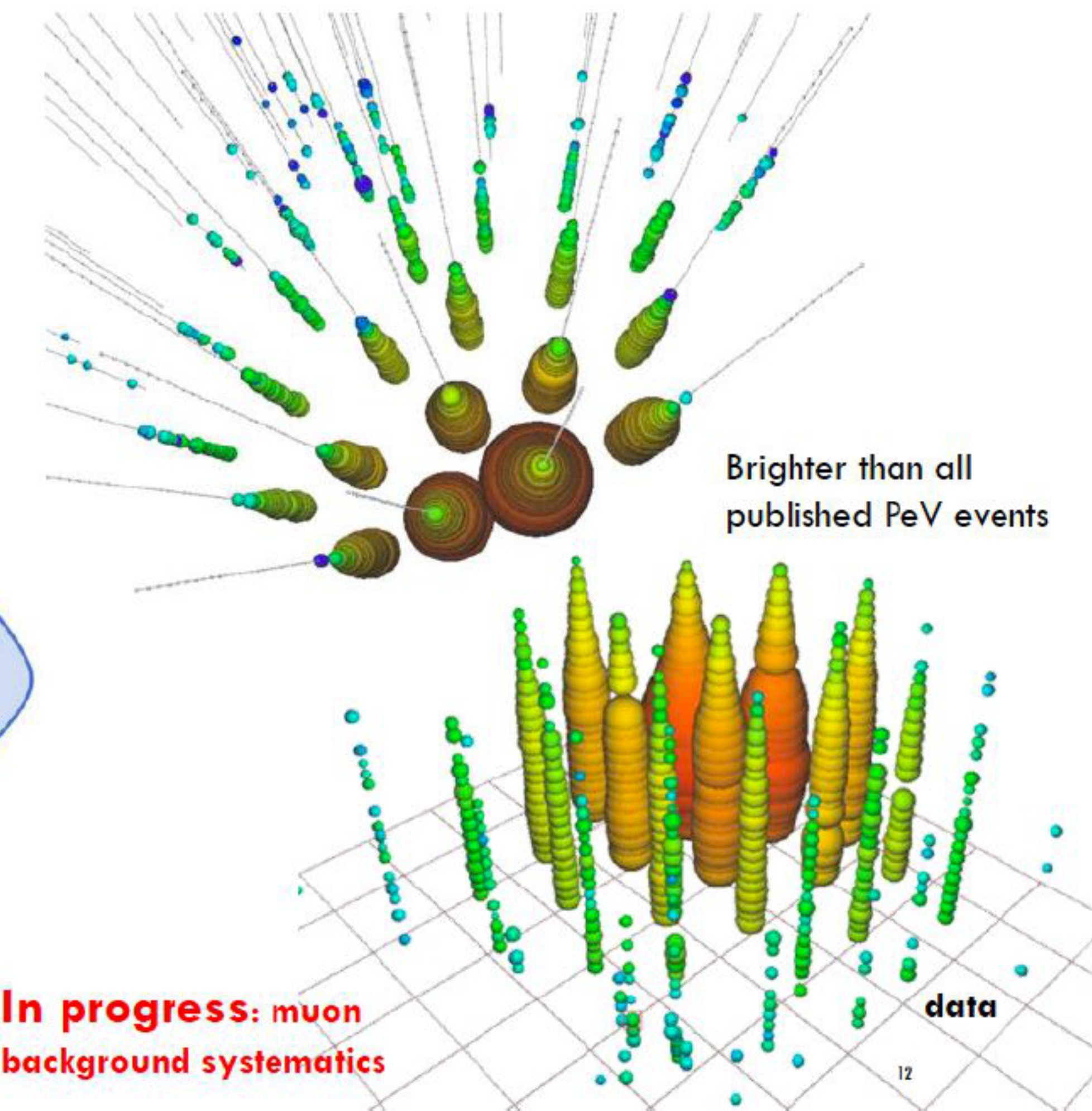
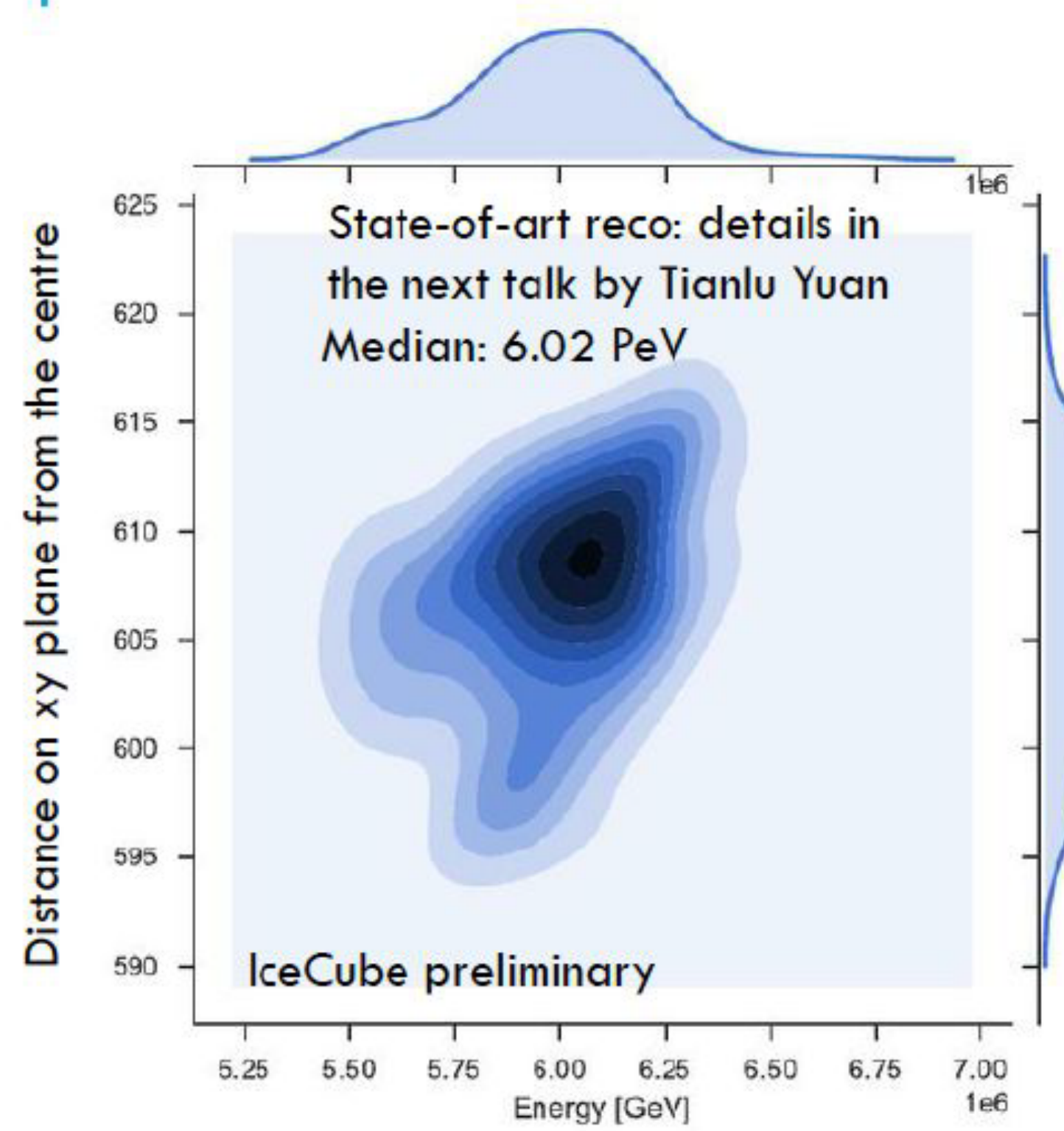


FIG. 1: Cross sections for the resonant process, $\bar{\nu}_e + e^- \rightarrow W^- \rightarrow$ hadrons, and the non-resonant process, $\nu_e + N \rightarrow e^- +$ hadrons, in the 1–10 PeV region.

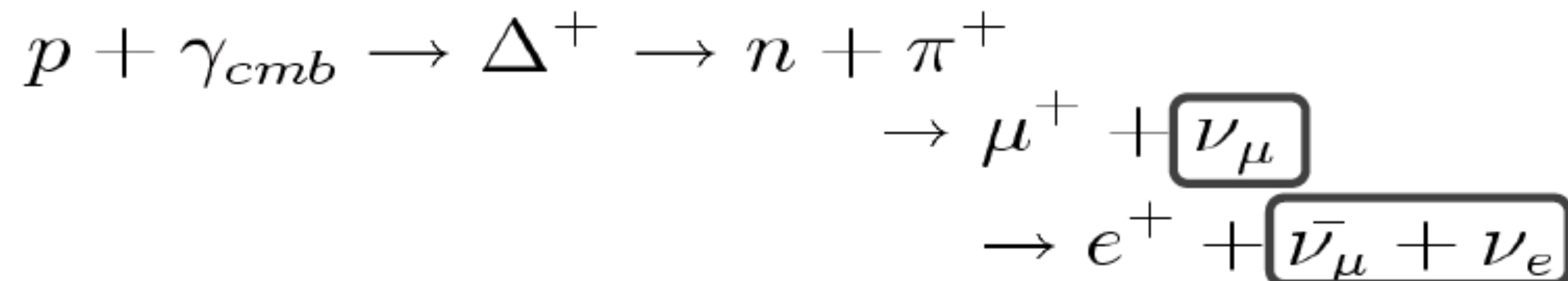
partially contained event with energy of 6.3 PeV

HIGHEST-ENERGY NEUTRINO CANDIDATE

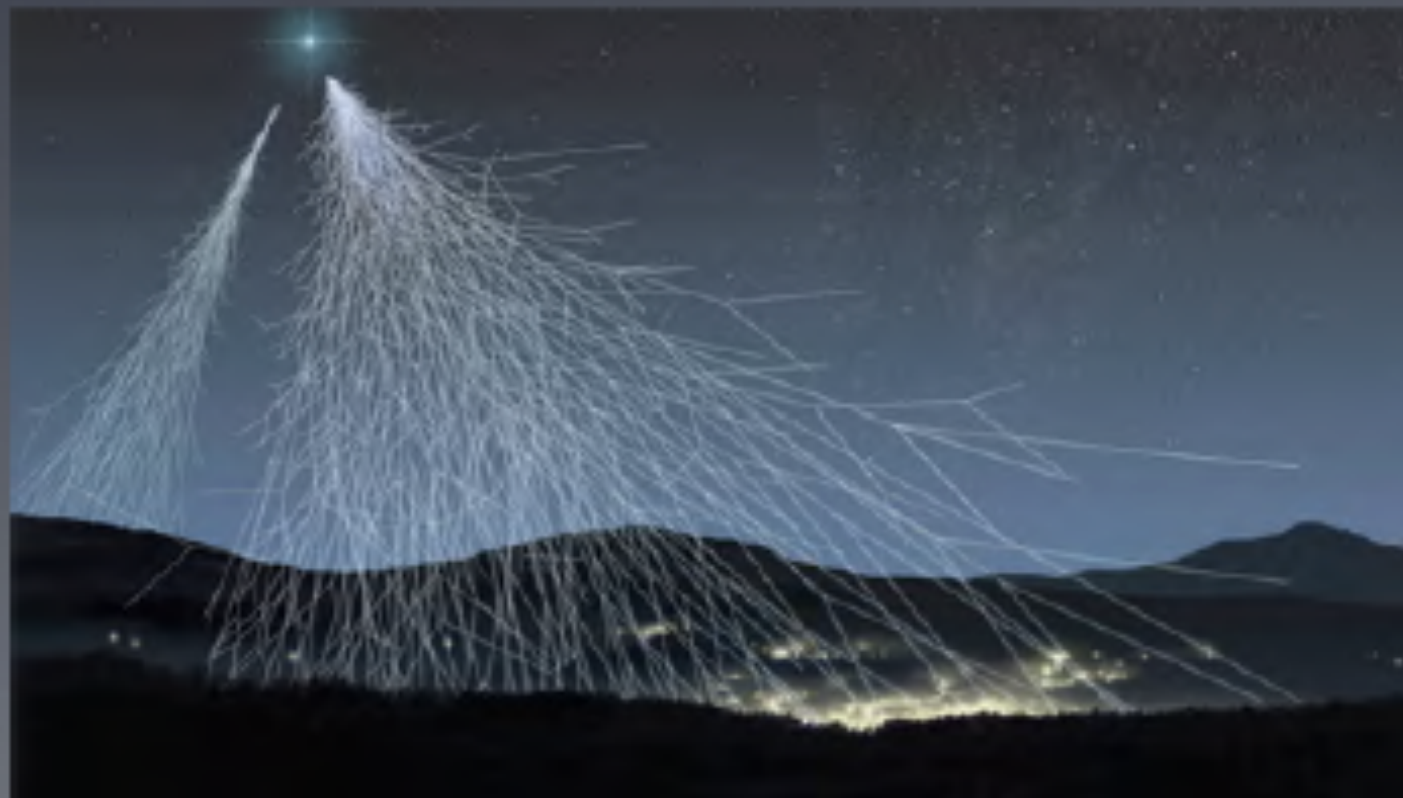


Neutrino Production: The GZK Process

GZK process: Cosmic ray protons ($E > 10^{19.5}$ eV) interact with CMB photons

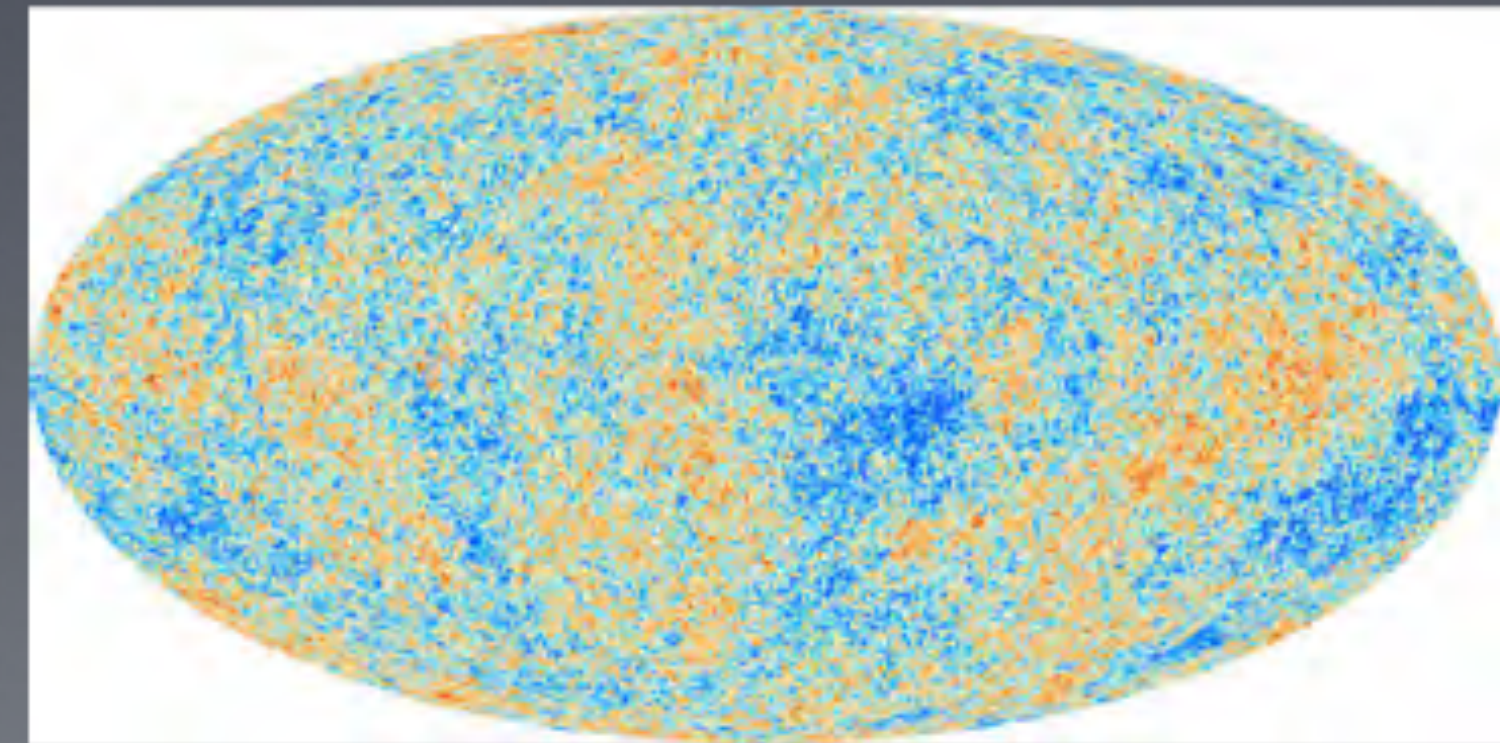


Cosmic Rays



+

CMB



= Neutrino Beam!

Discover the origin of high energy cosmic rays and neutrinos?

What is the high energy cutoff of our universe?

What is(are) the acceleration mechanism(s)?

5

Astronomía de neutrinos

1. El decaimiento β y el neutrino
2. Neutrinos solares y oscilaciones
3. La SN1987A
4. Detectores de gran volumen
5. Astrofísica con IceCube
6. Próxima generación de detectores

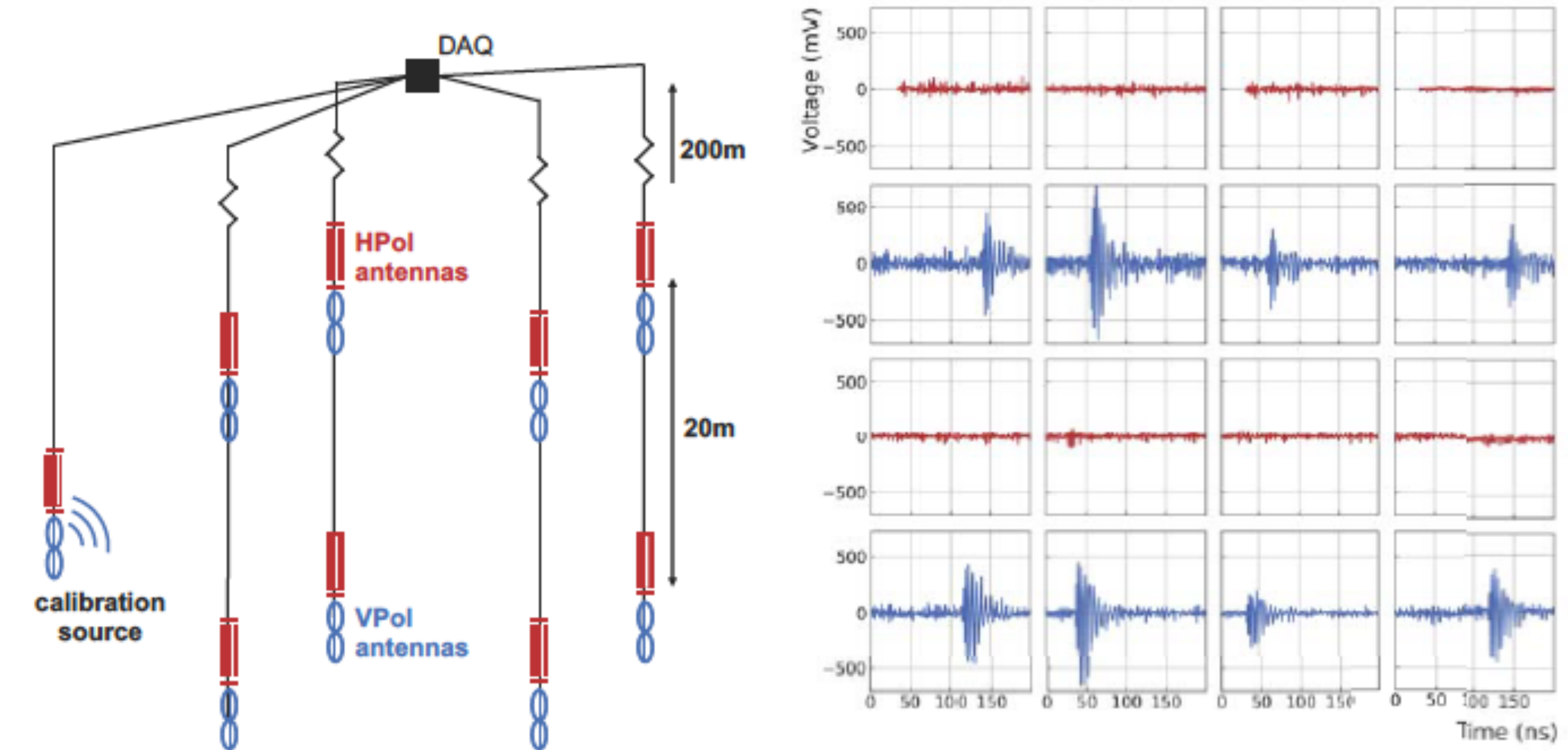
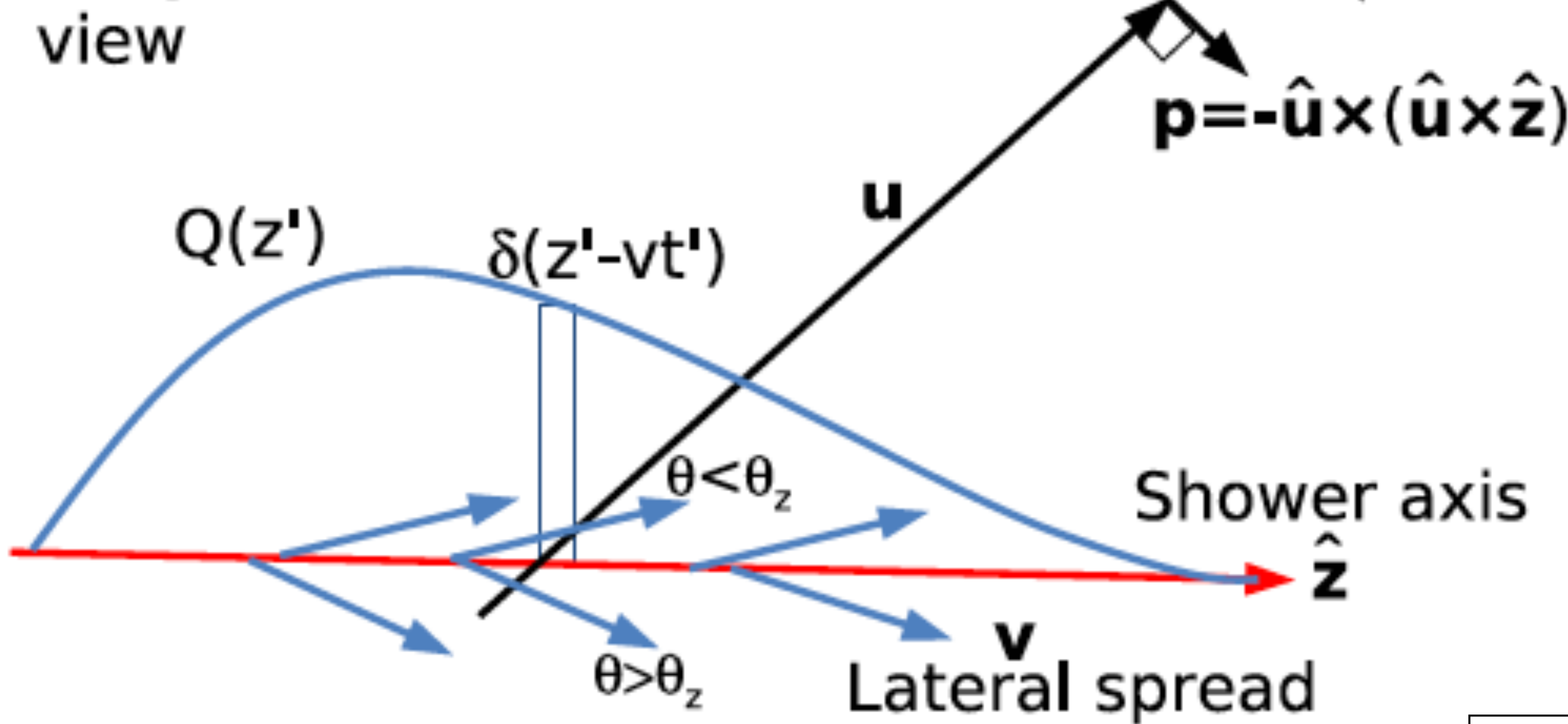


Figure 2: (Left) A drawing of the ARA stations as it is deployed in the ice, showing the cubical lattice of VPol and HPol antennas, as well as the calibration pulser system. (Right) A display of the sixteen waveforms recorded by the array for a typical calibration event.

Geometry of Askaryan Radiation

Longitudinal
view



arxiv 1106.6283

Method 1: Radio emission from neutrino interactions in dense material

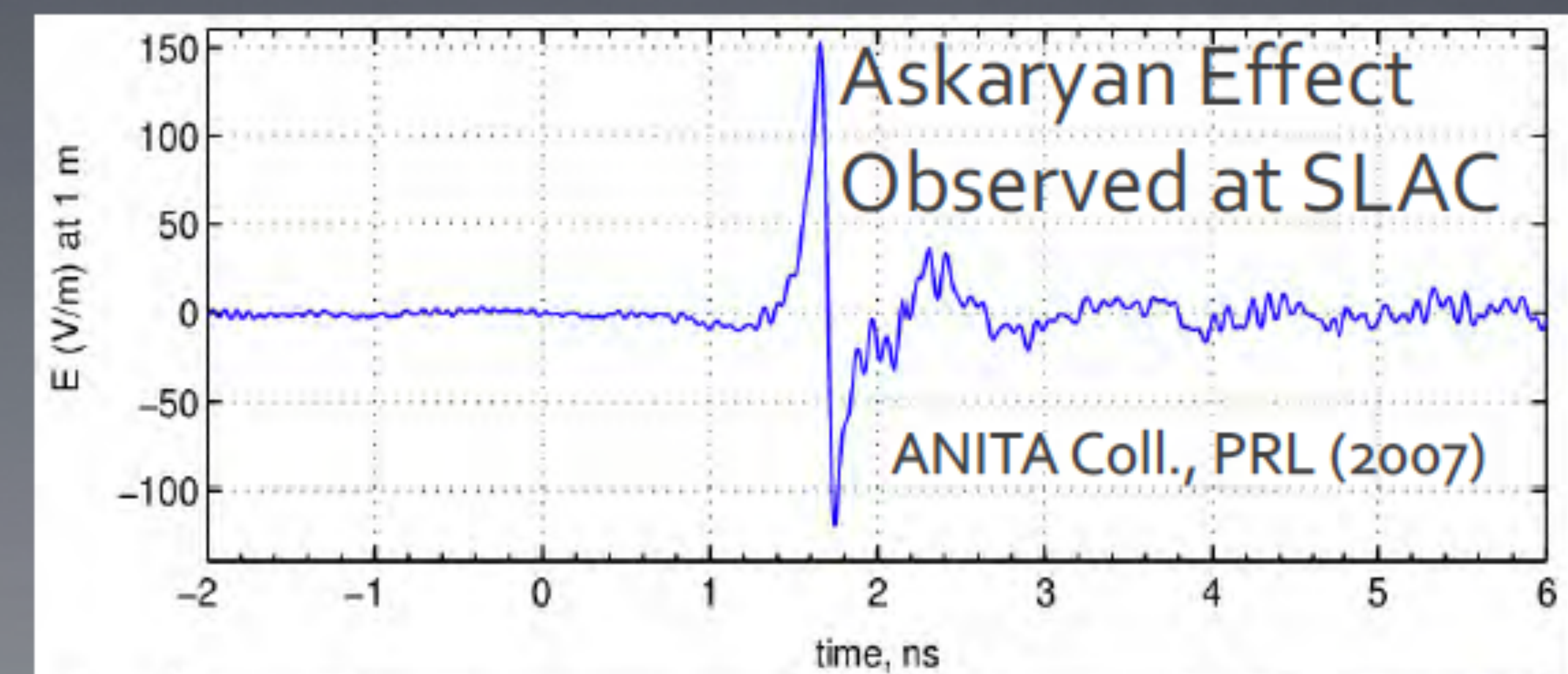
- EM shower in dielectric (ice, sand) → moving negative charge excess
- Coherent radio Cherenkov radiation ($P \sim E^2$) if $\lambda >$ Moliere radius

e^+, e^-, γ



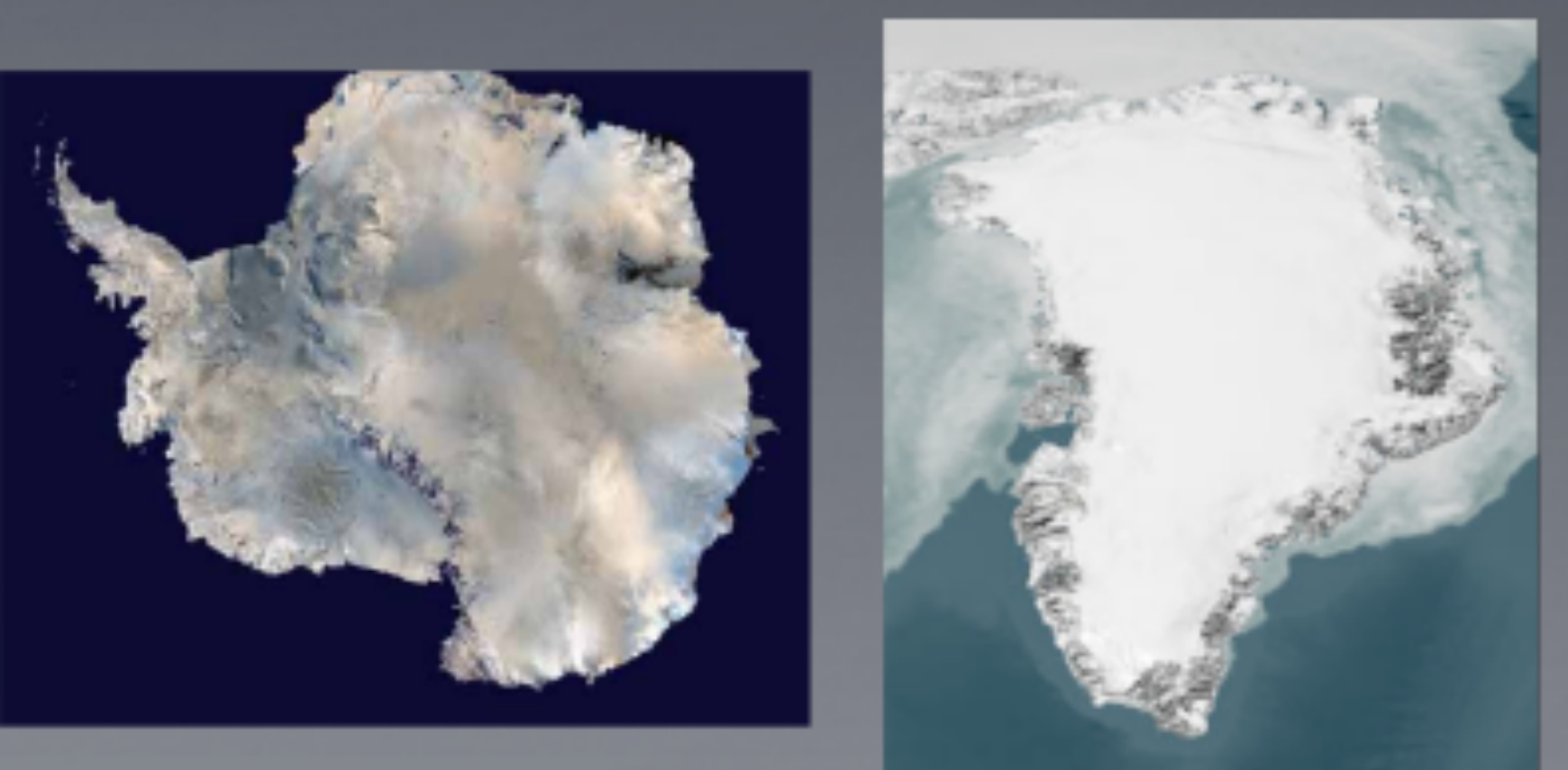
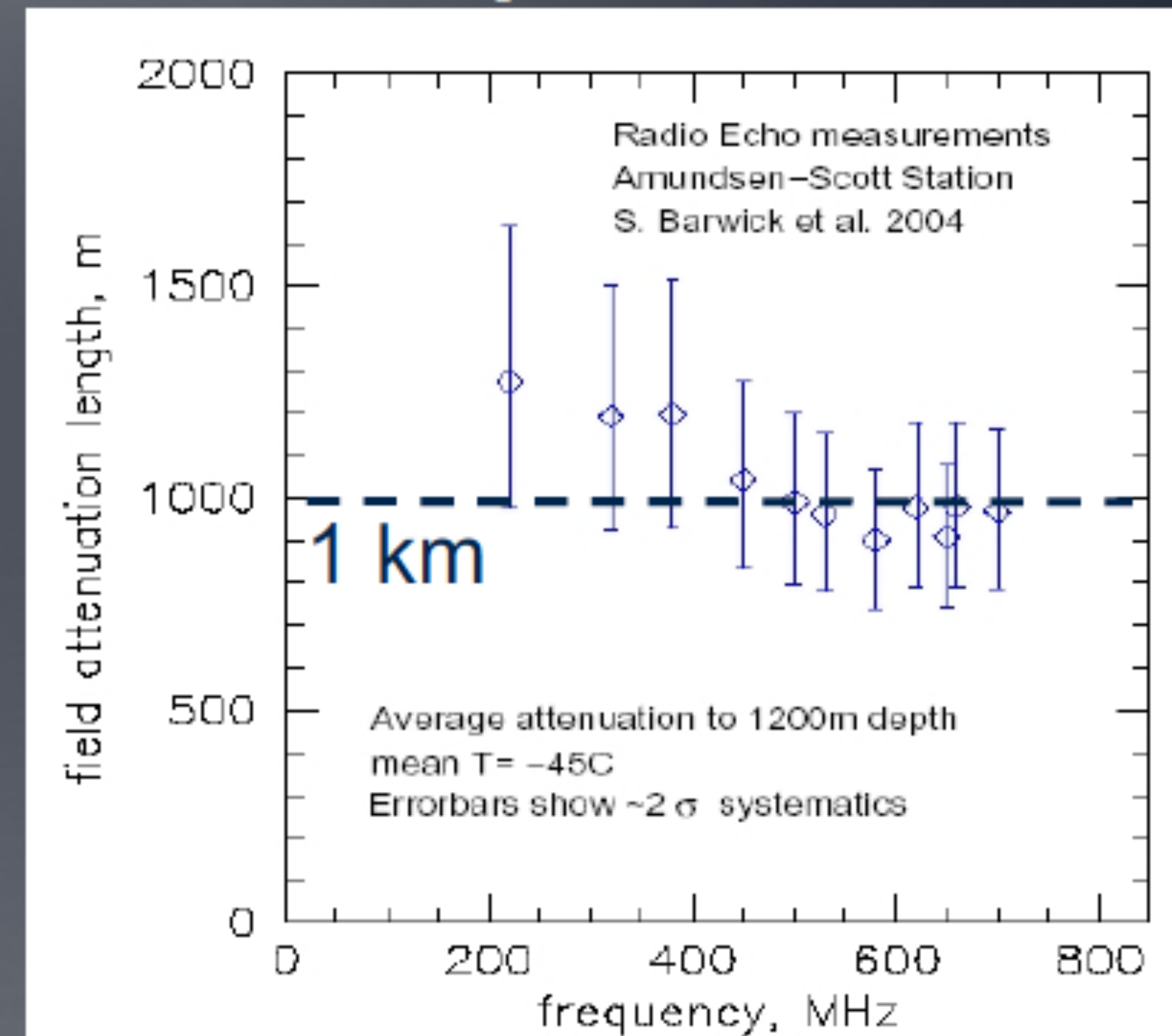
Typical Dimensions:
 $L \sim 10$ m
 $R_{\text{moliere}} \sim 10$ cm

→ Radio Emission is stronger than optical for UHE showers



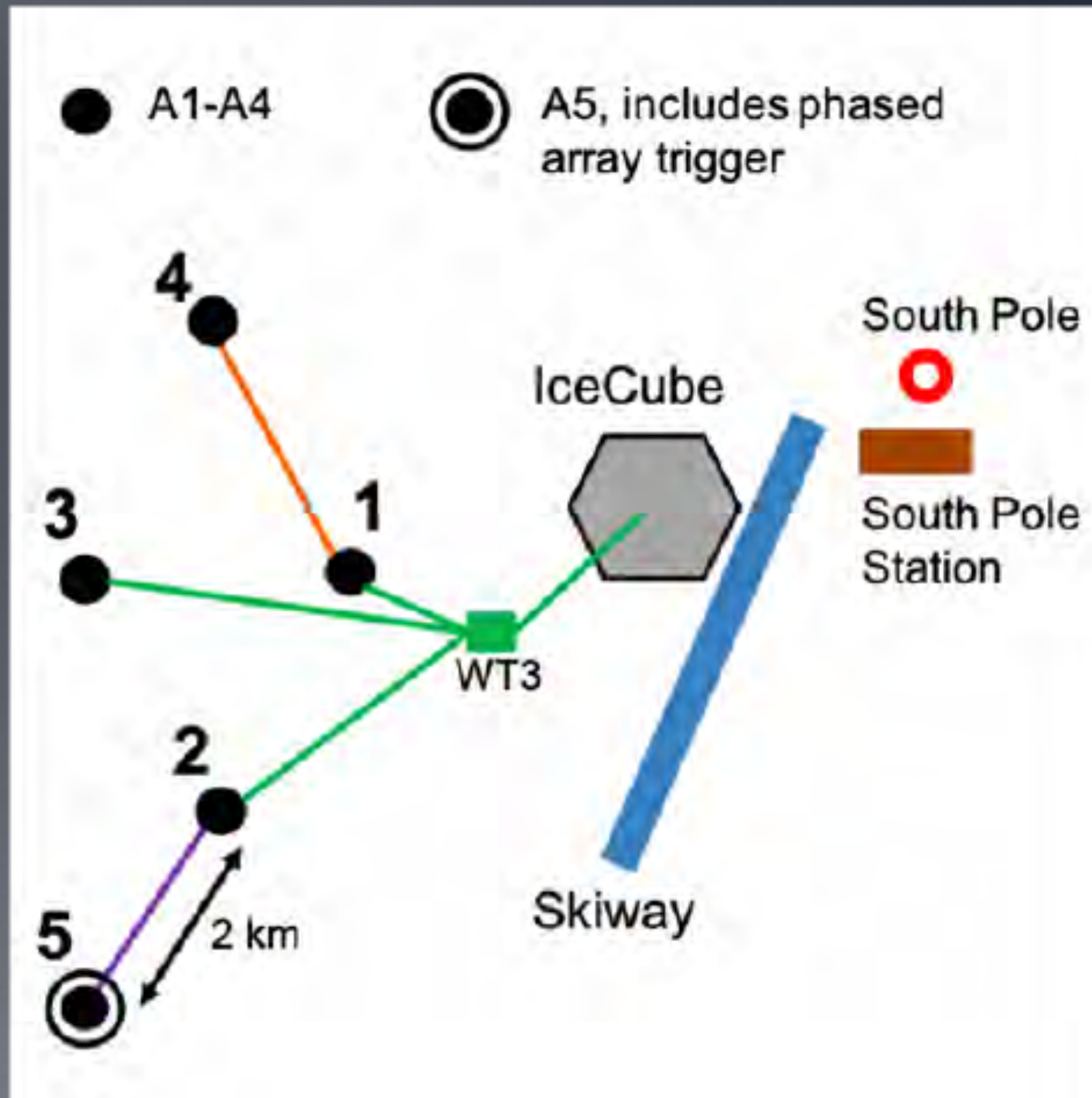
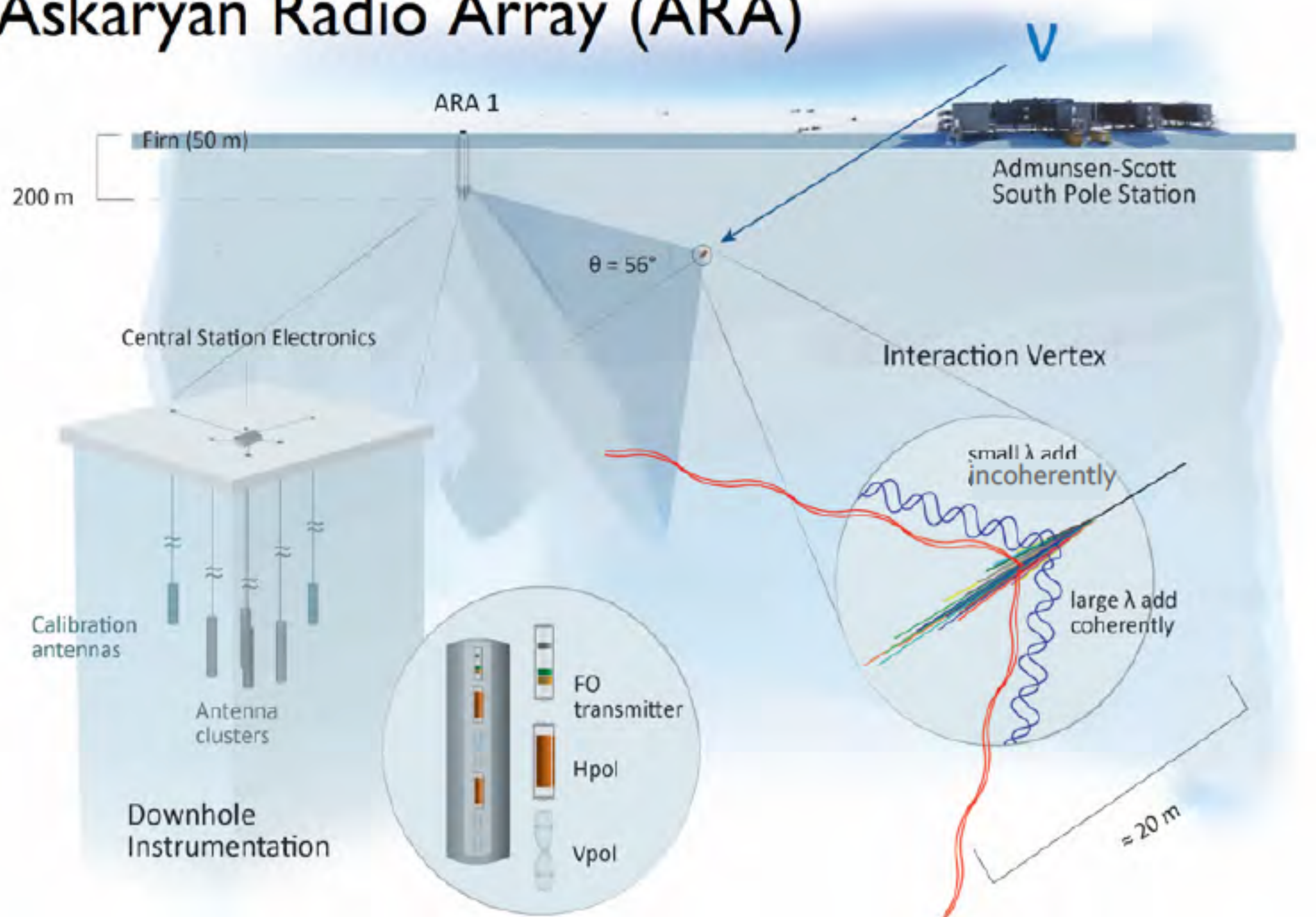
Askaryan Neutrino Detector Requirements

- 1 UHE neutrino/km²/year
- $L_{\text{int}} \sim 300 \text{ km}$ for ice
→ 0.003 neutrinos/km³/year
- Need a huge ($> 1000 \text{ km}^3$), radio-transparent detector
- Long radio attenuation lengths in ice
 - 1 km for RF
- → Ice is good for radio detection of UHE neutrinos!



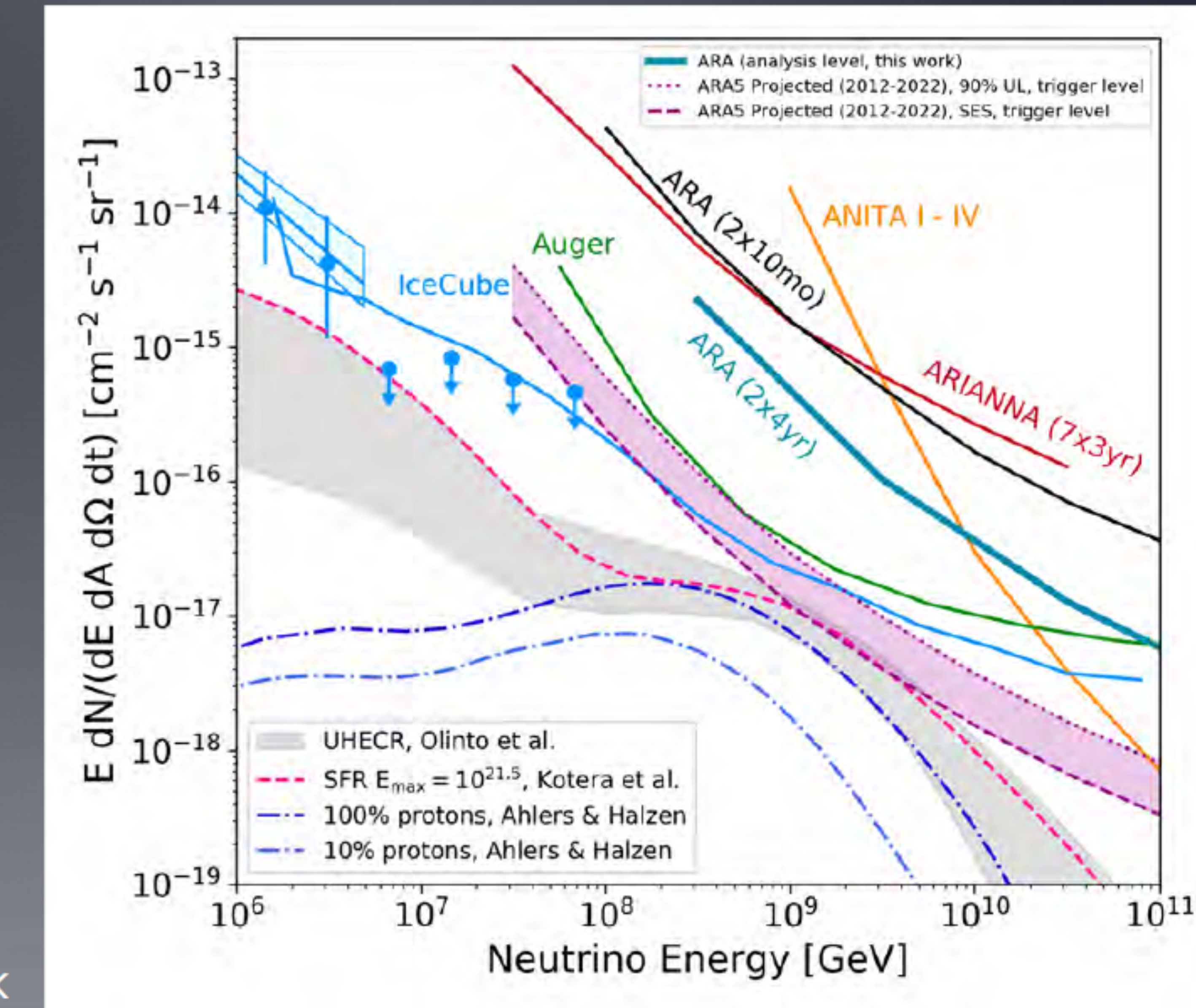
ARA: In-Ice Radio Detector at South Pole

Askaryan Radio Array (ARA)

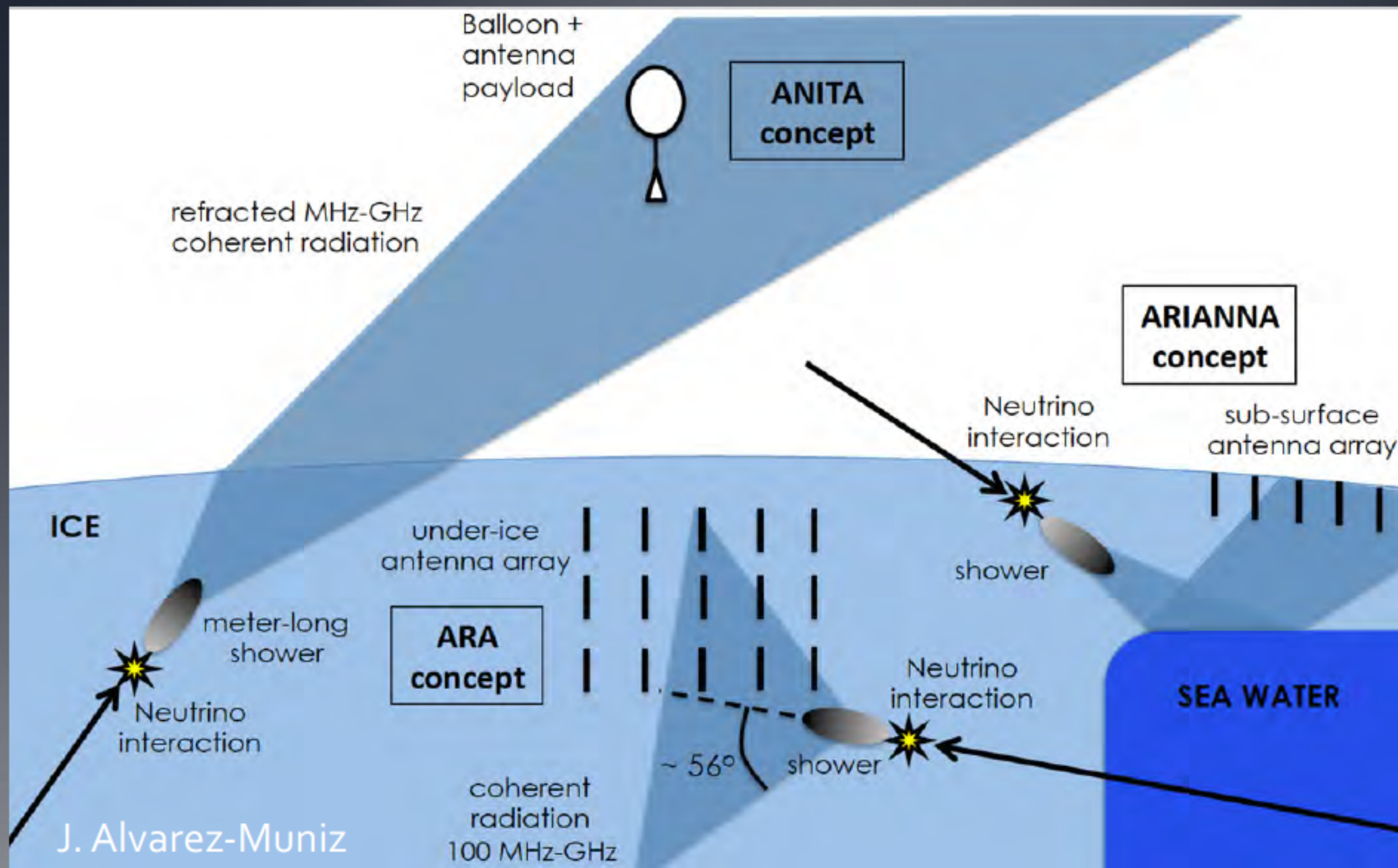


ARA Sensitivity and Analysis Status

- 8 station-year analysis nearing unblinding
- 5 stations are now running, all with high livetimes over the last few years
- Projected sensitivity of data in the can by 2022 is shown in pink

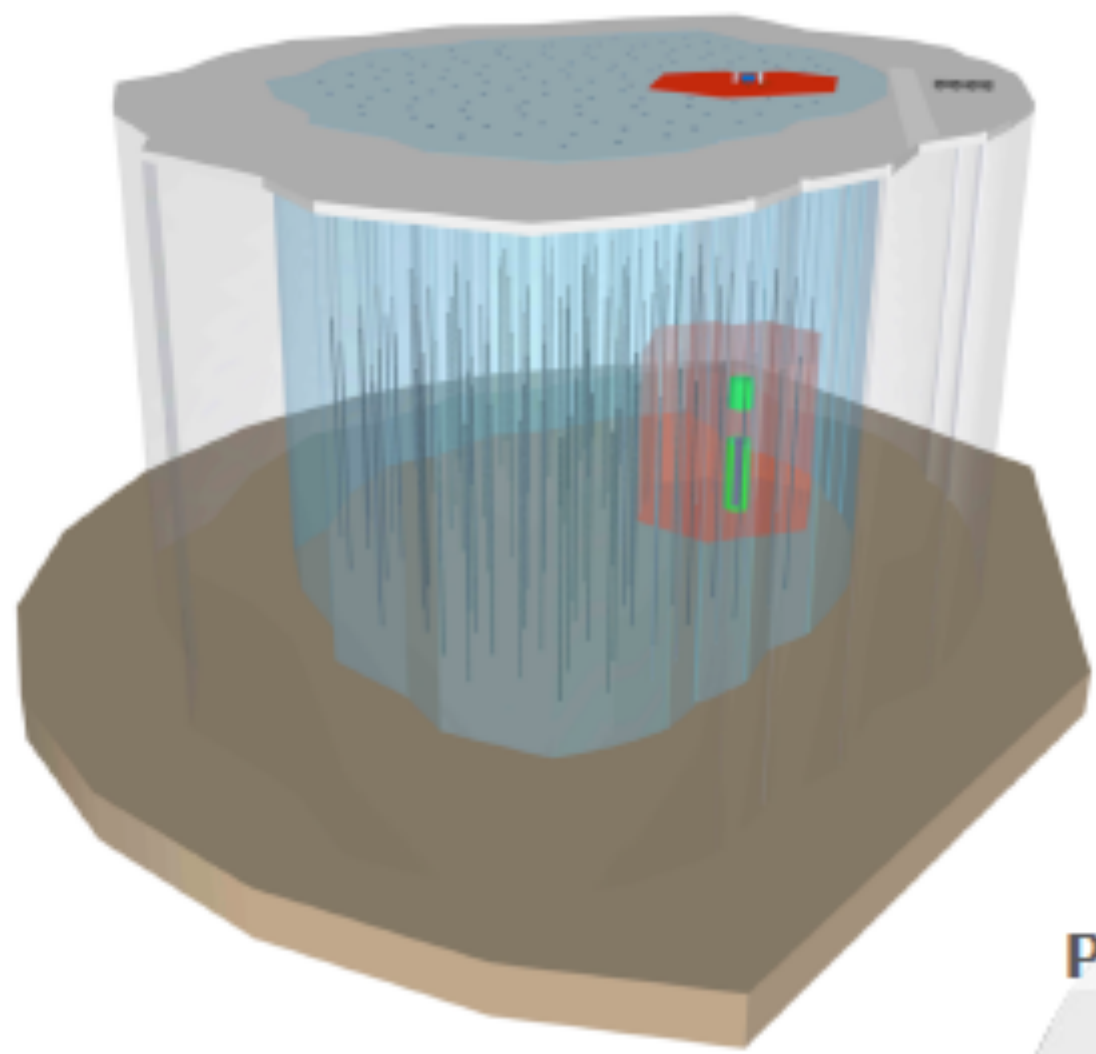


Ongoing Efforts in Radio Detection in Dense Media

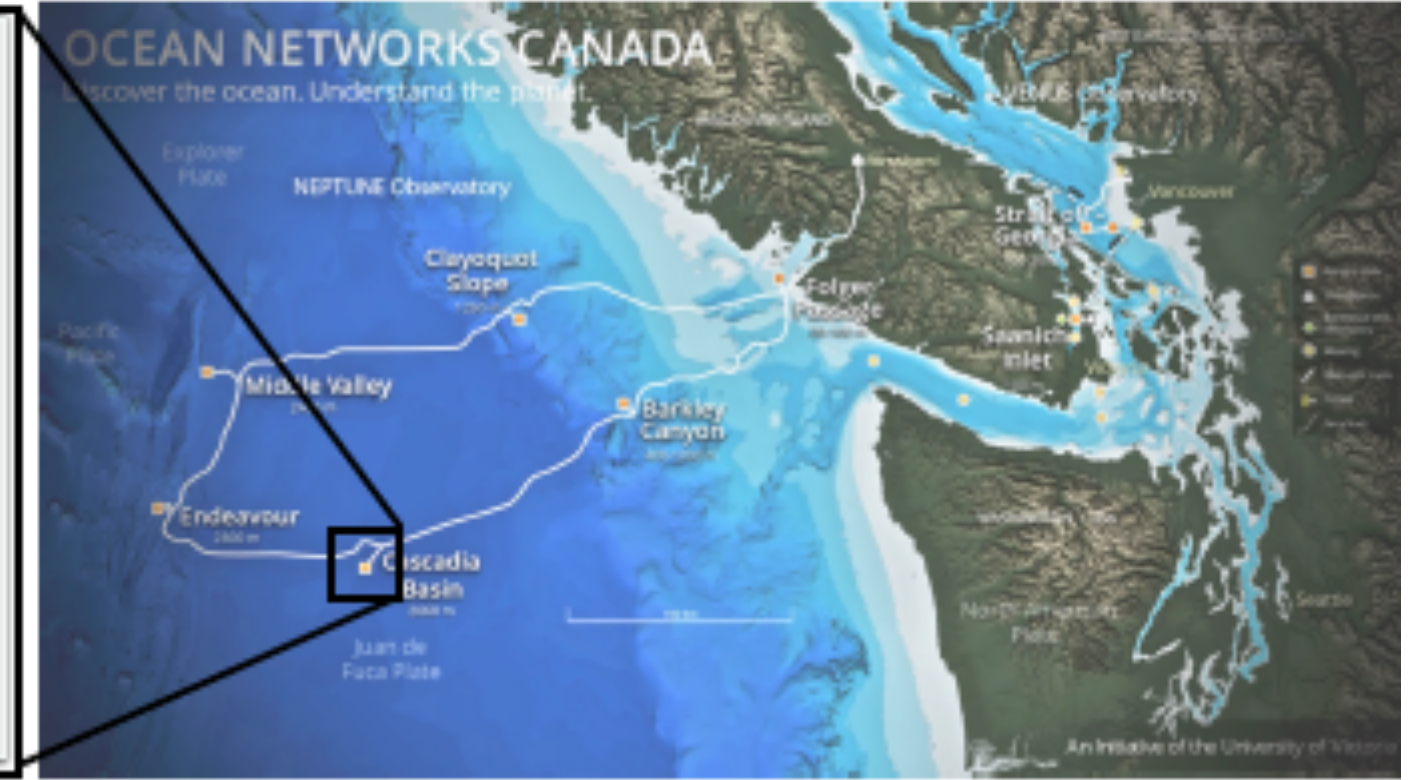
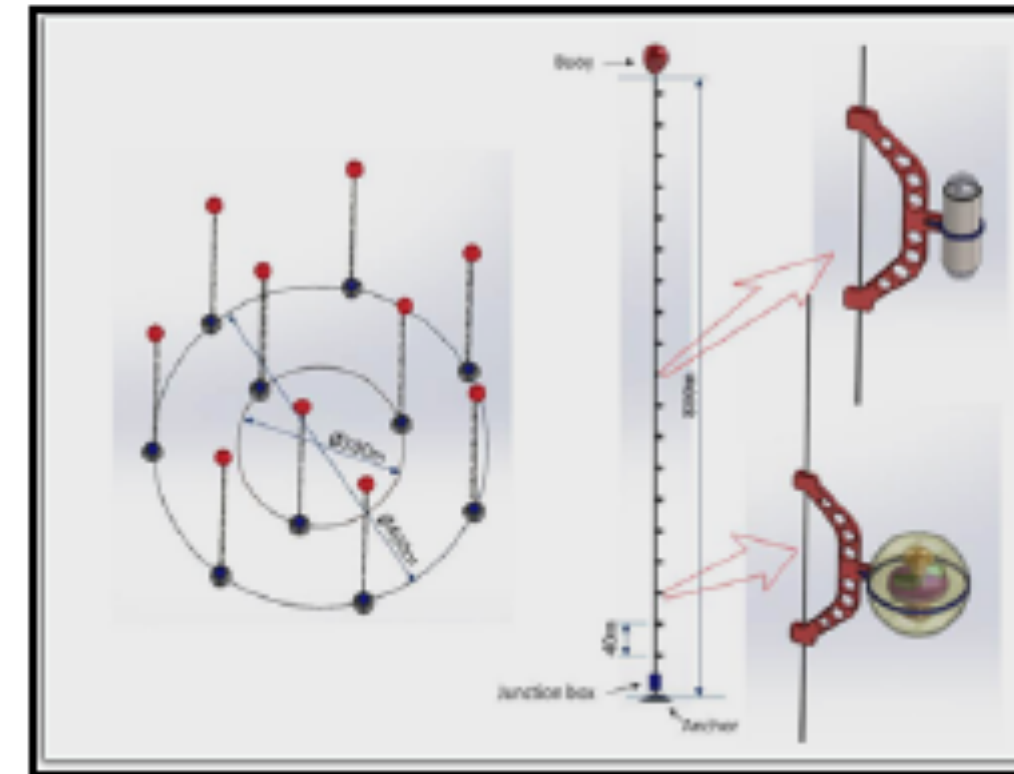


Future neutrino telescopes

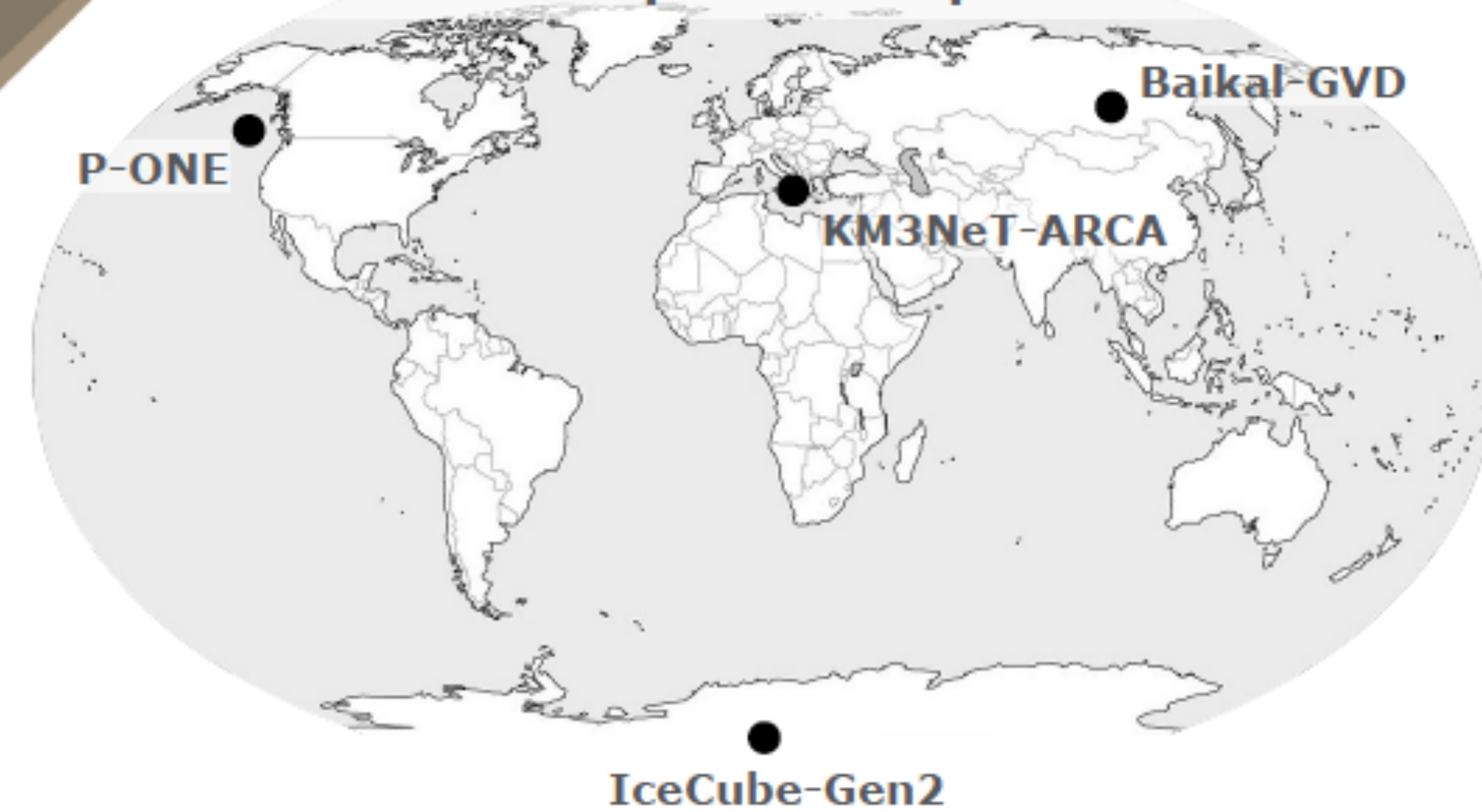
IceCube-Gen2



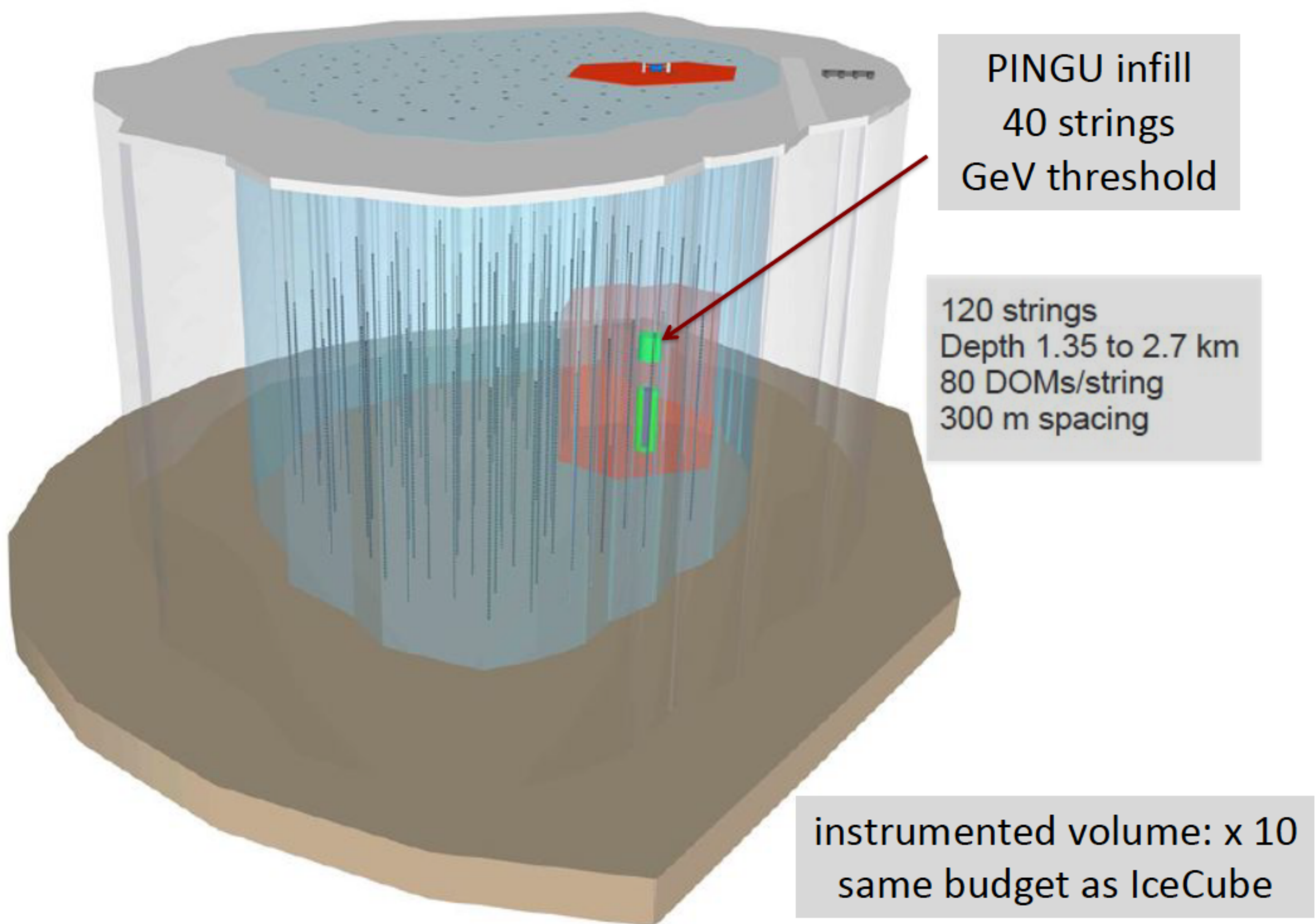
P-ONE (E. Resconi) – New kid on the block



Neutrino telescope landscape in 2025-30

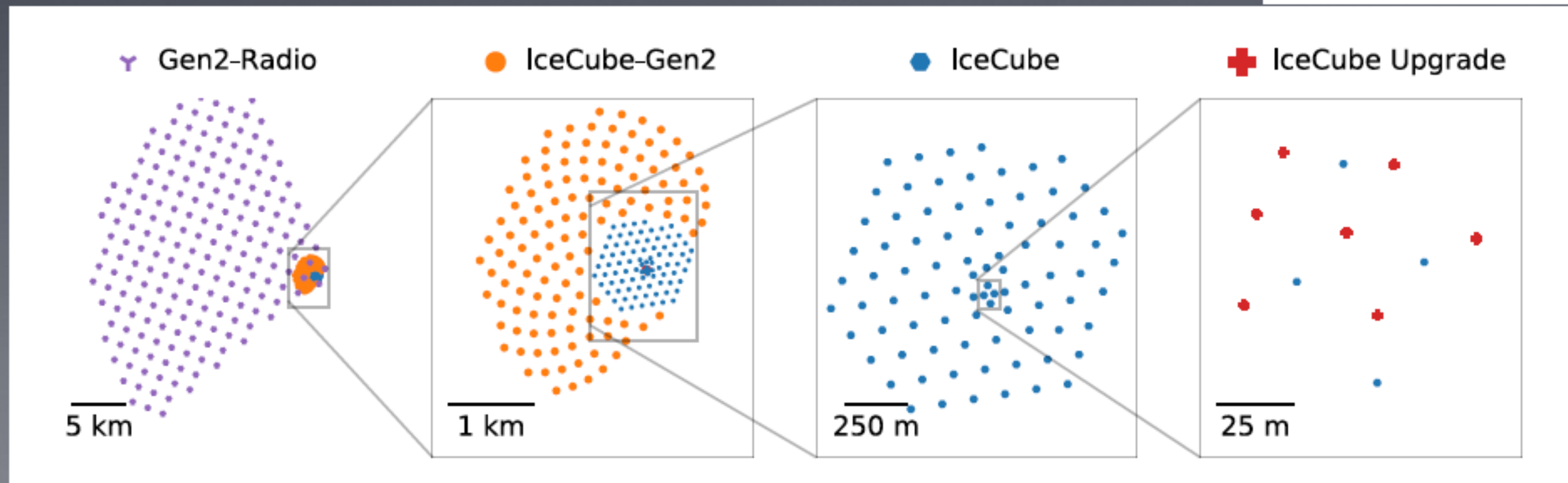
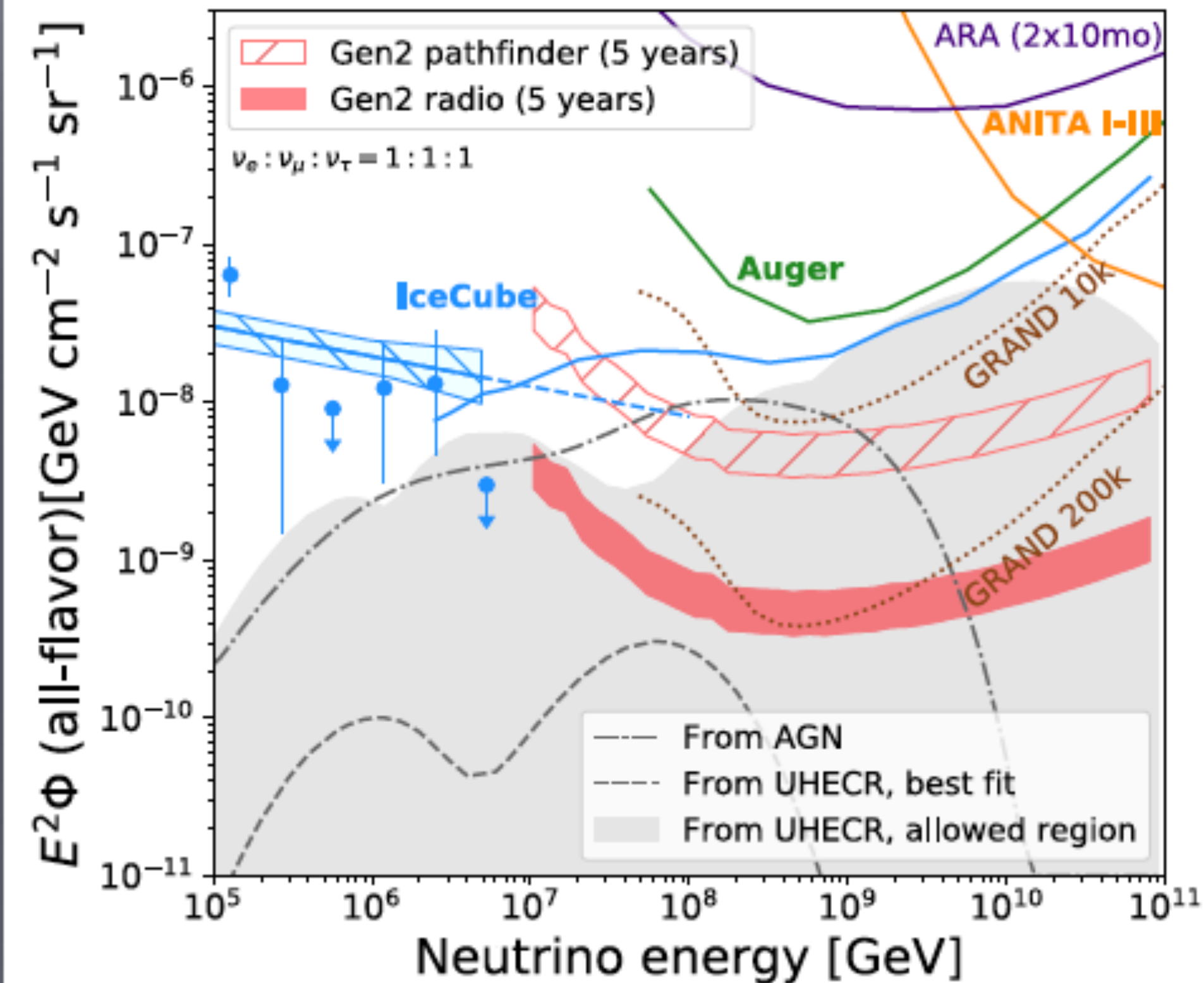


- In conceptual phase
- Up to 500 strings optimized for horizontal HE muon tracks
- STRAW pathfinder mission successfully operating (PoS(ICRC2019)890)



Toward IceCube Gen2

- IceCube Gen2: a multi-component facility to reach the broadest range of energies.



A. Nelles, from
Astro2020 Whitepaper

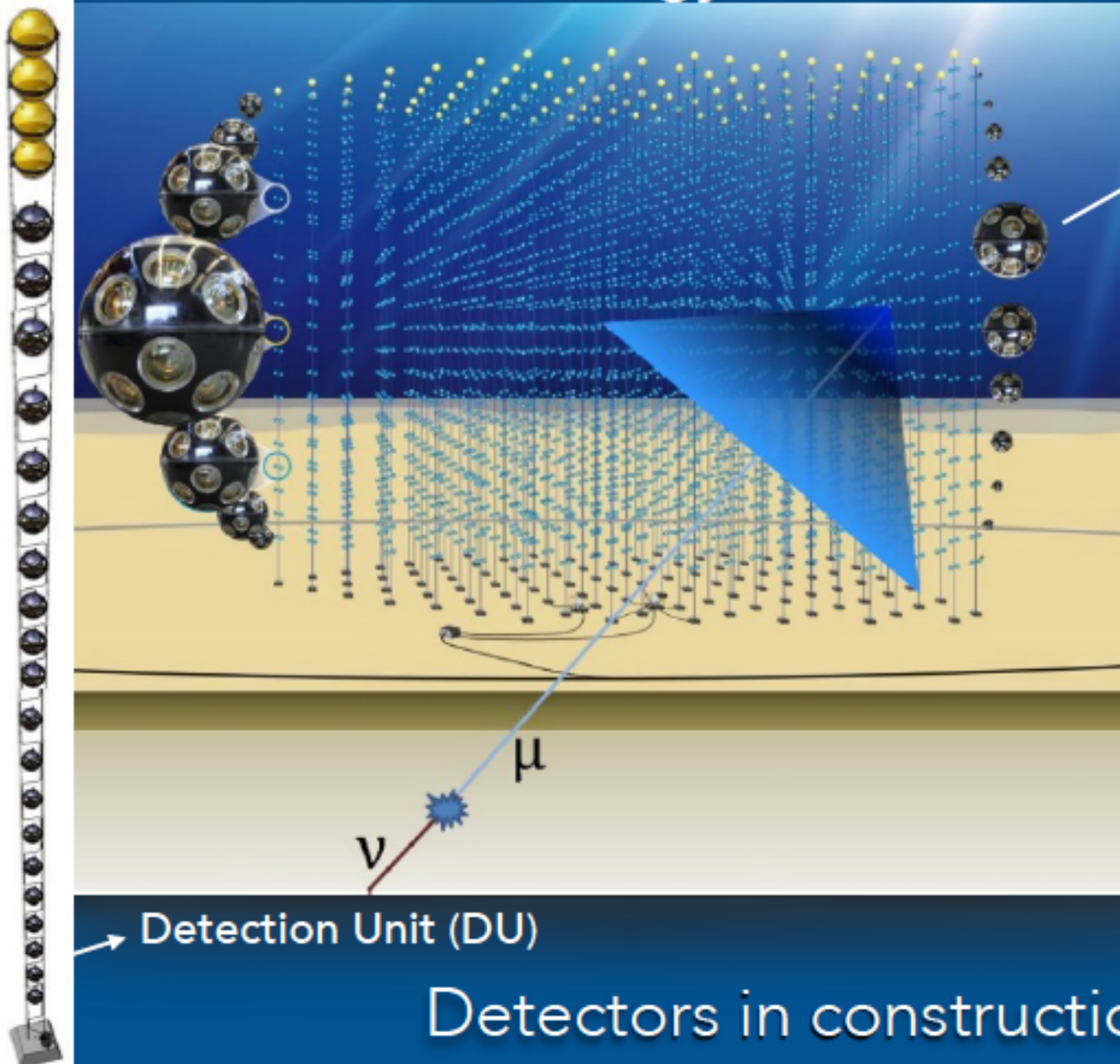
Vieregg @ ICRC 2019

THE KM3NET DETECTORS

5

Coniglione @ ICRC 2019

Same technology for the two detectors



ORCA

- Depth ~2500 m
- One block of 115 Detection Units
- Average distance between Detection Units ~20 m
- Average vertical distance between DOMs ~9 m
- **Volume $\approx 8 \text{ Mton}$**

ARCA

- Depth ~3500 m
- Two blocks of 115 Detection Units each
- Average distance between Detection Units ~90 m
- Vertical distance between DOMs ~36 m
- **Volume $(0.5 \times 2) \text{ km}^3 \approx 1 \text{ Gton}$**

Finding UHEv – Current/planned experiments, and new ideas

Air showers

- Radio (*interferometric*)
 - **ANITA**
[PoS\(ICRC2019\)867](#)
 - **TAROGE**
[PoS\(ICRC2019\)967](#)
 - **BEACON**
[PoS\(ICRC2019\)1033](#)
 - **GRAND**
[PoS\(ICRC2019\)233](#)
- Particles
 - **Auger**
[PoS\(ICRC2019\)979](#)
- Cherenkov
 - **Ashra-1**, NTA
(also fluorescence)
[PoS\(ICRC2019\)976](#)
 - **TRINITY**
[PoS\(ICRC2019\)970](#)
 - **POEMMA**
[PoS\(ICRC2019\)378](#)

In-ice showers

- Radio
 - **ARA**, ARA5
[PoS\(ICRC2019\)858](#)
 - **ARIANNA**, ARIA
[PoS\(ICRC2019\)980](#)
 - RNO
[PoS\(ICRC2019\)913](#)
- Radar
[PoS\(ICRC2019\)986](#)

running, planned